



UNIVERSIDAD NACIONAL DE LOJA

**ÁREA DE LA ENERGÍA LAS INDUSTRIAS Y RECURSOS
NATURALES NO RENOVABLES**

CARRERA

INGENIERÍA ELECTROMECAÁNICA

TÍTULO: EVALUACIÓN DE LOS PARÁMETROS DE
OPERACIÓN DEL ALIMENTADOR PRIMARIO JUAN
DE SALINAS NRO. 0213 PERTENECIENTE A LA
SUBESTACIÓN SAN CAYETANO DE LA EERSSA.

TESIS DE GRADO PREVIO A OPTAR POR EL
TÍTULO DE INGENIERO ELECTROMECAÁNICO.

AUTOR: Ángel Luis Pineda Cabrera

DIRECTOR:

Ing. Jorge Enrique Carrión González, Mg. Sc.

Loja - Ecuador

2014



CERTIFICACIÓN

Ing. Jorge Enrique Carrión González, Mg.Sc.

DIRECTOR DE TESIS

CERTIFICA:

Haber dirigido, asesorado, revisado y corregido el presente trabajo de tesis de grado, en su proceso de investigación cuyo tema versa en **“EVALUACIÓN DE LOS PARÁMETROS DE OPERACIÓN DEL ALIMENTADOR PRIMARIO JUAN DE SALINAS NRO. 0213 PERTENECIENTE A LA SUBESTACIÓN SAN CAYETANO DE LA EERSSA.”**, previa a la obtención del título de Ingeniero Electromecánico, realizado por el señor egresado: **Ángel Luis Pineda Cabrera**, el misma que cumple con la reglamentación y políticas de investigación, por lo que autorizo su presentación y posterior sustentación y defensa.

Loja, 16 Abril del 2014

A handwritten signature in black ink, appearing to read 'Jorge Enrique Carrión González', is written over a horizontal dotted line.

Ing. Jorge Enrique Carrión González, Mg.Sc.

DIRECTOR DE TESIS

AUTORÍA

Yo **Ángel Luis Pineda Cabrera**, declaro ser autor del presente trabajo de tesis y eximo expresamente a la Universidad Nacional de Loja y sus representantes jurídicos de posibles reclamos o acciones legales por el contenido de la misma.

Adicionalmente acepto y autorizo a la Universidad Nacional de Loja, la publicación de mi tesis en el Repositorio Institucional - Biblioteca Virtual.

Autor: **Ángel Luis Pineda Cabrera**

Firma: 

Cédula: 1104027592

Fecha: 16 de Abril del 2014

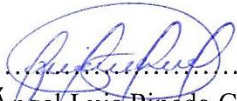
CARTA DE AUTORIZACIÓN DE TESIS POR PARTE DEL AUTOR, PARA LA CONSULTA, REPRODUCCIÓN PARCIAL O TOTAL, Y PUBLICACIÓN ELECTRÓNICA DEL TEXTO COMPLETO.

Yo **Ángel Luis Pineda Cabrera**, declaro ser autor de la tesis titulada: **“Evaluación de los parámetros de operación del alimentador primario Juan de Salinas nro. 0213 perteneciente a la Subestación san Cayetano de la EERSSA.”**, como requisito para optar al grado de: **Ingeniero Electromecánico**; autorizo al Sistema Bibliotecario de la Universidad Nacional de Loja para que con fines académicos, muestre al mundo la producción intelectual de la Universidad, a través de la visibilidad de su contenido de la siguiente manera en el Repositorio Digital Institucional:

Los usuarios pueden consultar el contenido de este trabajo en el RDI, en las redes de información del país y del exterior, con las cuales tenga convenio la Universidad.

La Universidad Nacional de Loja, no se responsabiliza por el plagio o copia de la tesis que realice un tercero.

Para constancia de esta autorización, en la ciudad de Loja, a los 16 días del mes de abril del dos mil catorce, firma del autor.

Firma: .....

Autor: Ángel Luis Pineda Cabrera

Cédula: 1104027592

Dirección: Cdla Esteban Godoy (Loja)

Teléfono: 2 545-669

Correo electrónico: aluis92@hotmail.com

Celular: 0969827621

DATOS COMPLEMENTARIOS.

Director de tesis: Ing. Jorge Enrique Carrión González, Mg. Sc.

Tribunal de grado: Ing. Norman Augusto Jiménez León

Ing. Julio Cesar Cuenca Tinitana, Mg. Sc

Ing. Jorge Luis Maldonado Correa, Mg. Sc.

PENSAMIENTO

En todos los asuntos humanos hay esfuerzos, y hay resultados, y la fortaleza del esfuerzo es la medida del resultado.

James Allen

DEDICATORIA

La presente tesis la dedico principalmente a Dios, por guiarme y permitirme haber llegado a este momento tan importante de mi formación profesional.

A mis padres que me dieron la vida y que desde el cielo guían mi camino. A mis ex compañeros y amigos que siempre me han brindado su apoyo incondicional y han sabido estar junto a mí en los buenos y malos momentos.

Así mismo a mis profesores por su esfuerzo y sabiduría que me transmitieron a lo largo de mi formación profesional.

AGRADECIMIENTO

Agradezco primeramente a Dios, a la Santísima Virgen de Cisne por darme las fuerzas necesarias en los momentos que más necesite también por la fe, la fortaleza, la salud y la esperanza para seguir adelante y poder culminar una etapa más en mi vida la de ser un profesional.

A los catedráticos universitarios de la carrera de Ingeniería Electromecánica de la Universidad Nacional de Loja, por sus conocimientos científicos impartidos hasta la culminación de mi carrera.

Al Ing. Jorge Enrique Carrión González, por su dirección y asesoramiento del presente trabajo de tesis.

ÍNDICE

CERTIFICACIÓN.....	I
AUTORÍA.....	II
CARTA DE AUTORIZACIÓN.....	III
PENSAMIENTO.....	IV
DEDICATORIA.....	V
AGRADECIMIENTO.....	VI
SIMBOLOGÍA.....	XI
.....	XII

TABLA DE CONTENIDOS

a.- TÍTULO.....	1
b. RESUMEN.....	2
c.- INTRODUCCIÓN.....	4
d.- REVISIÓN DE LITERATURA.....	5
d.1 CAPÍTULO I: FUNDAMENTOS TEÓRICOS	5
d.1.1 SUBESTACIÓN ELÉCTRICA:	5
d.1.1.1 SUBESTACIONES DE TRANSFORMACIÓN.....	5
d.1.1.2 ALIMENTADOR PRIMARIO.	5
d.1.1.2.1 COMPONENTES DE UN ALIMENTADOR PRIMARIO	6
d.1.1.2.2 PÉRDIDAS EN ALIMENTADOR PRIMARIO.....	6
d.1.1.3 FACTOR DE POTENCIA EN LOS SISTEMAS ELÉCTRICOS.....	6
d.1.1.3.1 CONSECUENCIAS DEL BAJO FACTOR DE POTENCIA	7
d.1.1.4 TRANSFORMADORES.....	8
d.1.1.4.1 CLASIFICACIÓN DE LOS TRANSFORMADORES.....	8
d.1.1.4.2 TRANSFORMADORES AUTOPROTEGIDOS	11
d.1.1.4.3 TRANSFORMADORES CONVENCIONALES.....	12
d.1.1.5 MALLA DE PUESTA A TIERRA	13
d.1.1.5.1 FUNCIONES DE UNA MALLA DE PUESTA A TIERRA.	13
d.1.1.5.2 REQUISITOS DE UNA MALLA A TIERRA.....	14
d.1.1.6 TIPOS DE ESTRUCTURAS DE MEDIA TENSIÓN.....	14

d.1.1.6.1 ESTRUCTURAS MONOFÁSICAS	14
d.1.1.6.2 ESTRUCTURAS TRIFÁSICAS	16
d.1.1.7 TIPOS DE CONDUCTORES.	16
d.1.1.7.1 CONDUCTORES “ACSR” (ALUMINUM CONDUCTOR STEEL REINFORCED)	16
d.1.1.7.2 CONDUCTORES “AAC7 (ALL ALUMINUM CONDUCTOR).	17
d.1.1.7.3 MATERIALES EMPLEADOS EN CONDUCTORES PARA LÍNEAS AÉREAS	19
d.1.1.8 PÉRDIDAS EN TRANSFORMADORES Y LÍNEAS DE DISTRIBUCIÓN.	19
d.1.1.8.1 PÉRDIDAS EN TRANSFORMADORES	19
d.1.1.8.2 PÉRDIDAS EN LÍNEAS DE DISTRIBUCIÓN	20
d.1.1.9 PARÁMETROS INDICADORES CARACTERÍSTICOS.....	20
d.1.1.9.1 FACTORES QUE CARACTERIZAN EL COMPORTAMIENTO DE LAS CARGAS.....	20
d.2 CAPÍTULO II: CARACTERIZACIÓN DEL CIRCUITO JUAN DE SALINAS PERTENECIENTE A LA SUB ESTACIÓN SAN CAYETANO.	24
d.2.1 SCADA	26
d.2.2 FLUJO DE POTENCIA DEL ALIMENTADOR JUAN DE SALINAS.	27
d.2.2.1 VENTAJAS	27
d.2.2.2 DESVENTAJAS	27
d.2.3 MÉTODO DE ARDVINSON.....	28
d.2.3.1 DESCRIPCIÓN DEL MÉTODO	28
d.2.4 FLUJO DE POTENCIA.- MÉTODOS GENERALES GAUSS-SEIDEL Y NEWTON-RAPHSON	29
d.2.4.1 MÉTODO DE NEWTON RAPHSON.....	31
d.2.4.2 MÉTODO DE GAUSS SEIDEL.....	32
e.- MATERIALES Y MÉTODOS.....	33
e.1 MATERIALES	33
e.2 MÉTODOS	33
e.2.1 IMPORTAR UN FICHERO CSV A MICROSOFT EXCEL XLS	33
e.2.2 ARCGIS	35
e.2.3 SISTEMAS DE INFORMACIÓN GEOGRÁFICA.....	35
e.2.3.1 APLICACIÓN SIG EN LA EERSSA	35
e.2.4 DIAGRAMA SIMPLIFICADO PARA LA UTILIZACIÓN DEL EDIS.....	37
.....	37

e.2.5 MÉTODO DE CÁLCULO QUE UTILIZA EL SOFTWARE EDIS PARA EL FLUJO DE POTENCIA.....	38
f. RESULTADOS.....	52
f.1 MÉTODO DE CÁLCULO UTILIZADO	53
f.1.1 BASE DE DATOS DEL CIRCUITO JUAN DE SALINAS	53
g.- DISCUSIÓN	58
h.- CONCLUSIONES	59
i.- RECOMENDACIONES	60
j.- BIBLIOGRAFÍA	61
k. ANEXOS.....	65
k.1 ANEXO 1. BASE DE DATOS PROPORCIONADA POR EL SISTEMA SCADA DE LA EERSSA.....	65
k.2 ANEXO 2. INVENTARIO DE TODOS LOS COMPONENTES DEL CIRCUITO CON COORDENADAS GEOGRÁFICAS.....	79
k.3 ANEXO 3. MUESTRA DE DATOS TABULADOS DURANTE EL PERIODO DE EVALUACIÓN	85
k.4 ANEXO 4. TABLA DE DEMANDA MÁXIMA DEL MES DE OCTUBRE 2011 .	93
k.5 ANEXO 5. CURVA DE CARGA DE DEMANDA MÁXIMA Y FACTOR DE POTENCIA DEL MES DE OCTUBRE 2011	94
k.6 ANEXO 6. TABLA DE DEMANDA MÁXIMA DEL MES DE NOVIEMBRE 2011	95
k.7 ANEXO 7. CURVA DE CARGA DE DEMANDA MÁXIMA Y FACTOR DE POTENCIA DEL MES DE NOVIEMBRE 2011.....	96
k.8 ANEXO 8. TABLA DE DEMANDA MÁXIMA DEL MES DE DICIEMBRE 2011	97
k.9 ANEXO 9. CURVA DE CARGA DE DEMANDA MÁXIMA Y FACTOR DE POTENCIA DEL MES DE DICIEMBRE 2011	98
k.10 ANEXO 10. TABLA DE DEMANDA MÁXIMA DEL MES DE ENERO 2012...	99
k.11 ANEXO 11. CURVA DE CARGA DE DEMANDA MÁXIMA Y FACTOR DE POTENCIA DEL MES DE ENERO 2012.....	100
k.12 ANEXO 12. TABLA DE DEMANDA MÁXIMA DEL MES DE FEBRERO 2012	101

k.13 ANEXO 13. CURVA DE CARGA DE DEMANDA MÁXIMA Y FACTOR DE POTENCIA DEL MES DE FEBRERO 2012	102
k.14 ANEXO 14. TABLA DE DEMANDA MÁXIMA DEL MES DE MARZO 2012	103
k.15 ANEXO 15. CURVA DE CARGA DE DEMANDA MÁXIMA Y FACTOR DE POTENCIA DEL MES DE MARZO 2012	104
k.16 ANEXO 16. TABLA DE DEMANDA MÁXIMA DEL MES DE ABRIL 2012 ..	105
k.17 ANEXO 17. CURVA DE CARGA DE DEMANDA MÁXIMA Y FACTOR DE POTENCIA DEL MES DE ABRIL 2012	106
k.18 ANEXO 18. TABLA DE DEMANDA MÁXIMA DEL MES DE MAYO 2012..	107
k.19 ANEXO 19. CURVA DE CARGA DE DEMANDA MÁXIMA Y FACTOR DE POTENCIA DEL MES DE MAYO 2012	108
k.20 ANEXO 20. TABLA DE DEMANDA MÁXIMA DEL MES DE JUNIO 2012 ..	109
k.21 ANEXO 21. CURVA DE CARGA DE DEMANDA MÁXIMA Y FACTOR DE POTENCIA DEL MES DE JUNIO 2012	110
k.22 ANEXO 22. TABLA DE TRAMOS Y NODOS DEL ALIMENTADOR JUAN DE SALINAS.....	111
k.23 ANEXO 23.	116
DIAGRAMA UNIFILAR DE LA SUBESTACIÓN SAN CAYETANO CIRCUITO JUAN DE SALINAS DE LA EERSSA	116
k.24 ANEXO 24.	117
ANTEPROYECTO.....	117

SIMBOLOGÍA

Δv = Caída de Tensión

Δp = Perdida de Potencia

Δw = Perdida de Energía

F_p = Factor de Potencia

θ = Ángulo de Desfase

P = Potencia Activa

S = Potencia Aparente

Q = Potencia Reactiva

V = Voltio

kV = Kilovoltio

W = Vatio

kW = Kilovatio

VA = Voltio-amperio

KVA = Kilovoltio-amperio

MVA = Megavoltio-amperio

VAR = Voltamperios Reactivos

$E_{1GrdY/E}$ = E_1 es el voltaje entre fases, conexión Y/E

E/E_{1GrdY} = E es el voltaje fase-neutro y E_1 es el voltaje entre fases, conexión Y

$Dyn5$ = Grupo de transformadores trifásicos

$Yyn0$ = Grupo de transformadores trifásicos

DM= Demanda Máxima

FDiv= Factor de Diversidad

FCO= Factor de Coincidencia

TMAX= Tiempo de Utilización de la Demanda Máxima

FC= Factor de Carga

FCR= Factor de Carga Reactiva

FPerd= Factor de Pérdidas

Te= Tiempo Equivalente de Pérdidas

Cos φ = Factor de Potencia

FCap= Factor de Capacidad

Smáx= Demanda Máxima

S= Demanda

Dmed= Demanda Media

Tm= Tiempo Medio

Te= Tiempo Equivalente

Sn= Demanda del Nodo

Pn= Potencia Activa del Nodo

Qn= Potencia Reactiva del Nodo

R= Resistencia

UL= Tensión de línea

a= Coeficiente de Boole (0,2)

b= Coeficiente de Boole (0,8)

a.- TÍTULO

Evaluación de los parámetros de operación del alimentador primario Juan de Salinas Nro. 0213 perteneciente a La Subestación San Cayetano de la EERSSA

b. RESUMEN

Este proyecto comprende la evaluación de los parámetros de operación del alimentador primario Juan de Salinas, el cual consiste en determinar factores como: el factor de potencia **fp**, caída de tensión Δv ; pérdida de potencia Δp , pérdida de energía Δw , y curvas de consumo; también identificar los posibles nodos que presenten algún inconveniente en la distribución de energía eléctrica lo cual genera pérdidas para la EERSSA.

Se recopiló la información técnica necesaria para el desarrollo del presente proyecto de tesis, así mismo la EERSSA facilitó la información sobre el consumo de energía en el alimentador primario Juan de Salinas, con la cual se formó una base de datos y mediante el análisis respectivo se obtuvo la curva de demanda máxima de dicho alimentador.

En la presente tesis se utilizaron programas informáticos que facilitaron su realización como el ArcGIS, que muestra la ubicación geográfica exacta de cada uno de los componentes del circuito de distribución; además se utilizó el programa de Estudio de Distribución (EDIS), el mismo que facilita el análisis de circuitos de distribución primaria, en donde luego de introducir la base de datos se analizó y simuló el comportamiento del circuito.

SUMMARY

This project includes the evaluation of the operating parameters of the primary feeder Juan Salinas is to determine factors such as power factor \mathbf{fp} , voltage drop $\Delta\mathbf{p}$, power loss $\Delta\mathbf{p}$, loss of energy $\Delta\mathbf{w}$ and curves consumption, and also identifies possible nodes that present some problems with the distribution of electricity which generates losses for EERSSA.

Technical information necessary for the development of this thesis project was compiled, likewise the EERSSA provided information about energy consumption in the primary feeder Juan de Salinas, with which it formed a database and using the respective analysis curve obtained high demand for the feeder.

In this thesis as programs that facilitated its realization as ArcGIS, showing us the exact geographical location of each of the components of the distribution circuit, plus Study Program Distribution (EDIS) was used, the same as we facilitates the analysis of primary distribution circuits, where after entering the database was analyzed and simulated the behavior of the circuit.

c.- INTRODUCCIÓN

Los nuevos procesos que experimenta Ecuador en los últimos tiempos hace necesario la implementación de técnicas de estudio que permitan una mejora considerable en cuanto al abastecimiento de energía eléctrica, uso eficiente de las instalaciones en los diferentes sectores del país con la finalidad de promover el desarrollo económico y social de los sectores.

En la región sur del país la EERSSA es la encargada de la distribución de energía eléctrica, la cual tiene que ser suministrada con calidad y eficiencia con el fin de fomentar el desarrollo en la región. Es por esto que se consideró en el presente trabajo la evaluación de los parámetros de operación del alimentador primario Juan de Salinas, con la finalidad de contribuir al mejoramiento del circuito.

Para el desarrollo del proyecto de tesis se estableció como objetivo general:

- Evaluación de los parámetros de operación del alimentador primario Juan de Salinas Nro. 0213 perteneciente a La Subestación San Cayetano de la EERSSA.

Y como objetivos específicos los siguientes:

- Recopilar la base de datos actualizada del alimentador primario Juan de Salinas de la subestación San Cayetano perteneciente a la EERSSA.
- Simular un flujo de potencia del alimentador primario Juan de Salinas.
- Realizar la tabulación y clasificación de los datos obtenidos.

d.- REVISIÓN DE LITERATURA

d.1 CAPÍTULO I: FUNDAMENTOS TEÓRICOS

d.1.1 SUBESTACIÓN ELÉCTRICA:

Una subestación es un conjunto de equipos, dispositivos y circuitos, que tienen la función de modificar y establecer los niveles de tensión, potencia eléctrica, permitiendo el control del flujo de energía, dando seguridad para el sistema eléctrico de equipos y personal de operación y mantenimiento; así como para facilitar el transporte y distribución de la energía eléctrica. (Sjogren; Quevedo, 2011)



Figura 1. Subestación Eléctrica San Cayetano EERSSA

Fuente: El autor

d.1.1.1 SUBESTACIONES DE TRANSFORMACIÓN.

Son las encargadas de transformar la energía eléctrica mediante uno o más transformadores. Estas subestaciones pueden ser elevadoras o reductoras de tensión.

d.1.1.2 ALIMENTADOR PRIMARIO.

Son los encargados de llevar la energía eléctrica desde las subestaciones de distribución hasta los transformadores de distribución. Los conductores van soportados en poste cuando se trata de instalaciones aéreas y en ductos o directamente enterrados cuando se trata de instalaciones subterráneas. (Villacís, 2012)

d.1.1.2.1 COMPONENTES DE UN ALIMENTADOR PRIMARIO

Los componentes principales de un alimentador primario son:

- **TRONCAL:** Es el tramo de mayor capacidad del alimentador que transmite la energía eléctrica desde la subestación de distribución a los ramales.
- **RAMAL:** Es la parte del alimentador primario energizado a través de un troncal, en el cual van conectados los transformadores de distribución y servicios particulares suministrados en medio voltaje. Normalmente son de calibre menor al troncal. (Llamo, 2007)

d.1.1.2.2 PÉRDIDAS EN ALIMENTADOR PRIMARIO.

Un alimentador primario es el primer componente que se encuentra a salida de una subestación, la salida se denomina como cabecera, es el inicio de un circuito que va desde la subestación hasta el usuario, en ésta se puede medir la energía de salida a demanda máxima y mínima para hacer relación con la que finaliza de la sumatoria de los usuarios pertenecientes a esta cabecera, para de esta manera obtener sus pérdidas de la diferencia de energías entregada y recibida.

Las pérdidas en un alimentador primario, están relacionadas a la impedancia de los conductores, tanto como la corriente que circulan en los mismos. Debido a que los voltajes son por bajo de los 115 kV las pérdidas producidas por el efecto Corona son muy pequeñas, por lo que se pueden despreciar.

En un alimentador primario las pérdidas de energía no son similares de uno a otro, estos dependen de muchos factores, como su topología, si estos son urbanos o rurales, la categoría de usuarios que se encuentran en el subsistema, etc. (Cañar, 2007)

d.1.1.3 FACTOR DE POTENCIA EN LOS SISTEMAS ELÉCTRICOS.

Se define como la relación de la potencia activa usada en un circuito, expresada en vatios o kilovatios (kW), a la potencia aparente que se obtiene de las líneas de alimentación, expresada en voltio-amperios o kilovoltio-amperios (VA). (Cárdenas, 2010)

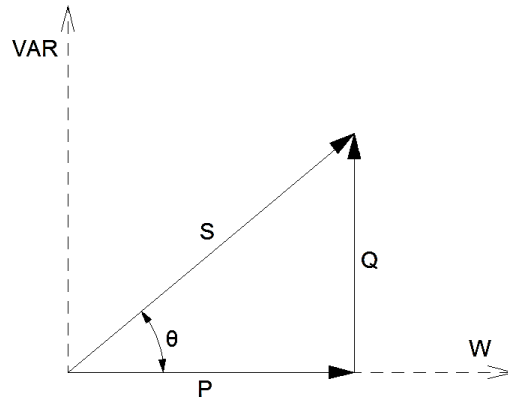


Figura 2. Triángulo de potencia para un sistema sinusoidal.

Fuente: El autor

$$Fp = \cos \varphi \quad (1)$$

$$Fp = \frac{P}{S} \quad (2)$$

$$Fp = \frac{S}{\sqrt{P^2 + Q^2}} \quad (3)$$

Dónde:

Fp= Factor de potencia.

P= Potencia activa [W].

S= Potencia aparente [VA]

Q= Potencia reactiva [VAR] (Álvarez, 2012)

d.1.1.3.1 CONSECUENCIAS DEL BAJO FACTOR DE POTENCIA

El factor de potencia tiene valores entre cero y uno, como el factor de potencia es la relación entre la potencia que se utiliza para un trabajo útil y la potencia total consumida; sería ideal que el factor de potencia sea igual a la unidad para una mayor eficiencia y menor cantidad de pérdidas.

La unidad en el factor de potencia sólo se lo puede tener en cargas puramente resistivas donde no hay consumo de potencia reactiva, pero en la realidad las cargas tienen unos

comportamientos inductivos que requieren potencia reactiva por lo que el factor de potencia se aleja de la unidad. (OLADE, 1993)

d.1.1.4 TRANSFORMADORES

El transformador constituye la parte principal de una subestación eléctrica, es quizás una de las máquinas eléctricas de mayor utilidad que jamás se hayan inventado, nos permite aumentar o disminuir la tensión eléctrica en un sistema de corriente alterna, puede aislar un circuito entre sí. Además de que nos permite el transporte y distribución de la energía eléctrica desde las plantas de generación hasta las industrias y casas habitación, de una manera segura. (Mar, 2011)



Figura 3. Transformador

Fuente: <http://spanish.alibaba.com>

d.1.1.4.1 CLASIFICACIÓN DE LOS TRANSFORMADORES

- POR LA OPERACIÓN

a. Transformadores de distribución

Se denomina transformadores de distribución, generalmente a los transformadores de potencias iguales o inferiores a 500 kVA y de tensiones iguales o inferiores a 67 000 V, tanto monofásicos como trifásicos.



Figura 4. Transformador de distribución

Fuente: <http://electricidad-ibf.blogspot.com/>

b. Transformadores de potencia

Se utilizan para subtransmisión y transmisión de energía eléctrica en alta y media tensión. Son de aplicación en subestaciones transformadoras, centrales de generación y en grandes usuarios. Tienen capacidades mayores a 500 KVA.



Figura 5. Transformador de potencia

Fuente: <http://www.deusa.com.mx/>

- POR EL NÚMERO DE FASES

a. Transformador monofásico

Son transformadores de potencia o distribución, que son conectados a una línea o fase y un neutro o tierra. Estos transformadores tienen un solo devanado de alta tensión y uno de baja tensión.



Figura 6. Transformador Monofásico.

Fuente: <http://inductoreseinductancia.blogspot.com/>

b. Transformadores trifásicos

Transformadores de potencia o distribución, que son conectados a tres líneas o fases y pueden estar o no conectados a un neutro común o tierra. Estos transformadores tienen tres devanados de alta tensión y tres de baja tensión.



Figura 7. Transformador Trifásico.

Fuente: <http://www.centroelectricoweg.com.br/>

- POR SU UTILIZACIÓN

a. Transformador para generador

Son transformadores de potencia que van conectados a la salida del generador. Son aquellos, que proporcionan la energía a la línea de transmisión.

b. Transformador para subestación

Son aquellos transformadores de potencia que van conectados al final de la línea de transmisión para reducir la tensión a nivel de subtransmisión.

c. Transformadores de distribución

Son transformadores que reducen la tensión de subtransmisión a nivel de consumo.

d. Transformadores especiales

Son transformadores de potencia que son utilizados como por ejemplo para: reguladores de tensión, transformadores para rectificadores, transformadores para horno de arco eléctrico, transformadores defasadores, autotransformadores para mina, transformadores para prueba, transformadores para fuentes de corriente directa.

e. Transformadores de instrumentos

Son transformadores de potencial y de corriente. Estos transformadores son utilizados para la medición, en la protección y en el control. (Arellano, 2007)

d.1.1.4.2 TRANSFORMADORES AUTOPROTEGIDOS

El transformador incorpora elementos para protección del sistema de distribución contra sobrecargas y cortocircuitos en la red secundaria y fallas internas en el transformador, conteniendo en su interior fusibles de alta tensión e interruptor de baja tensión.

Para protección contra sobretensiones, el transformador es provisto de dispositivos para fijación de pararrayos externos en el tanque.



Figura 8. Transformador Autoprotegido.

Fuente: <http://www.weg.net/>

d.1.1.4.3 TRANSFORMADORES CONVENCIONALES

Se fabrican en potencias desde 5 kVA hasta 167 kVA monofásicos y desde 15 kVA hasta 500 kVA trifásicos, cumpliendo con las normas NTC, ANSI, IEC o especificaciones particulares de los clientes.

Los transformadores monofásicos pueden contar con uno o dos pasatapas en la alta tensión para ser conectados en sistemas E1GrdY/E o E/E1GrdY respectivamente, donde E es el voltaje fase-neutro y E1 es el voltaje entre fases. En baja tensión se encuentran las configuraciones 2E/E o E/2E, estos últimos generalmente se utilizan para formar bancos trifásicos.

La configuración de los transformadores trifásicos se hace de acuerdo a la conexión solicitada por la norma o el cliente, siendo las más usadas Dyn5 y Yyn0.

Los transformadores de distribución convencionales son comúnmente usados para cargas de servicios residenciales y en ocasiones para cargas livianas tanto comerciales como industriales.

Este tipo de transformador no contiene ningún accesorio de protección, por lo tanto los pararrayos y protecciones contra sobre-tensión y sobre-carga deben ser suministrados por el comprador. (Llamo, 2007)



Figura 9. Transformador Convencional.

Fuente: <http://www.magnetron.com.co/>

d.1.1.5 MALLA DE PUESTA A TIERRA

Es un conjunto de conductores desnudos que permiten conectar los equipos que componen una instalación a un medio de referencia, en este caso la tierra. Tres componentes constituyen la resistencia de la malla de tierra:

- La resistencia del conductor que conecta los equipos a la malla de tierra.
- La resistencia de contacto entre la malla y el terreno.
- La resistencia del terreno donde se ubica la malla.
- Una malla de tierra puede estar formada por distintos elementos:
- Una o más barras enterradas.
- Conductores instalados horizontalmente formando diversas configuraciones.
- Un reticulado instalado en forma horizontal que puede tener o no barras conectadas en forma vertical en algunos puntos de ella.

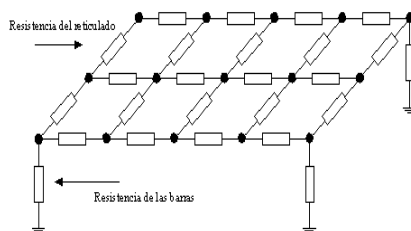


Figura 10. Malla de puesta a tierra.

Fuente: <http://patricioconcha.ubb.cl/>

Las barras verticales utilizadas en la construcción de las mallas de tierra reciben el nombre de barras copperweld y están construidas con alma de acero revestidas en cobre. El valor de la resistencia de una malla de tierra depende entre otros parámetros de la resistividad del terreno. El método más usado para determinar la resistividad del terreno es el de Schlumberger, el cual permite determinar las capas que componen el terreno, como también la profundidad y la resistividad de cada uno de ellos.

d.1.1.5.1 FUNCIONES DE UNA MALLA DE PUESTA A TIERRA.

Entre las más importantes se tienen:

- Proporcionar seguridad al personal de la subestación.

- Proporcionar una vía rápida de descarga de baja impedancia con el fin de mejorar y asegurar el funcionamiento de protecciones.
- Evitan sobre voltajes producidos por descargas Atmosféricas, operación o maniobras de disyuntores.
- Permitir la conducción a tierra de cargas estáticas o descargas atmosféricas.
- Garantizar a niveles seguros los valores de la tensión a tierra de equipos o estructuras accidentalmente energizados y mantener en valores determinados la tensión fase–tierra de sistemas eléctricos, fijando los niveles de aislamiento.
- Permitir a los equipos de protección aislar rápidamente las fallas.

d.1.1.5.2 REQUISITOS DE UNA MALLA A TIERRA.

Los requisitos que debe cumplir una malla de puesta a tierra son los siguientes:

- Debe tener una resistencia tal, que el sistema se considere sólidamente puesto a tierra.
- La variación de la resistencia, debido a cambios ambientales, debe ser despreciable de manera que la corriente de falla a tierra, en cualquier momento, sea capaz de producir el disparo de las protecciones.
- Impedancia de onda de valor bajo para fácil paso de las descargas atmosféricas.
- Debe conducir las corrientes de falla sin provocar gradientes de potencial peligrosos entre sus puntos vecinos.
- Debe ser resistente a la corrosión. (Hernández, 2013)

d.1.1.6 TIPOS DE ESTRUCTURAS DE MEDIA TENSIÓN.

d.1.1.6.1 ESTRUCTURAS MONOFÁSICAS

En la Tabla 1 se describen los datos de estructuras monofásicas, como se muestra a continuación:

Tabla 1. Estructuras monofásicas

EJEMPLOS DE SIMBOLOGÍA DE ESTRUCTURAS 1F MEDIO VOLTAJE	
DESCRIPCIÓN	ETIQUETA (SIG Y DISEÑO)
Estructura 1F Centrada Pasante	1CP
Estructura 1F Centrada Angular	1CA
Estructura 1F Centrada Retención	1CR
Estructura 1F Centrada Doble retención	1CD
Estructura 1F En volado Pasante	1VP
Estructura 1F En volado Angular	1VA
Estructura 1F En volado Retención	1VR
Estructura 1F En volado Doble retención	1VD
Estructura 1F Bandera Angular	1BA
Estructura 1F Bandera Doble retención	1BD
Estructura 1F Centrada Pasante, derivación 1F Centrada Retención	1CP+1CR
Estructura 1F Centrada Pasante, derivación 1F Bandera Angular	1CP+1BA
Estructura 1F Centrada Angular, derivación 1F Bandera Angular	1CA+1BA
Estructura 1F Centrada Angular, derivación 1F Centrada Retención	1CA+1CR
Estructura 1F Centrada Retención, derivación 1F Bandera Angular	1CR+1BA
Estructura 1F Centrada Retención, derivación 1F Centrada Retención	1CR+1CR
Estructura 1F Centrada Doble Retención, derivación 1F Centrada Retención	1CD+1CR
Estructura 1F Volada Pasante, derivación 1F Centrada Retención	1VP+1CR
Estructura 1F Centrada Retención, derivación 1F en Bandera Doble retención	1CR+1BD
Estructura 1F Centrada Retención, derivación 1F Centrada Retención, derivación 1F Centrada Retención	1CR+1CR+1CR

Fuente: Ministerio de Electricidad y Energía Renovable

d.1.1.6.2 ESTRUCTURAS TRIFÁSICAS

En la Tabla 2, se describen los datos de estructuras trifásicas, a continuación se especifica cada una de ellas:

Tabla 2. Estructuras trifásicas

EJEMPLOS DE SIMBOLOGÍA DE ESTRUCTURAS 3F MEDIO VOLTAJE	
DESCRIPCIÓN	ETIQUETA (SIG Y DISEÑO)
Estructura 3F Centrada Pasante	3CP
Estructura 3F Centrada Angular	3CA
Estructura 3F Centrada Retención	3CR
Estructura 3F Semicentrada Angular	3SA
Estructura 3F Semicentrada Retención	3SR
Estructura 3F Semicentrada Doble retención	3SD
Estructura 3F En volado Pasante	3VP
Estructura 3F En volado Retención	3VR
Estructura 3F En volado Doble retención	3VD
Estructura 3F Dos Postes Pasante	3HP
Estructura 3F Dos Postes Retención	3HR
Estructura 3F Dos Postes Doble retención	3HD
Estructura 3F Tres Postes Retención	3TR

Fuente: Ministerio de Electricidad y Energía Renovable

d.1.1.7 TIPOS DE CONDUCTORES.

Existen diferentes tipos de conductores que son utilizados en el diseño y construcción de redes de distribución, a continuación se presentan los principales tipos de conductor.

d.1.1.7.1 CONDUCTORES “ACSR” (ALUMINUM CONDUCTOR STEEL REINFORCED)

Los cables de aluminio con alma de acero (ACSR) se emplean en líneas de baja, media y alta tensión, conforme a los códigos y normativas de montaje de la zona de instalación.

Estos conductores están elaborados con alambres de Aluminio 1350 - H19 (extra duro) cableados sobre un núcleo de acero galvanizado, compuesto por un alambre o por un conjunto de alambres constituyendo una cuerda, dependiendo de la sección.

Las proporciones de Aluminio y Acero pueden variar para obtener la relación entre capacidad de transmisión de corriente y resistencia mecánica (a la tracción) más adecuada a cada aplicación.

El núcleo de acero está compuesto por alambres con galvanizado Clase A; no obstante, para una mejor protección en atmósferas con posibilidad de corrosión, se puede utilizar alambres de acero con galvanizado de Clase B. La aplicación de grasa en el conductor de Acero permite una protección adicional contra la corrosión. (CatálogoPrysmian, 2008)

- CARACTERÍSTICAS TÉCNICAS DE LOS CONDUCTORES ACSR.

En la Tabla 3 se muestran las características técnicas de los conductores ACSR:

Tabla 3. Características técnicas de los conductores ACSR

CONDUCTORES DE ALUMINIO REFORZADOS CON ACERO A.C.S.R							
Calibre	Sección	Formación No. De hilos por diámetro AL+Acero	Diámetro Exterior	Peso Total	Tensión de Ruptura	Resistencia C.Ca 20oc	Capacidad De Corriente
AWG o MCM	mm²	Mm	mm	Kg/Km	Kg.	Ohms/Km	AMP
6	15.46	6*1.68+1*1.68	5.04	53.61	530	2.1135	70
4	24.71	6*2.12+1*2.12	6.36	85.31	830	1.3278	95
2	29.22	6*2.67+1*2.67	8.01	135.65	1265	0.8530	130
1/0	63.38	6*3.37+1*3.37	10.11	215.9	1940	0.5381	175
2/0	78.64	6*3.78+1*3.78	11.34	272.1	2425	0.4160	205
3/0	99.23	6*4.25+1*4.25	12.75	342.9	3030	0.3379	240
4/0	125.1	6*4.77+1*4.77	14.31	432.5	3820	0.2697	275

Fuente: (CatálogoPrysmian, 2008)

d.1.1.7.2 CONDUCTORES “AAC7 (ALL ALUMINUM CONDUCTOR).

Este conductor desnudo está elaborado con alambres de aluminio 1350 cableados helicoidalmente, y se suministran con diferentes clases de cableado y medidas de acuerdo a los requerimientos de los clientes.

Los conductores AAC se emplean generalmente en situaciones donde los vanos son relativamente cortos, por lo que la menor resistencia mecánica no es importante. Su mayor aplicación es generalmente en pequeñas aplicaciones de distribución de potencia. (CatálogoPrysmian, 2008)

- CARACTERÍSTICAS TÉCNICAS DE LOS CONDUCTORES AAC.

En la Tabla 4 se observan las características técnicas de los conductores AAC:

Tabla 4. Características técnicas de los conductores AAC

CONDUCTORES DE ALUMINIO DESNUDO A.S.C A.A.C							
Calibre	Sección	Formación No. De hilos por diámetro AL+Acero	Diámetro Exterior	Peso Total	Tensión de Ruptura	Resistencia C.Ca 20oc	Capacidad De Corriente
AWG o MCM	mm²	mm	Mm	Kg/Km	Kg.	Ohms/Km	AMP
6	13.3	7*1.554	4.65	36.59	265	2.163	103
4	21.45	7*1.961	5.89	57.7	415	1.351	138
2	33.62	7*2.474	7.42	91.8	635	0.854	185
1/0	53.49	7*3.119	9.36	146.1	940	0.534	247
2/0	67.43	7*3.503	10.55	184.2	1185	0.424	186
3/0	85.01	7*3.932	11.79	232.2	1435	0.336	331
4/0	107.2	7*4.417	13.26	292.3	1810	0.267	383
266.8	135.2	7*4.958	14.88	372.2	2190	0.212	443

Fuente: (CatálogoPrysmian, 2008)

Nota: La capacidad de corriente en amperios es calculada para una temperatura del conductor de 75 °C, temperatura ambiente 25 °C, emisividad de 0.5, viento de 0.61 m/seg y con efecto del sol (1033 watts/m²).

d.1.1.7.3 MATERIALES EMPLEADOS EN CONDUCTORES PARA LÍNEAS AÉREAS

Los materiales empleados comúnmente para los conductores de fase son el aluminio puro, la aleación de aluminio y el aluminio con refuerzo central de alambres de acero, mientras que para el hilo de guardia se emplean cuerdas de acero galvanizado, el que puede incluir un tubo central de aluminio con fibras ópticas en su interior.

La selección del material óptimo se determina por las condiciones específicas de cada instalación. Algunos de los elementos a considerar son:

- Capacidad de corriente requerida.
- Longitud de la línea.
- Condiciones climáticas que prevalecen en la traza de la línea.
- Posibilidad de corrosión.
- Condiciones físicas. (CatálogoPrysmian, 2008)

d.1.1.8 PÉRDIDAS EN TRANSFORMADORES Y LÍNEAS DE DISTRIBUCIÓN.

d.1.1.8.1 PÉRDIDAS EN TRANSFORMADORES

Los transformadores de distribución están presentes en todas las instalaciones industriales y comerciales. Ellos permanecen conectados de forma continua y es poca la información que se tiene respecto de sus rendimientos, quizás debido a que es poca la injerencia que tiene el usuario respecto de estos equipos.

Un transformador de distribución normal tiene pérdidas debido a varias razones:

- a) Pérdidas en el devanado primario.
- b) Pérdidas en el devanado secundario.
- c) Pérdidas de magnetización.
- d) Pérdidas de origen dieléctrico.
- e) Pérdidas de tipo parasitarias. (Guevara, 2011)

d.1.1.8.2 PÉRDIDAS EN LÍNEAS DE DISTRIBUCIÓN

Las pérdidas óhmicas ocurren en un conductor convencional cuando el cable lleva la corriente. Las pérdidas de óhmicas también ocurren en los escudos del dieléctrico y el blindaje debido a las corrientes circulantes inducidas, las corrientes de remolino, e histéresis causadas por los campos magnéticos de AC creados por las corrientes en los tres conductores. Las pérdidas dieléctricas ocurren en el dieléctrico debido al voltaje aplicado. Estas pérdidas aparecen como el calor y causan que la temperatura del cable suba hasta que el la dispersión del ambiente equilibra el calor generado por las pérdidas. La degradación termal de la celulosa en el dieléctrico limita la temperatura a que el sistema puede operar y por eso los límites la capacidad de traslado de potencia del sistema. (Jiménez; Cantu; Conde, 2006)

Perdidas por efecto joule. Se conoce como efecto joule al fenómeno irreversible por el cual si en un conductor circula corriente eléctrica, parte de la energía cinética de los electrones se transforma en calor debido a los choques que sufren con los átomos del material conductor por el que circulan, elevando la temperatura del mismo. (Santamaría, 2009)

El rendimiento de una línea es distinto según la transmisión en que se efectuó, ya sea para corriente continua o alterna, monofásica o trifásica. (Jiménez; Cantu; Conde, 2006)

d.1.1.9 PARÁMETROS INDICADORES CARACTERÍSTICOS.

d.1.1.9.1 FACTORES QUE CARACTERIZAN EL COMPORTAMIENTO DE LAS CARGAS.

En los estudios de redes de distribución se utilizan varios factores indicadores conocidos. A continuación se mencionan los más importantes y sus expresiones de cálculo.

- DEMANDA MÁXIMA (DM).

Se la conoce también como carga máxima, (kW O kVA) y corresponde a la carga mayor que se presenta en un sistema en un periodo de trabajo previamente establecido. (Castaño, 2004)

- FACTOR DEMANDA (FD)

Relaciona la demanda máxima de un sistema con la carga conectada a dicho sistema. El factor de demanda indica el grado en que se encuentra operando simultáneamente la carga instalada, es dimensional.

$$FD = \frac{DM}{CC} \leq 1 \quad (4)$$

Donde:

FD: (Factor demanda)

CC: (Carga conectada)

DM: (Demanda Máxima)

FACTOR DE DIVERSIDAD (FDiv).

Es la relación entre la suma de las máximas demandas de las cargas de un grupo y la demanda máxima del grupo en su conjunto y se define como.

$$FDiv = \frac{\Sigma \text{Demandas Máximas Individuales}}{\Sigma \text{Demanda Máxima del Grupo de Cargas}} \leq 1 \quad (5)$$

Dónde:

DM (individuales)

DM (del grupo de carga)

- FACTOR DE COINCIDENCIA (FCO).

Se define el Factor de coincidencia como el inverso del Factor de Diversidad. Así:

$$FCo = \frac{1}{FDiv} = \frac{\text{Demanda Máxima del Grupo de Cargas}}{\Sigma \text{Demandas Máximas Individuales}} \leq 1 \quad (6)$$

- TIEMPO DE UTILIZACIÓN DE LA DEMANDA MÁXIMA ($T_{m\acute{a}x}$).

Será considerado en horas por año de duración de la demanda máxima. Se obtendrá a partir del factor de carga con la expresión.

$$T_{\text{máx}} = \frac{\text{Energía servida en un año}}{\text{Demanda Máxima del año}} = \frac{\text{Horas}}{\text{Año}} \leq 1 \quad (7)$$

- FACTOR DE CARGA (FC).

Factor de carga (FC): El grado de utilización de un sistema se mide por medio de su factor de carga (relación entre la carga promedio y la carga máxima), entendiendo por carga promedio aquella de magnitud constante, que en el transcurso de un tiempo dado, (por ejemplo 24 horas si se toma un día), lleva la misma energía que la curva de comportamiento diario.

Dónde:

DM (Demanda Máxima.)

$$FC = \frac{\text{Carga Promedio en el año}}{\text{DM del año}} = \frac{T_{\text{máx}}}{8760} \leq 1 \quad (8)$$

- FACTOR DE CARGA REACTIVA (FCR).

La definición del Factor de Carga Reactiva es idéntica a la del Factor de Carga, pero con potencia reactiva:

$$FCR = \frac{\text{Carga reactiva promedio en el año}}{\text{DM del año}} \leq 1 \quad (9)$$

El FCR es utilizado en el cálculo del ahorro de energía por la instalación de condensadores.

- FACTOR DE PÉRDIDAS (FPerd) SUS RELACIONES CON EL FACTOR DE CARGA.

La definición del Factor de Pérdidas es idéntica a la del Factor de Carga, pero con las pérdidas del circuito:

$$F_{\text{Perd}} = \frac{\text{Pérdidas Promedio en el año}}{\text{Pérdidas Máximas en el año}} \quad (10)$$

- TIEMPO EQUIVALENTE DE PÉRDIDAS U HORAS EQUIVALENTES (T_e o τ).

Se define como el número de horas que las pérdidas en demanda máxima producen las mismas pérdidas que la demanda real y se define como:

$$Te = [a \cdot FC^2 + (a + b)FC] \cdot 8760 \frac{h}{\text{año}} \quad (11)$$

Que es válida para cualquier circuito de distribución donde se haya obtenido el parámetro “a” mediante la caracterización de sus consumidores.

- FACTOR DE POTENCIA (**cos φ**).

Es la relación entre la potencia activa (W, kW o MW) y la potencia aparente (VA, kVA, MVA), determinada en el sistema o en uno de sus componentes. (Castaño, 2004)

$$\mathbf{cos \varphi} = \frac{\text{Potencia Activa (kW)}}{\text{Potencia Aparente (kVA)}} \quad (12)$$

- POTENCIA APARENTE (S) Se la expresa en kVA.

$$S = \sqrt{P^2 + Q^2} \quad (13)$$

d.2 CAPÍTULO II: CARACTERIZACIÓN DEL CIRCUITO JUAN DE SALINAS PERTENECIENTE A LA SUB ESTACIÓN SAN CAYETANO.

El circuito Juan de Salinas Nro. 0213, perteneciente a la sub estación San Cayetano, es el encargado de proveer de subministro eléctrico al sector noroccidental de la ciudad de Loja, el tendido eléctrico de la red eléctrica está conformado por los siguientes elementos que se describen en las siguientes tablas:

Tabla 5: Componentes que conforman el alimentador Juan de Salinas.

ELEMENTO	CANTIDAD
Transformadores Monofásicos	96
Transformadores Trifásicos	45
Poste de hormigón armado de 9 m x 350/500 kg de esfuerzo a la rotura.	102
Poste de hormigón armado de 11 m x 350/500/700 kg de esfuerzo a la rotura.	158
Poste de hormigón armado de 14 m x 750 kg de esfuerzo a la rotura.	24
Cámara/ Pozos	50
ELEMENTO	TIPO
Estructuras Monofásicas	1ER,3CDT,1CRT; 1ER,1CRT; 3VDT,4EP; 3VDP,5EP; 4OP,1CPT; 4EP,3CDT,3CP; 4EP,3CPT; OID; 4EP,3CPT; 5ER,3CRT; 5EP,1CRT; 3VAT,4ER,4ER; 3VDT,5EP; 3VPT,5ER+5ER
Estructuras Trifásicas	3C3OT; 3VPT,5EP; 3VPT,5EP,3VPT; OID; 3C3OT; 3VPT,5EP,3VPT
Conductores:	Cables de aluminio desnudo tipo ACSR – XLPE. Para líneas subterráneas en diversas secciones: (4/0 3/0 2/0 1/0, 2)

Fuente: El autor

El circuito Juan de Salinas brinda servicio a consumidores residenciales y comerciales en comparación con el resto alimentadores aquí existen más abonados de carácter comercial, posee una longitud total de 8,094 km, muchas cargas comerciales importantes, debido a que alimenta básicamente el sector céntrico de la ciudad de Loja, puede interconectarse con el alimentador Centro en las calles José Félix de Valdivieso, este circuito tiene consumidores no residenciales que representan una carga importante para este circuito y se los describe a continuación:

Las cargas más importantes que sirve este alimentador son:

- Conecel S. A
- Edificio el Zamorano
- Centro Comercial “El Colibrí”
- SRI.
- IESS
- Banco de Loja
- Edificio Bolívar
- Colegio San Francisco
- Banco del Pichincha
- CNT (Corporación Nacional de telecomunicaciones)
- Clínica Hospital San José.

En la Figura 11 se presenta el diagrama unifilar de la subestación san Cayetano desde esta inicia el circuito en estudio

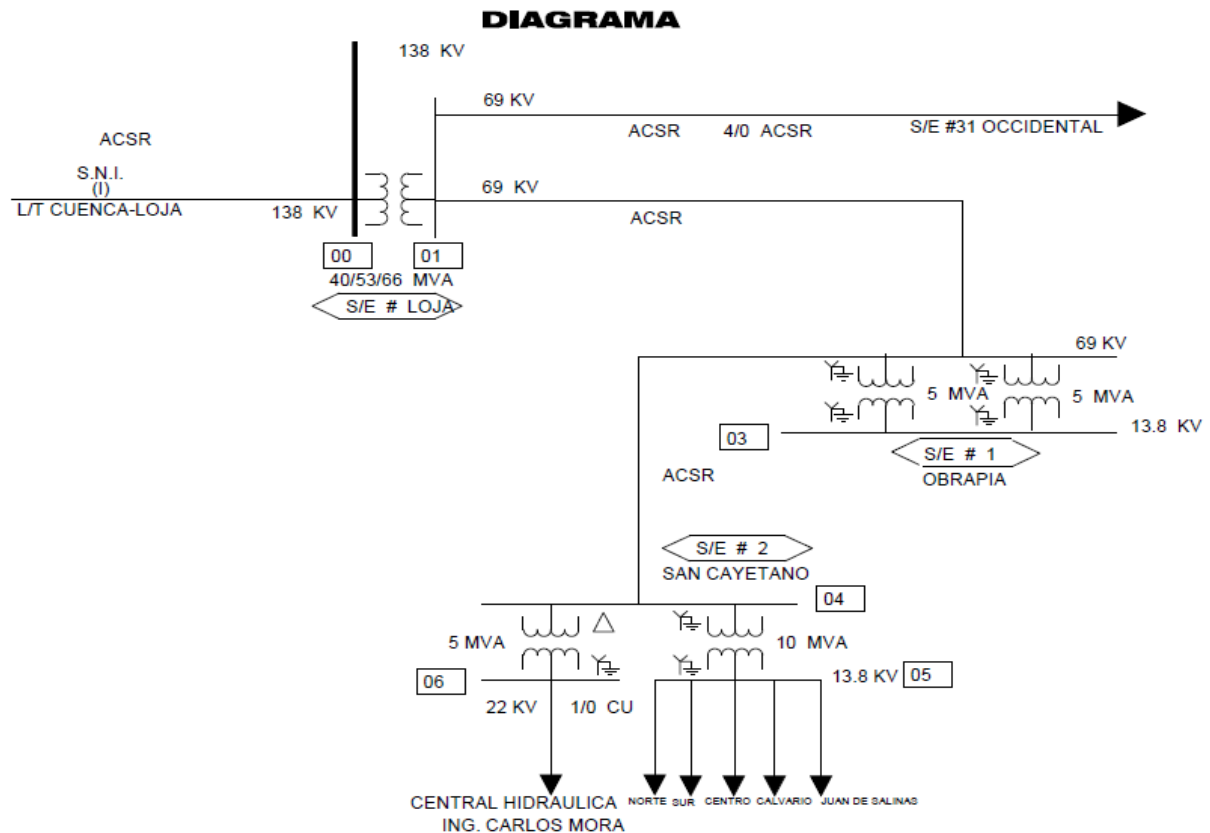


Figura 11. Diagrama Unifilar San Cayetano

Fuente: EERSSA

d.2.1 SCADA

Supervisory Control And Data Acquisition, y en español significa, Supervisión, Control y Adquisición de Datos y son aplicaciones de software, diseñadas con el objetivo de controlar y supervisar procesos a distancia, proporcionando comunicación con los dispositivos de campo (controladores autónomos, sensores, etc.) y controlando el proceso de forma automática desde una computadora u otro dispositivo. Igualmente, envía la información que se genera en el proceso de producción a uno o varios usuarios, del mismo nivel y hacia otros entes de supervisión dentro de la empresa, es decir, admite la participación de otras áreas. (Cárdenas, 2010)

La EERSSA implemento hace algunos años el sistema SCADA para la automatización del sistema eléctrico, el control y monitoreo de las subestaciones eléctricas, a la salida de cada

alimentador se instalaron equipos electrónicos los cuales permiten al usuario en tiempo real conocer el consumo de energía de cada alimentador. (EERSSA, 2013)

El sistema tiene montado una plataforma de monitoreo que permite registrar los datos en intervalos de 15 minutos y en el día se tendrá 96 mediciones como dato. Los datos almacenados se encuentran en el formato CSV, los cuales para poderlos interpretar es necesario convertirlos en formato XLS. (Cárdenas, 2010).

d.2.2 FLUJO DE POTENCIA DEL ALIMENTADOR JUAN DE SALINAS.

Para el desarrollo de este proyecto se requería el uso de un software de cálculo de uso específico, siendo el Software EDIS (Estudios de Distribución) el utilizado.

EDIS es un programa de computación elaborado con la finalidad de ayudar a los ingenieros que trabajan en las redes de distribución a estimar caídas de tensión, pérdidas de potencia y a evaluar la aplicación de mejoras técnicas, para tratar de buscar siempre mejorar el funcionamiento de la red. Está programado en Delphi Pascal Versión 7 e incluye procedimientos de cálculo como son:

Balanceo de cargas de los circuitos por teoría combinatoria, optimización de la ubicación de reactivo utilizando un algoritmo genético especializado propio, evaluación de cambio del calibre de los conductores teórico y normalizado.

d.2.2.1 VENTAJAS

- Balanceo de cargas de los circuitos por teoría combinatoria.
- Optimización de la ubicación de reactivo utilizando un algoritmo genético especializado propio.
- Evaluación de cambio del calibre de los conductores teórico y normalizado.

d.2.2.2 DESVENTAJAS

- No contempla el trabajo de reconfiguración de una red.
- No permite coordinación de protecciones
- No se pueden realizar estudios de circuitos secundarios. (Carrión, 2011)

d.2.3 MÉTODO DE ARDVINSON

Las simulaciones que ejecuta el Edis se basan en el método de Ardvinson, aplicado a los nodos con demanda desconocida (no leídos).

d.2.3.1 DESCRIPCIÓN DEL MÉTODO

Este método es también conocido como el método de “punto por punto”, porque los cálculos de las caídas de tensión y las pérdidas se hacen para cada tramo del circuito, parte de una sola medición en la subestación y establece cinco suposiciones.

- a. El factor de potencia es uniforme en todo el circuito
- b. El factor de capacidad es uniforme para todos los transformadores del alimentador analizado e igual al medido en la subestación.
- c. El factor de diversidad es unitario para todas las cargas de circuito en máxima y en mínima demanda.
- d. Las cargas están perfectamente balanceadas en todo el circuito
- e. El crecimiento vegetativo es uniforme para todo el circuito (Carrión, 2011)

De acuerdo con la capacidad instalada (kVA) el método de Ardvinson le asigna una potencia de cálculo a cada nodo, para lo cual calcula un factor de capacidad (FCap) que es la relación entre la demanda de los nodos “no leídos” y la capacidad de transformación total de esos nodos.

Suponga que en un circuito de distribución primaria con N nodos, existen N_1 de ellos con la posibilidad de realizar mediciones de los parámetros requeridos en el cálculo del flujo de potencia. (Llamados nodos “leídos”). Si a la demanda de la subestación se le resta el acumulado de esa demanda “leída”, quedará una demanda $S(t)$ que corresponde a la de los demás nodos más las pérdidas del circuito. En el momento de máxima demanda $S_{\text{máx}} = S(t)$. Este método considera el factor de carga uniforme y el factor de capacidad se calcula sin tener en cuenta el efecto de los condensadores. Para conocer el verdadero factor de capacidad es necesario realizar mediciones en cada transformador.

Las suposiciones del método de Ardvinson no son confiables para la evaluación de la demanda de un nodo de forma aislada; sino para tener en cuenta el efecto del nodo en la evaluación del circuito en su conjunto. De esta forma, los nodos más alejados pueden dar resultados que difieren sensiblemente de los obtenidos por Ardvinson pero el conjunto ofrece mayor fiabilidad.

Este método considera además que las curvas de demanda de todos los consumidores tienen la misma forma, lo cual significa que todas las cargas tienen sus valores máximo y mínimo al mismo tiempo, lo que hace más práctico y sencillo el método de trabajo. Esto no se cumple en todos los casos, pues todas las cargas no son coincidentes en el tiempo, lo que implicaría usar este método para cada una de las cargas aplicando superposición y teniendo en cuenta el factor de diversidad.

Los cálculos se simplifican también al suponer las cargas balanceadas entre las tres fases, pues éstos se pueden realizar para una sola fase. (Miranda, 2005)

d.2.4 FLUJO DE POTENCIA.- MÉTODOS GENERALES GAUSS-SEIDEL Y NEWTON-RAPHSON

FLUJO DE POTENCIA.- El objetivo principal de un sistema eléctrico de potencia es satisfacer la demanda. Como consecuencia surge el problema de por dónde debe hacerse la alimentación e incluso prever caídas de tensión, regulación de transformadores, inyección de potencia reactiva,

Los estudios de flujo de potencia, más normalmente llamados estudios de flujo de carga, son sumamente importantes para evaluar el funcionamiento de los sistemas de potencia, su control y planificación para expansiones futuras. Un estudio de flujo de potencia define principalmente las potencias activa y reactiva y el vector de tensión en cada bus en el sistema, aunque mucha información adicional estará disponible en la salida por impresora de ordenador del estudio de flujo de potencia típico.

Los principios en los estudios del flujo de potencia son fáciles, pero un estudio relativo a un sistema de la potencia real solo se puede llevar a cabo con un ordenador digital. Entonces la necesidad sistemática de cálculos numéricos requiere que se ejecuten por medio de

un procedimiento iterativo; dos de los normalmente más usados son el método Gauss-Seidel y el método Newton-Raphson. Antes de considerar estos métodos numéricos, se ilustra el concepto del flujo de potencia para obtener las expresiones explícitas de la potencia que fluye en una línea corta de transmisión. (Cantabria, 2012)

d.2.4.1 MÉTODO DE NEWTON RAPHSON

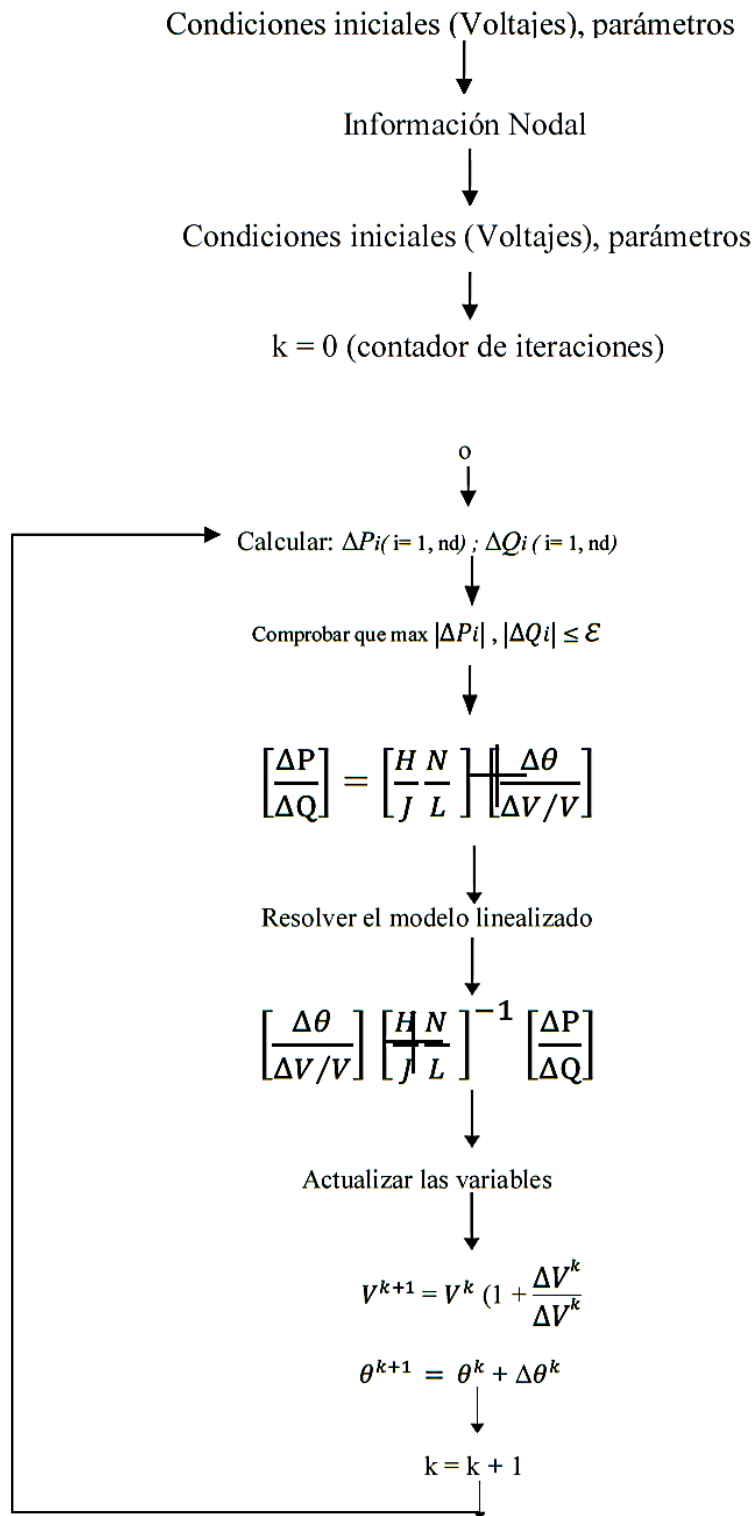


Figura 12. Algoritmo para la solución del problema de flujo de potencia por método de Newton Raphson

Fuente: (J.Grainger, 2012)

d.2.4.2 MÉTODO DE GAUSS SEIDEL

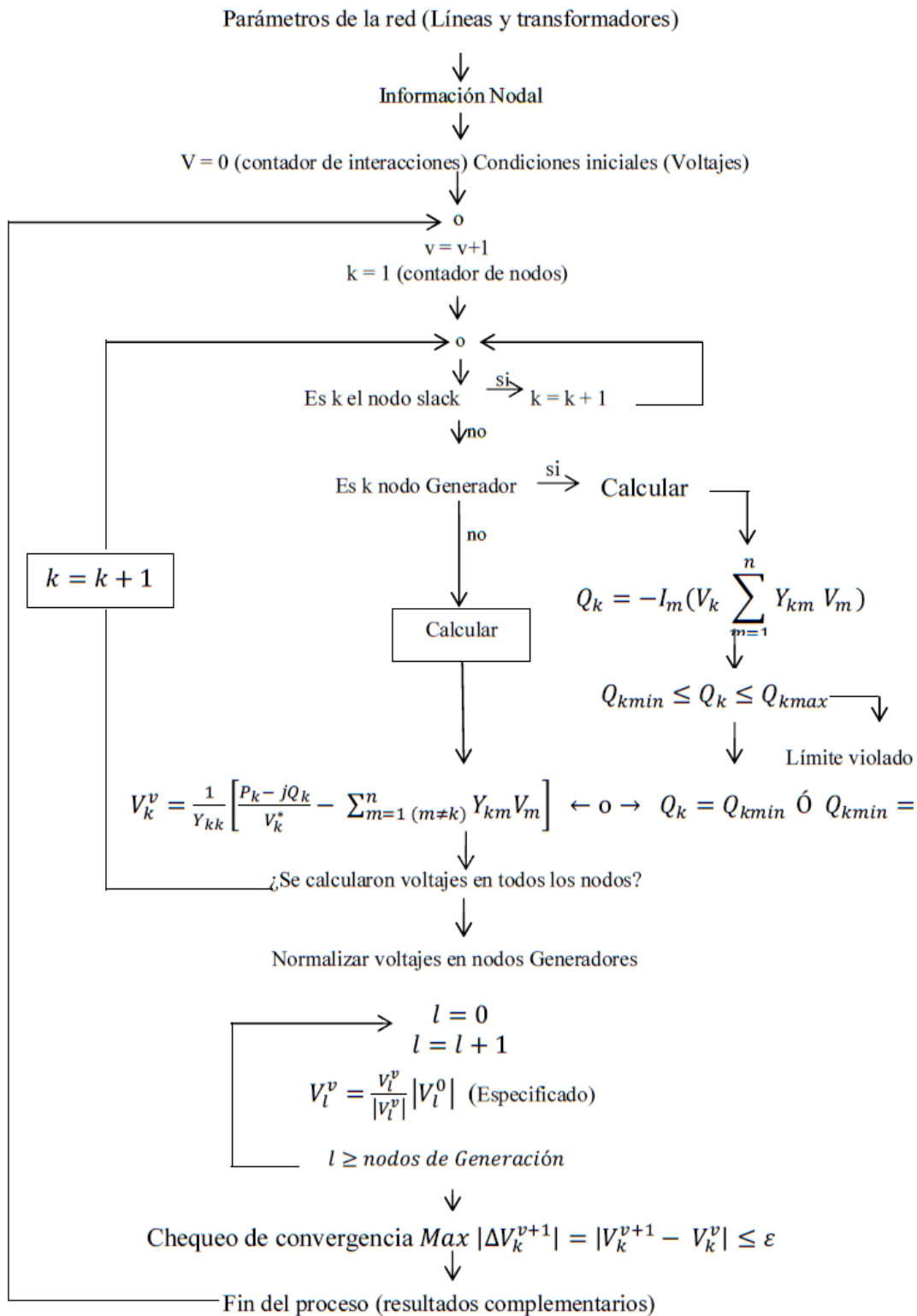


Figura 13. Algoritmo para la solución del problema de flujo de potencia por método de Gauss Seidel

Fuente: (J.Grainger, 2012)

e.- MATERIALES Y MÉTODOS

e.1 MATERIALES

- Materiales de escritorio.
- Base de datos proporcionada por la EERSSA.
- Catálogos técnicos.
- Fuentes bibliográficas.
- Softwares de cálculo y simulación.

e.2 MÉTODOS

Para el desarrollo del presente proyecto de tesis, se consideró los siguientes pasos:

Para el desarrollo de esta investigación la EERSSA proporcionó la base de datos y el diagrama unifilar del circuito, las demandas de consumo de los últimos 9 meses que comprenden desde octubre 2011 a junio 2012 que equivalen a 2880 datos por cada mes, estos son los índice de consumo de cada mes, la base de datos fue obtenida del sistema SCADA que posee la EERSSA para lecturas de consumo a cada salida de los alimentadores.

Para el procesamiento de la base de datos fue necesario utilizar las siguientes herramientas informáticas: Para ello hubo la necesidad de importar los datos al Excel para su tabulación.

e.2.1 IMPORTAR UN FICHERO CSV A MICROSOFT EXCEL XLS

- Para realizar la importación o conversión del fichero CSV abriremos Microsoft Excel, abriremos la ficha "Datos" y pulsaremos en "Obtener datos externos", seleccionaremos "Desde texto".
- Seleccionaremos el fichero con formato CSV, y pulsaremos "Importar".
- Nos mostrará el asistente para importar texto, en primer lugar seleccionaremos los siguientes datos:
 - Tipo de los datos originales: seleccionaremos el formato del tipo de archivo, o bien delimitado (por comas o punto y coma) o bien de ancho fijo (normalmente espacios o tabuladores).

- En "Comenzar a importar en la fila" introduciremos "1" y en "Origen del archivo" seleccionaremos "Windows (ANSI)".
- Pulsaremos "Siguiente" para continuar
- A continuación indicaremos el separador usado en nuestro fichero csv. Los separadores permitidos:
 - Tabulación.
 - Punto y coma.
 - Coma.
 - Espacio y Otro carácter
- A continuación el asistente nos permitirá elegir el tipo de datos básico para cada columna. Seleccionaremos el tipo de datos para cada columna y pulsaremos "Finalizar".
- Introduciremos en qué fila y en qué columna queremos insertar los datos y pulsaremos "Aceptar"
- Microsoft Excel nos mostrará los datos importados del fichero CSV
- Pulsaremos en "Guardar" para guardar los datos CSV a formato Microsoft Excel (hoja de cálculo xls ó xlsx) (Pérez, 2013)

	A	B	C	D	E
1		SEPTIEMBRE 18/09/2011	OCTUBRE 17/10/2011		
2	timestamp	SCAYESC1J_SALPP_VAL0	SCAYESC1J_SALPQ_VAL0	SCAYESC1_S	SCAYESC1_FP
3	18/09/2011 0:00	659,72716452528	346,4754173	745,1745745	0,88533236
4	18/09/2011 0:15	697,69707327494	334,8735008	773,9001664	0,901533691
5	18/09/2011 0:30	690,31403546251	358,0773339	777,6585656	0,887682675
6	18/09/2011 0:45	659,72716452528	346,4754173	745,1745745	0,88533236
7	18/09/2011 1:00	660,78188421278	360,1867733	752,5737241	0,878029438
8	18/09/2011 1:15	650,23468733787	355,9678945	741,2950091	0,877160482
9	18/09/2011 1:30	640,74221015046	361,241493	735,5582887	0,871096445
10	18/09/2011 1:45	630,19501327555	357,0226142	724,3002843	0,870074232
11	18/09/2011 2:00	603,82702108829	347,530137	696,6952472	0,866701795
12	18/09/2011 2:15	597,49870296335	349,6395764	692,2806753	0,863087364
13	18/09/2011 2:30	576,40430921354	346,4754173	672,522968	0,857077508
14	18/09/2011 2:45	578,51374858852	344,365978	673,2503874	0,859284687
15	18/09/2011 3:00	566,91183202612	344,365978	663,3075848	0,854674129
16	18/09/2011 3:15	573,24015015107	364,405652	679,2611788	0,843917138
17	18/09/2011 3:30	552,14575640126	354,9131748	656,3751199	0,841204579
18	18/09/2011 3:45	566,91183202612	367,5698111	675,6453147	0,839067214
19	18/09/2011 4:00	559,52879421369	342,2565386	655,9054884	0,853063138
20	18/09/2011 4:15	548,98159733879	334,8735008	643,0560285	0,853707256
21	18/09/2011 4:30	560,58351390118	346,4754173	659,0137259	0,850640119
22	18/09/2011 4:45	561,63823358867	349,6395764	661,5779159	0,848937397
23	18/09/2011 5:00	555,30991546373	342,2565386	652,3102333	0,851297262
24	18/09/2011 5:15	558,47407452620	340,1470992	653,9062173	0,854058365

Figura 14. Tabla de datos importados al Excel.

Fuente: El autor

Con los datos obtenidos en formato Excel se procedió a tabular, en los anexos 4-12 se presenta la base de datos procesada de cada mes. Y de allí se tomó el día de mayor consumo que en lo posterior lo utilizare para realizar la simulación y corrida de flujos de potencia con un software diseñado para este fin específico.

Así mismo se utilizó el diagrama unifilar del circuito el mismo que se encuentra en formato ARCGIS.

e.2.2 ARCGIS

ArcGIS es el nombre de un conjunto de productos de software en el campo de los Sistemas de Información Geográfica o SIG. Producido y comercializado por ESRI, bajo el nombre genérico ArcGIS se agrupan varias aplicaciones para la captura, edición, análisis, tratamiento, diseño, publicación e impresión de información geográfica. Estas aplicaciones se engloban en familias temáticas como ArcGIS Server, para la publicación y gestión web, o ArcGIS Móvil para la captura y gestión de información en campo. (ecured, 2013)

e.2.3 SISTEMA DE INFORMACIÓN GEOGRÁFICA

Un Sistema de Información Geográfica (SIG o GIS) es una integración organizada de hardware, software y datos geográficos diseñada para capturar, almacenar, manipular, analizar y desplegar en todas sus formas la información geográficamente referenciada con el fin de resolver problemas complejos de planificación y gestión geográfica. También puede definirse como un modelo de una parte de la realidad referido a un sistema de coordenadas terrestre y construido para satisfacer unas necesidades concretas de información, la empresa eléctrica tiene implementado el sistema SIG, para tener mayor flexibilidad en el manejo de las redes eléctricas bajo su concesión (Langleruben, 2012)

e.2.3.1 APLICACIÓN SIG EN LA EERSSA

Esta aplicación permite visualizar redes y equipos de toda el área de concesión de la EERSSA, permite realizar búsquedas de datos de clientes, postes, transformadores, medidores y pozos. Utiliza tecnología ArcGis y ArcFM., esta aplicación permite observar todos los elementos que conforman el circuito Juan de Salinas, en el sistema de

e.2.4 DIAGRAMA SIMPLIFICADO PARA LA UTILIZACIÓN DEL EDIS

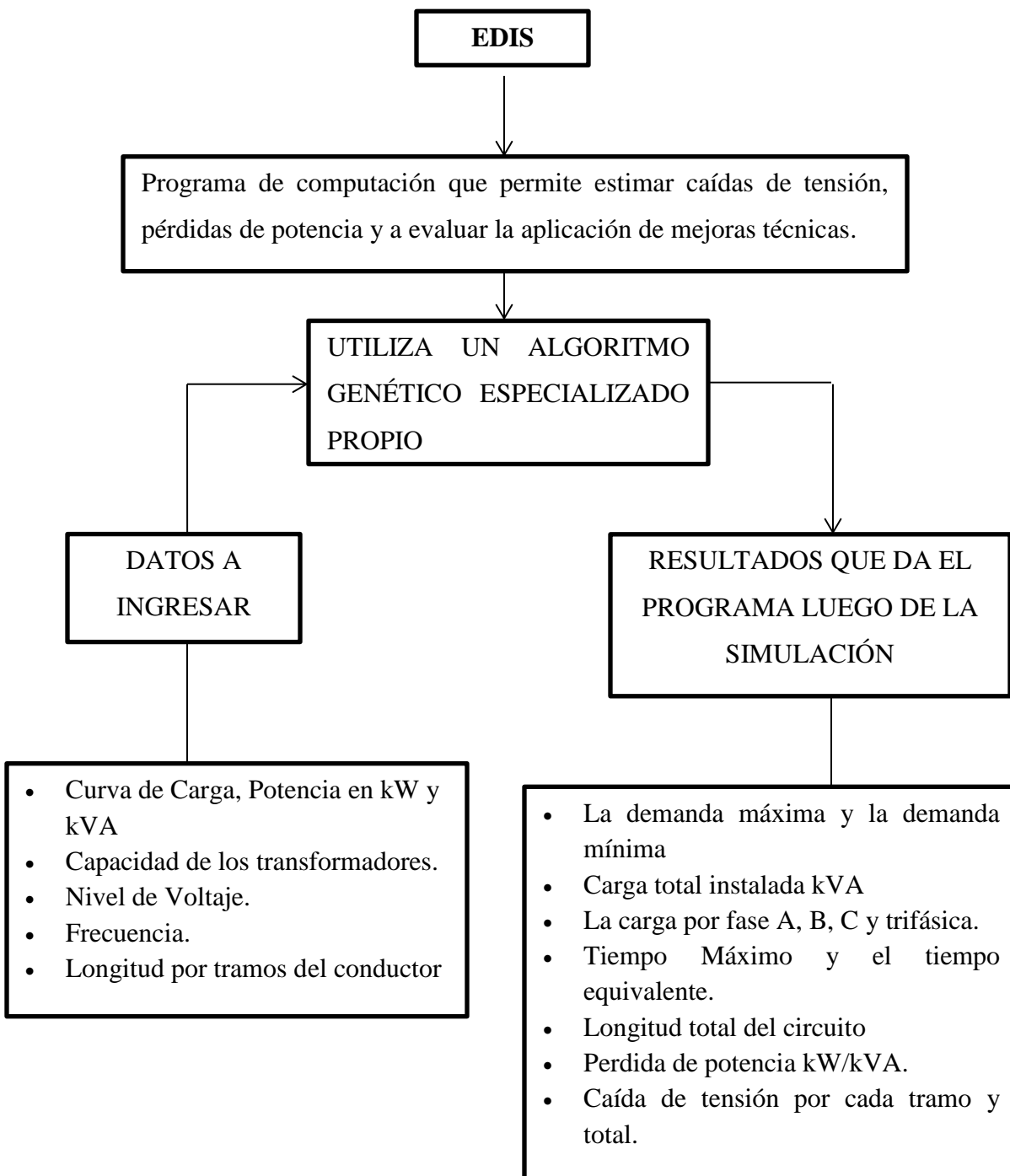


Figura. 16 Diagrama de Edis Para Flujo de Potencia

Fuente: El autor

e.2.5 MÉTODO DE CÁLCULO QUE UTILIZA EL SOFTWARE EDIS PARA EL FLUJO DE POTENCIA.

A continuación se presenta un ejemplo de un circuito de cuatro nodos, donde se describe la forma como lo realiza el programa.

Se determinan los parámetros del circuito, para ello es necesario determinar la curva de demanda máxima en un intervalo de tiempo en específico.

En la Tabla 6 se presentan la curva de demanda máxima seleccionada para este ejemplo, y se la representa gráficamente en la Figura 17:

Tabla 6. Curva de demanda máxima

HORA	S(KVA)	P(KW)	Q(Kvar)
0 a 1	80	72	34
1 a 2	75	66	37
2 a 3	72	63	35
3 a 4	70	59	35
4 a 5	69	61	36
5 a 6	69	61	32
6 a 7	80	74	32
7 a 8	96	90	33
8 a 9	251	242	68
9 a 10	271	261	72
10 a 11	143	136	43
11 a 12	148	140	50
12 a 13	147	140	49
13 a 14	132	127	45
14 a 15	134	126	45
15 a 16	141	134	45
16 a 17	151	142	49
17 a 18	145	136	49
18 a 19	155	149	41

HORA	S(KVA)	P(KW)	Q(Kvar)
19 a 20	155	149	43
20 a 21	131	126	37
21 a 22	123	117	40
22 a 23	110	103	38
23 a 0	95	87	36

Fuente: El autor

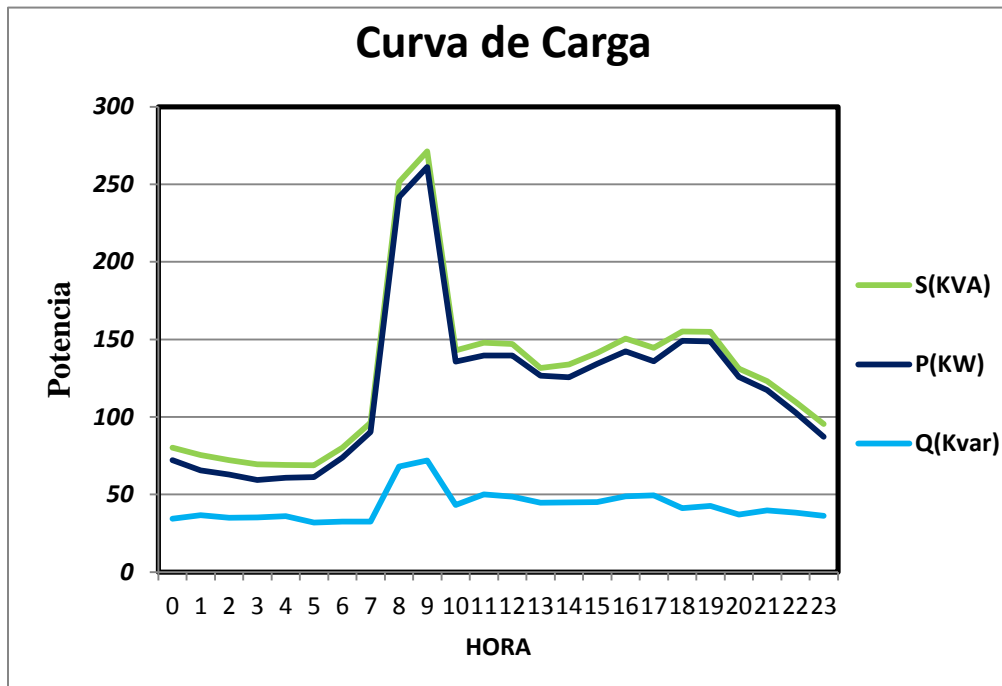


Figura 17. Gráfica de la curva de demanda máxima

Fuente: El autor

Establecida la curva de demanda máxima se procede a realizar el cálculo:

- Demanda Media

$$D_{med} = \frac{\sum_0^{23} S}{24}$$

$$D_{med} = \frac{3043kVA}{24}$$

$$D_{med} = 126,79kVA$$

- Demanda Máxima

$$D_{m\acute{a}x} = 271kVA$$

- Potencia Total Activa

$$\sum_0^{23} P = 2860kW$$

- Potencia Total Reactiva

$$\sum_0^{23} Q = 1027kVAR$$

- Potencia Total Aparente

$$\sum_0^{23} S = 3043kVA$$

Parámetros Generales del Circuito.

- Factor de carga

$$Fc = \frac{D_{med}}{D_{m\acute{a}x}}$$

$$Fc = \frac{126,79 kVA}{271 kVA}$$

$$Fc = 0,46$$

- Tiempo medio

$$Tm = Fc \times 8760h$$

$$Tm = 0,46 \times 8760h$$

$$Tm = 4029,6h$$

- Tiempo equivalente

En donde $a = 0,2$ y $b = 0,8$

$$Te = (a \times Fc + b \times Fc^2)8760h$$

$$Te = (0,2 \times 0,46 + 0,8 \times 0,46^2)8760h$$

$$Te = 2288,81h$$

- Factor de Potencia

$$Fp = \frac{P}{S}$$

$$Fp = \frac{2860kW}{3043 kVA}$$

$$Fp = 0,9383$$

Triángulo de Potencia

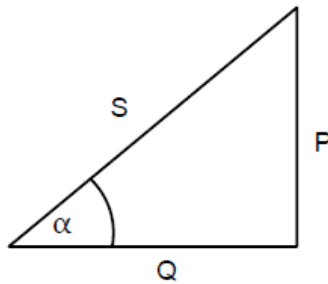


Figura 18. Triángulo de potencias

Fuente: El autor

$$\cos \alpha = \frac{P}{S} = \frac{2860}{3043}$$

$$\alpha = 20,23^\circ$$

$$\therefore \sin \alpha = 0,34$$

Para el factor de capacidad y demanda de los nodos.

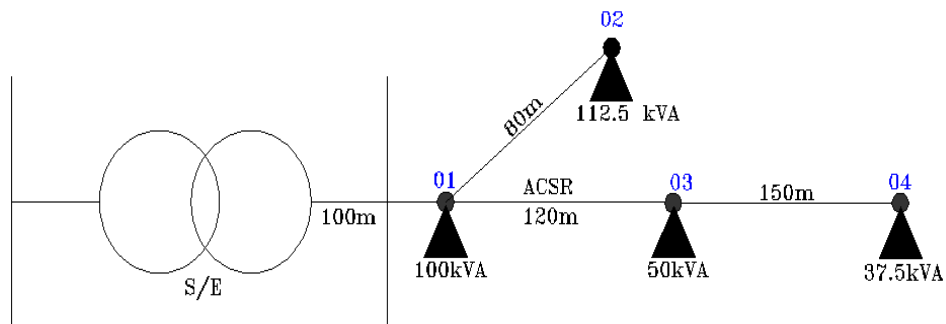


Figura 19. Diagrama de Nodos

Fuente: El autor

CI= Sumatoria de la capacidad de todos los transformadores del circuito.

CI_n= Carga instalada en el nodo.

CI=300 kVA

Factor de Capacidad

$$Fcap = \frac{S_{m\acute{a}x}}{CI_{total}}$$

$$Fcap = \frac{271kVA}{300 kVA}$$

$$Fcap = 0,903$$

Cálculo Nodo 1

- Demanda del Nodo

$$S_n = Fcap \times CI_n$$

$$S_n = 0,903 \times 100kVA$$

$$S_n = 90,3kVA$$

- Potencia Activa del Nodo

$$P_n = S_n \times F_{cap}$$

$$P_n = 90,3 \times 0,903$$

$$P_n = 81,54kW$$

- Potencia Reactiva del Nodo

$$Q_n = S_n \times \sin \alpha$$

$$Q_n = 90,3 \times 0,34$$

$$Q_n = 30,702kvar$$

Cálculo Nodo 2

- Demanda del Nodo

$$S_n = F_{cap} \times C_{In}$$

$$S_n = 0,903 \times 112,5kVA$$

$$S_n = 101,58kVA$$

- Potencia Activa del Nodo

$$P_n = S_n \times F_{cap}$$

$$P_n = 101,58 \times 0,903$$

$$P_n = 91,72kW$$

- Potencia Reactiva del Nodo

$$Q_n = S_n \times \sin \alpha$$

$$Q_n = 101,58 \times 0,34$$

$$Q_n = 34,53kvar$$

Cálculo Nodo 3

- Demanda del Nodo

$$S_n = F_{cap} \times CIn$$

$$S_n = 0,903 \times 50kVA$$

$$S_n = 45,15kVA$$

- Potencia Activa del Nodo

$$P_n = S_n \times F_{cap}$$

$$P_n = 45,15 \times 0,903$$

$$P_n = 40,77kW$$

- Potencia Reactiva del Nodo

$$Q_n = S_n \times \sin \alpha$$

$$Q_n = 45,15 \times 0,34$$

$$Q_n = 15,35kvar$$

Cálculo Nodo 4

- Demanda del Nodo

$$S_n = F_{cap} \times CIn$$

$$S_n = 0,903 \times 37,5kVA$$

$$S_n = 33,86kVA$$

- Potencia Activa del Nodo

$$P_n = S_n \times F_{cap}$$

$$P_n = 33,86 \times 0,903$$

$$P_n = 30,57kW$$

- Potencia Reactiva del Nodo

$$Q_n = S_n \times \sin \alpha$$

$$Q_n = 33,86 \times 0,34$$

$$Q_n = 11,51 \text{ kvar}$$

Tabla 7. Cuadro de potencias de los nodos

Nodo	1	2	3	4
S_n	90,3	101,58	45,15	33,86
P_n	81,54	91,72	40,77	30,57
Q_n	30,702	34,53	15,35	11,51

Fuente: El Autor

- Demanda de los Nodos

$$DemS = \sum_1^4 S = 90,3 + 101,58 + 45,15 + 33,86 = 270,89 \text{ kVA}$$

$$DemP = \sum_1^4 P = 81,54 + 91,72 + 40,77 + 30,57 = 244,6 \text{ kW}$$

$$DemQ = \sum_1^4 Q = 30,702 + 34,53 + 15,35 + 11,51 = 92,09 \text{ kvar}$$

Se determina las pérdidas.

- Matriz de Topológica

$$\begin{array}{c}
 \\
 1 \\
 2 \\
 3 \\
 4
 \end{array}
 \begin{bmatrix}
 & 1 & 2 & 3 & 4 \\
 1 & 1 & 1 & 1 & 1 \\
 2 & 0 & 1 & 0 & 0 \\
 3 & 0 & 0 & 1 & 1 \\
 4 & 0 & 0 & 0 & 1
 \end{bmatrix}$$

- Potencia Nodo

$$\begin{array}{cc}
 \text{P (kW)} & \text{Q (Kvar)} \\
 \left[\begin{array}{c} 81,54 \\ 40,77 \\ 30,57 \\ 91,72 \end{array} \right] & \left[\begin{array}{c} 30,702 \\ 15,35 \\ 11,51 \\ 34,53 \end{array} \right]
 \end{array}$$

Luego llevamos a tres Matrices

Potencia de Recibo (Activa)

Potencia de recibo (Reactiva)

$$\begin{array}{ccc}
 \text{P (kW)} & \text{Q (kVAR)} & \text{LONG (m)} \\
 \left[\begin{array}{c} 326,16 \\ 40,77 \\ 61,14 \\ 91,72 \end{array} \right] & \left[\begin{array}{c} 122,808 \\ 15,35 \\ 23,02 \\ 34,53 \end{array} \right] & \left[\begin{array}{c} 100 \\ 80 \\ 120 \\ 150 \end{array} \right]
 \end{array}$$

Se calcula la pérdida de potencia activa en cada tramo.

Tabla 8. Datos Técnicos del conductor 2 ACSR

Conductor 2 ACSR	
Resistencia	$2,41 \Omega/Km$
Reactancia	$4,76 \times 10^{-1} \Omega/Km$
UL	(13,8 kV)

Fuente: El Autor

Tramo 1

$$\Delta_{P1} = \frac{R \times 10^{-3} \times L}{U_L^2} \times P_1^2$$

$$\Delta_{P1} = \frac{2,41 \times 10^{-3} \Omega/m \times 100m}{(13,8)^2} \times (81,54)^2$$

$$\Delta_{P1} = 8,41 kW$$

Tramo 2

$$\Delta_{P2} = \frac{R \times 10^{-3} \times L}{U_L^2} \times P_2^2$$

$$\Delta_{P2} = \frac{2,41 \times 10^{-3} \times 80m}{(13,8)^2} \times (91,72)^2$$

$$\Delta_{P2} = 8,51 \text{ kW}$$

Tramo 3

$$\Delta_{P3} = \frac{R \times 10^{-3} \times L}{U_L^2} \times P_3^2$$

$$\Delta_{P3} = \frac{2,41 \times 10^{-3} \times 120m}{(13,8)^2} \times (40,77)^2$$

$$\Delta_{P3} = 2,52 \text{ kW}$$

Tramo 4

$$\Delta_{P4} = \frac{R \times 10^{-3} \times L}{U_L^2} \times P_4^2$$

$$\Delta_{P4} = \frac{2,41 \times 10^{-3} \times 150m}{(13,8)^2} \times (30,57)^2$$

$$\Delta_{P4} = 1,77 \text{ kW}$$

Pérdidas Totales de Potencia Activa.

$$\sum_1^4 \Delta P = \Delta_{P1} + \Delta_{P2} + \Delta_{P3} + \Delta_{P4}$$

$$\sum_1^4 \Delta P = 8,41 + 8,51 + 2,52 + 1,77$$

$$\sum_1^4 \Delta P = 21,21 \text{ kW}$$

- Perdidas de energía al año

$$\Delta w = \Delta P * T_e$$

$$\Delta w = 21.21 \text{ kW} * 2259,5 \text{ h}$$

$$\Delta w = 47923,9 \text{ kW/h}$$

Se calcula la pérdida de potencia reactiva en cada tramo.

Tramo 1

$$\Delta_{Q1} = \frac{R \times 10^{-4} \times L}{U_L^2} \times Q_1^2$$

$$\Delta_{Q1} = \frac{4,76 \times 10^{-4} \Omega/m \times 100m}{(13,8)^2} \times (30,702^2)$$

$$\Delta_{Q1} = 0,235 \text{ kvar}$$

Tramo 2

$$\Delta_{Q2} = \frac{R \times 10^{-4} \times L}{U_L^2} \times Q_2^2$$

$$\Delta_{Q2} = \frac{4,76 \times 10^{-4} \times 80m}{(13,8)^2} \times (34,53)^2$$

$$\Delta_{Q2} = 0,0069 \text{ kvar}$$

Tramo 3

$$\Delta_{Q3} = \frac{R \times 10^{-4} \times L}{U_L^2} \times Q_3^2$$

$$\Delta_{Q3} = \frac{4,76 \times 10^{-4} \times 120m}{(13,8)^2} \times (15,35)^2$$

$$\Delta_{Q3} = 0,0706 \text{ kvar}$$

Tramo 4

$$\Delta_{Q4} = \frac{R \times 10^{-4} \times L}{U_L^2} \times Q_4^2$$

$$\Delta_{Q4} = \frac{4,76 \times 10^{-4} \times 150m}{(13,8)^2} \times (11,51)^2$$

$$\Delta_{Q4} = 0,049 \text{ kvar}$$

Pérdidas Totales de Potencia reactiva

$$\sum_1^4 \Delta Q = \Delta_{Q1} + \Delta_{Q2} + \Delta_{Q3} + \Delta_{Q4}$$

$$\sum_1^4 \Delta Q = 0,235 + 0,0069 + 0,0706 + 0,049$$

$$\sum_1^4 \Delta Q = 0,361 \text{ Kvar}$$

Pérdidas Totales de Potencia Aparente.

$$\Delta S = \sqrt{\sum_1^4 \Delta P^2 + \sum_1^4 \Delta Q^2}$$

$$\Delta S = \sqrt{\sum_1^4 21,21^2 + \sum_1^4 0,361^2}$$

$$\Delta S = 21,22 \text{ kVA}$$

Se calcula la caída de tensión en cada tramo.

Caída U

Datos técnicos

$$r = 2.41\Omega/km$$

$$X = 0.476\Omega/km$$

$$UL = 13,8kv$$

$$l = 0,15m$$

Ecuación ΔU del tramo

Tramo 4

$$\Delta u_4(r) = \frac{(\text{Pr}_4 \cdot r + x \cdot Q)}{UL^2} \cdot l$$

$$\Delta u_4(r) = \frac{(91,72 \cdot 2,41 + 0,476 \cdot 34,53)}{13,8^2} \cdot 0,15$$

$$\Delta u_4(r) = 0,18 \text{ V}$$

Tramo 3

$$\Delta u_3(r) = \frac{(\text{Pr}_3 \cdot r + x \cdot Q)}{UL^2} \cdot l$$

$$\Delta u_3(r) = \frac{(61,14 \cdot 2,41 + 0,476 \cdot 23,02)}{13,8^2} \cdot 0,12$$

$$\Delta u_3(r) = 0,099 \text{ V}$$

Tramo 2

$$\Delta u_2(r) = \frac{(\text{Pr}2. r + x * Q)}{UL^2} . l$$

$$\Delta u_2(r) = \frac{(40,77 * 2,41 + 0,476 * 15,35)}{13,8^2} * 0,08$$

$$\Delta u_2(r) = 0,039 \text{ V}$$

Tramo 1

$$\Delta u_1(r) = \frac{(\text{Pr}1. r + x * Q)}{UL^2} . l$$

$$\Delta u_1(r) = \frac{(326,16 * 2,41 + 0,476 * 122,808)}{13,8^2} * 0,1$$

$$\Delta u_1(r) = 0,44 \text{ V}$$

Pérdidas Totales de caída de tensión.

$$\sum_1^4 \Delta u = \Delta_{u1} + \Delta_{u2} + \Delta_{u3} + \Delta_{u4}$$

$$\sum_1^4 \Delta u = 0,44 + 0,039 + 0,099 + 0,18$$

$$\sum_1^4 \Delta u = 0,758 \text{ V}$$

f. RESULTADOS.

Una vez procesada la base de datos se seleccionó la curva de mayor consumo de los nueve meses, en anexos se presenta la base de datos procesada y en la tabla 9, se presenta la curva de consumo seleccionada.

Esta será utilizada para cargar el sistema para las simulaciones a efectuarse en el Edis.

Tabla 9. Curva de demanda máxima

HORA	P	Q	S
0	726	343	803
1	658	368	753
2	625	358	720
3	593	359	694
4	602	356	699
5	612	318	690
6	740	327	809
7	902	329	960
8	2415	686	2510
9	2613	723	2711
10	1354	438	1423
11	1392	491	1476
12	1391	486	1473
13	1237	449	1316
14	1256	450	1334
15	1344	455	1419
16	1424	488	1506
17	1357	498	1446
18	1494	417	1551
19	1490	428	1550
20	1259	377	1314
21	1172	392	1236
22	1028	382	1097
23	879	361	950

Fuente: El autor

En la figura 20, se presente la interfaz de usuario que presenta el Edis, en donde se describe los principales componentes del sistema.

La carga de demanda máxima se ingresa en el programa Edis, el cual nos presenta valores del flujo de potencia simulado.

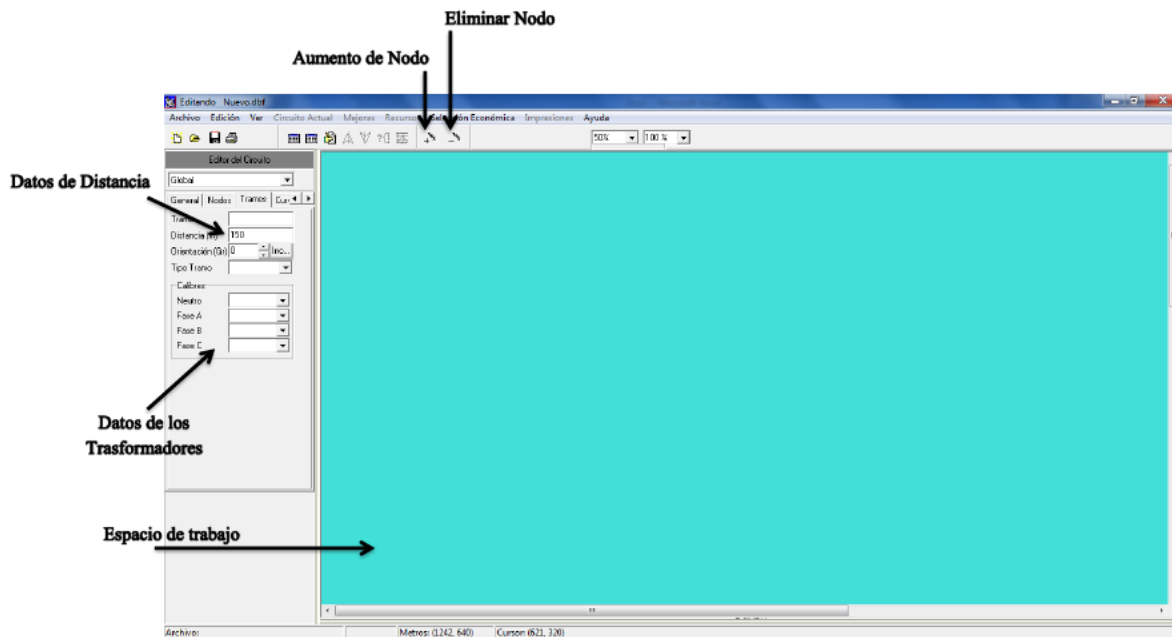


Figura 20. Interfaz de usuario

Fuente: El autor

f.1 MÉTODO DE CÁLCULO UTILIZADO

f.1.1 BASE DE DATOS DEL CIRCUITO JUAN DE SALINAS

Con la base de datos procesada del circuito Juan de Salinas, se seleccionaron los nodos de interés a cargar al sistema de cálculo, considerando como nodos de interés los nodos donde se encuentran instalados transformadores, a lo largo y ancho del circuito, y nodos de bifurcación.

La información procesada y seleccionada se la cargo al sistema de cálculo en la figura 21 se presenta la interfaz de usuario que conforman la base de datos del sistema Edis luego de haber subido la base de datos, los resultados obtenidos de la simulación de los flujos de potencia se los presenta en el anexo 22.

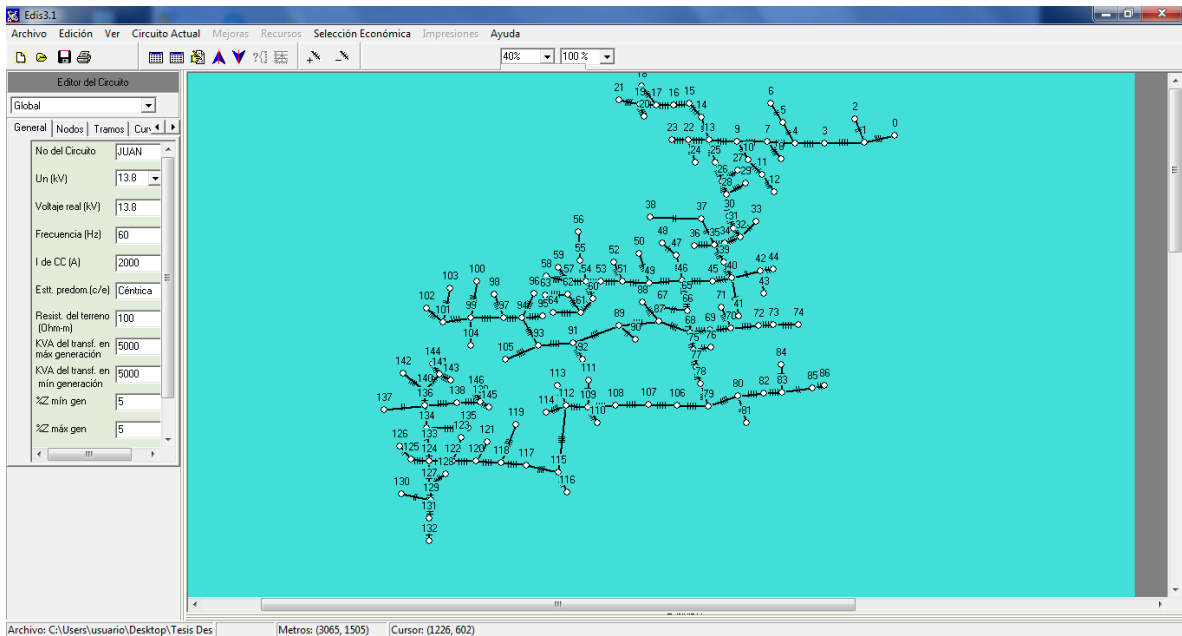


Figura 21. Circuito Juan de Salinas en Edis.

Fuente: El autor

Para la evaluación de los parámetros de operación del alimentador primario Juan de Salinas Nro. 0213 fue necesario simular un flujo de potencia en mínima y en máxima demanda, en las figuras 22, 23, 24 y 25 se presentan los resultados luego de la simulación y en la tabla 10 se presentan los datos de interés obtenidos graficas mínima y máxima demanda, además el resumen de tramos y nodos.

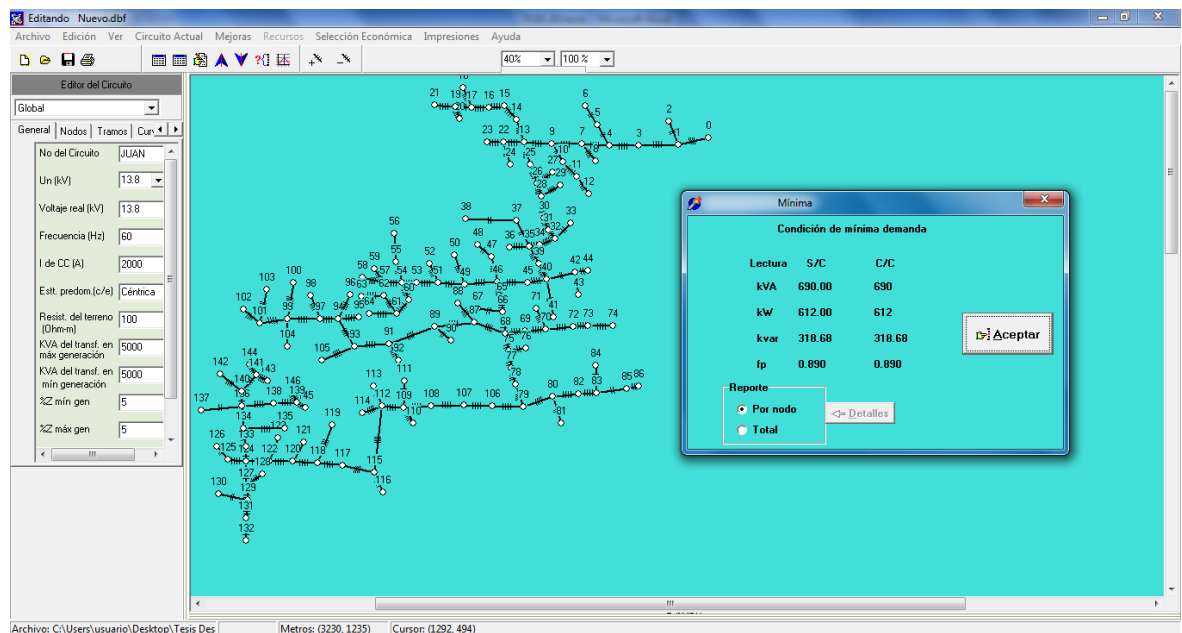


Figura 22. Datos en demanda Mínima.

Fuente: El autor

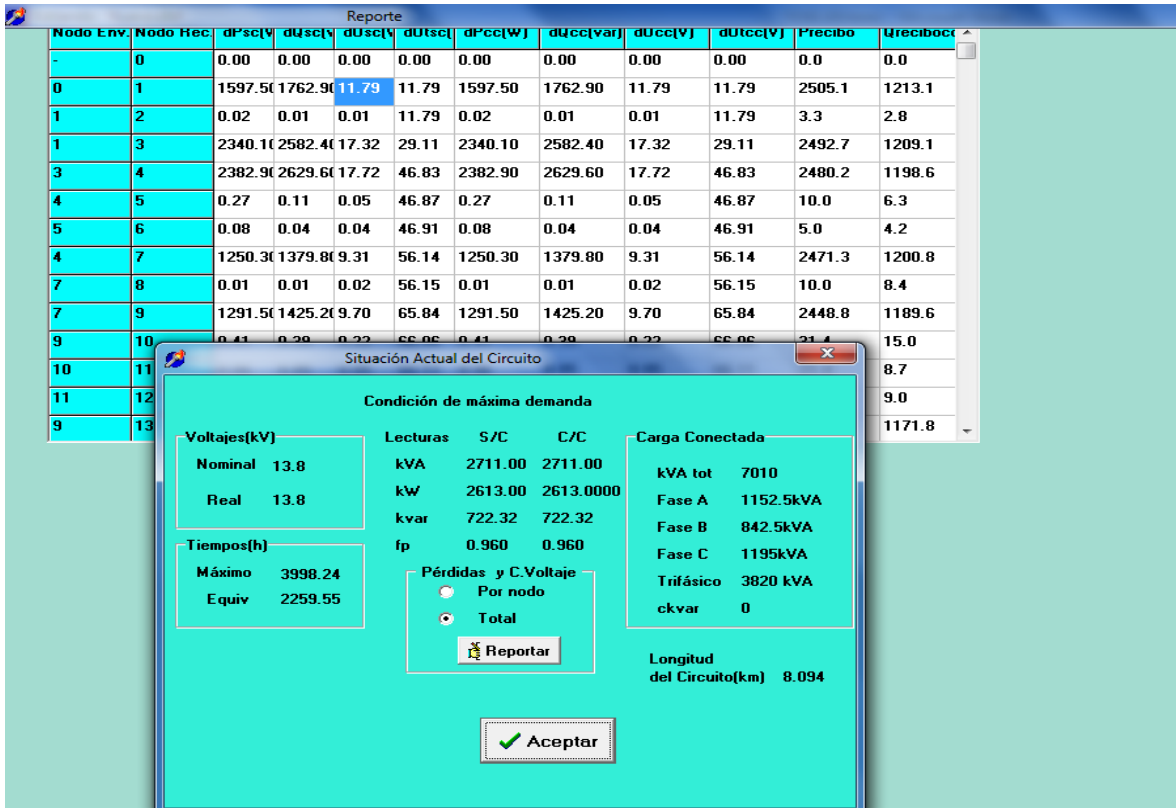


Figura 23. Datos en demanda Máxima.

Fuente: El autor

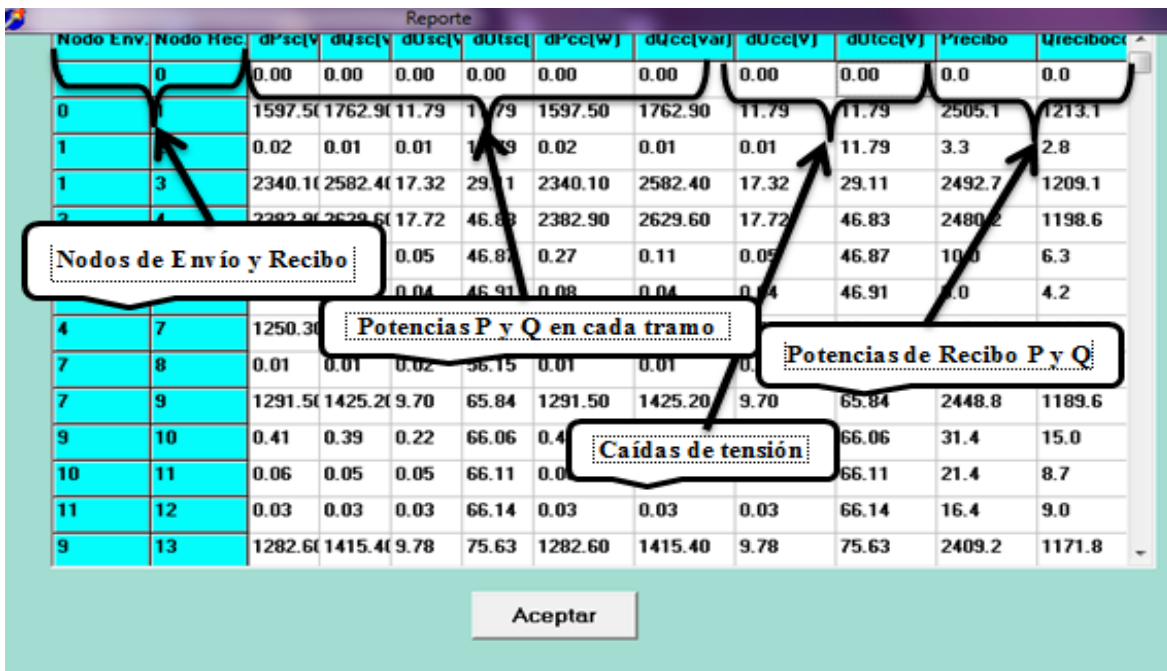


Figura 24. Datos de Potencia y Voltaje.

Fuente: El autor

The screenshot shows the EDIS software interface with a table titled "Tramos y Nodos". The table has columns for Node E, Node B, X (km), Y (km), KVAFA, KVAFB, KVAF C, KVATot, Calib.A, Calib.B, Calib.C, Calib.N, Tipo Tramo, VADem, VVdem, KVAFmax, HrsCap, Long, DPAC, DPB, and DPAcc. The table contains 32 rows of data. Hand-drawn callouts point to various parts of the table:

- Nodo de envío**: Points to the "Nodo E" column.
- Nodo de Recibo**: Points to the "Nodo B" column.
- Demanda en cada nodo (KVA y KW)**: Points to the "KVAFA", "KVAFB", and "KVAF C" columns.
- Capacidad Instalada en A, B, C**: Points to the "Calib.A", "Calib.B", and "Calib.C" columns.
- Calibre del Conductor**: Points to the "Calib.N" column.
- Tipo de Tramo**: Points to the "Tipo Tramo" column.
- Longitud por Tramo**: Points to the "Long" column.

Figura 25. Tramos y Nodos en EDIS.

Fuente: El autor

Tabla 10. Parámetros generales de resultados del circuito

Denominación	kVA	kW	kVAR	fp	Voltaje (kV)		Tiempo (h)		Longitud del Circuito
					Nominal	Real	Máximo	Equiv.	
Máxima Demanda	2711	2613	722,32	0,96	13,8	13,689	3998,24	2259,5	8,094 Km
Mínima Demanda	690	612	318,68	0,89	Frecuencia				60 Hz
CARGA CONECTADA									
kVA Tot	FASE A		FASE B		FASE C		TRIFÁSICO		
7010,00	1152,5 kVA		842,5 kVA		1195 kVA		3820 kVA		
PÉRDIDAS DE POTENCIA, ENERGÍA Y CAÍDA DE TENSIÓN									
Pérdidas de potencia activa total					26,13 kW			0.5%	
Pérdidas de potencia reactiva total					0,722 kVAR				
Pérdidas de Energía total					59040,7 KW/h				
Caída de tensión total					111V			0.8 %	

Fuente: El autor

Una vez realizado el flujo de potencia en mínima y máxima demanda usando la curva de demanda máxima seleccionada en el intervalo de tiempo en análisis, se determinó con la ayuda del software Edis los parámetros de operación del circuito en estudio, teniendo unas pérdidas de potencia activa total de 26,13 kW; que equivalen a un 0.5% y expresado en pérdidas de energía son las siguientes: 59040,7 KW/h, así mismo se obtuvo la caída de tensión total que es de 111V que da un porcentaje 0.8 % y está dentro de los porcentajes establecidos.

g.- DISCUSIÓN

El análisis efectuado en esta investigación es el resultado del procesamiento de la base de datos proporcionada por la EERSSA, esta base de datos fue el resultado del levantamiento SIG de la redes eléctricas de la ciudad de Loja y del circuito 0213 en particular efectuado por la EERSSA en estos últimos meses, los datos cargados al sistema de cálculo tienen un margen de precisión aceptable, al momento de ubicar los componentes que conforman el circuito 0213, por medio de las coordenadas este y norte que componen la base de datos.

Con las facilidades que presenta el software utilizado para esta investigación, fue posible determinar los parámetros de operación y funcionamiento que posee el circuito analizado, llegando a determinarse las pérdidas de potencia que presenta el circuito por la demanda suministrada a cada uno de los usuarios que conforman el circuito.

La base de datos del circuito analizado en esta investigación, puede ser utilizado para futuras investigaciones, donde se puede evaluar el balanceo de las cargas en el circuito, optimización de reactivo, redistribución de transformadores de acuerdo a su factor de capacidad y análisis de la variación de la demanda eléctrica por la entrada de nuevos usuarios residenciales.

h.- CONCLUSIONES

- Al procesar la base de datos se determinó que el circuito 0213 es mixto, desde este se sirven a consumidores residenciales y comerciales, posee 96 transformadores monofásicos y 45 trifásicos siendo el transformador de 300 kVA la capacidad más elevada a la que se distribuye energía desde el circuito Juan de Salinas.
- Con la simulación de los flujos de potencia se determinó las pérdidas de potencia activa actuales en el circuito Juan de Salinas; estas son menores que al 3,5 % establecido por la E.E.R.S.SA y del 3% por la OLADE, estas pérdidas están dentro de los valores normados para la explotación de circuitos de distribución primaria.
- Con la base de datos procesada, se puede evaluar en futuras investigaciones la disminución de las pérdidas de potencia actuales que posee el circuito, y realizar un análisis técnico económico que implicaría esta mejora.
- Se evaluó las caídas de tensión nodo a nodo del circuito, llegando a determinar que la máxima caída de tensión es de 111V que equivale al 0.8%, esta caída de tensión se encuentra dentro de los límites permisibles establecidos que es del 3.5%.

i.- RECOMENDACIONES

- Evaluar y aplicar mejoras técnico económicas al circuito 0213 para tratar de mejorar las pérdidas técnicas que presenta en la actualidad.
- Evaluar el comportamiento del circuito por la entrada de nuevas cargas de uso residencial, en particular las cocinas de inducción.
- Desarrollar una proyección a 15 años, para determinar el comportamiento que tendrá el circuito en este intervalo de tiempo, haciendo uso de estimaciones en el crecimiento demográfico y pronósticos de la carga.
- Evaluar los alimentadores restantes que conforman las subestaciones de la ciudad de Loja.

j.- BIBLIOGRAFÍA

- **Álvarez, José Antonio E. García. 2012.** <http://www.asifunciona.com/>. [En línea] re, 2012. [Citado el: 12 de Noviembre de 2013.] http://www.asifunciona.com/electrotecnia/ke_factor_potencia/ke_factor_potencia_3.htm.
- **Arellano, Jorge. 2007.** Scribd. [En línea] 2007. [Citado el: 21 de Septiembre de 2013.] <http://es.scribd.com/doc/52155220/CLASIFICACION-DE-TRANSFORMADORES>.
- **Cañar, Santiago. 2007.** Calculo detallado de pérdidas en sistemas eléctricos de distribución aplicado al alimentador "Universidad" perteneciente a la Empresa Eléctrica de Ambato Regional Centro Norte S.A. Quito : Escuela Politécnica Nacional, 2007.
- **Cantabria, Universidad de. 2012.** <http://www.unican.es/index.html>. [En línea] 2012. [Citado el: 05 de 04 de 2014.] http://ai2.diee.unican.es/asignatura/ICCP/3369_SE_pdf/SE-513-TRANSPORTE%20DE%20ENERGIA%20ELECTRICA_20121203.pdf.
- **Cárdenas, Rubén. 2010.** <http://edublogcircuitosac.blogspot.com/>. [En línea] 6 de Noviembre de 2010. [Citado el: 2 de Octubre de 2013.] http://edublogcircuitosac.blogspot.com/2010_10_31_archive.html.
- **—. 2010.** <http://edublogcircuitosac.blogspot.com/>. [En línea] 6 de Noviembre de 2010. [Citado el: 2 de Octubre de 2013.] http://edublogcircuitosac.blogspot.com/2010_10_31_archive.html.
- **Carrión, González Jorge. 2011.** *Estudio técnico económico del régimen de operación de las redes de distribución económica*. La Habana : Instituto Superior Politécnico José Antonio Echeverría, 2011.
- **Carvajal, Raúl y Perez, N. 2007.** *Balanceo de Circuitos de Distribución Primaria*. La Habana : s.n., 2007.

- **Castaño, Ramirez Samuel. 2004.** *Redes de distribución de energía.* Manizales : Universidad Nacional de Colombia, 2004. 958-9322-86-7.
- **Castillo, Henry Calle - Patricio. 2009.** *EVALUACION Y PREVENCION DE RIESGOS ELECTRICOS EN UNA SUBESTACIÓN.* Guayaquil : s.n., 2009.
- **Castillo, Henry y Calle, Patricio. 2009.** *Evaluación y prevención de riesgos eléctricos en una subestación.* Guayaquil : s.n., 2009.
- **CatálogoPrysmian. 2008.** Prysmian. [En línea] 2008. [Citado el: 12 de Septiembre de 2013.]
- http://ar.prysmiangroup.com/es_AR/business_markets/markets/pd/downloads/datasheets/4_3_Catalogo_Lineas_Areas.pdf.
- **CONELEC. CALIDAD DEL SERVICIO ELECTRICO DE DISTRIBUCION.**
- **ecured. 2013.** ecured.cu. *ecured.cu.* [En línea] 2013. [Citado el: 28 de Noviembre de 2013.] <http://www.ecured.cu/index.php/ArcGIS>.
- **EERSSA. 2013.** www.eerssa.com. [En línea] 2013. [Citado el: 27 de Octubre de 2013.] <http://www.eerssa.com/sig/rclientes.htm>.
- **EERSSA, EMPRESA ELÉCTRICA REGIONAL DEL SUR. 2012.** *NORMAS TECNICAS PARA EL DISEÑO DE REDES ELECTRICAS URBANAS Y RURALES.* Loja : s.n., 2012.
- **Endesa. 2013.** EndesaEduca. [En línea] julio de 2013. http://www.endesaeduca.com/Endesa_educarecursos-interactivos/el-transporte-de-electricidad/xvi.-las-subestaciones-electricas.
- **EXCEL.NET. 2012.** queesexcel.net. *queesexcel.net.* [En línea] 2012. [Citado el: 12 de Octubre de 2013.] <http://www.queesexcel.net/extensiones-excel.html>.
- **Guevara, Vicuña Cristián. 2011.** <http://www.emb.cl/>. <http://www.emb.cl/>. [En línea] Grupo Editorial EMB, 2011. [Citado el: 20 de Noviembre de 2013.] <http://www.emb.cl/electroindustria/articulo.mvc?xid=1136&edi=60>.

- **Hernández, Alamos Juan Alercio. 2013.** <http://www.elprisma.com/>. <http://www.elprisma.com/>. [En línea] 2013. [Citado el: 5 de Noviembre de 2013.] http://www.elprisma.com/apuntes/ingenieria_electrica_y_electronica/sistemadepues taatierra/.
- **J.Grainger, John y Willam D. Stevenson Jr. 2012.** <http://manautomata.files.wordpress.com>. <http://manautomata.files.wordpress.com/2012/10/capitulo5.pdf>. [En línea] EBOOK, 05 de 10 de 2012. [Citado el: 06 de 04 de 2014.]
- **Jimenez, Meza Obed Renato, Cantu, Gutierrez Vicente y Conde, Enriquez Arturo. 2006.** <http://www.fime.uanl.mx/>. <http://www.fime.uanl.mx/>. [En línea] 2006. [Citado el: 13 de Noviembre de 2013.] <http://www.fime.uanl.mx/~omeza/pro/LTD/LTD.pdf>.
- **langleruben. 2012.** langleruben.wordpress.com. langleruben.wordpress.com. [En línea] 2012. [Citado el: 13 de Septiembre de 2013.] <http://langleruben.wordpress.com/%C2%BFque-es-un-sig/>.
- **Langleruben. 2012.** langleruben.wordpress.com. langleruben.wordpress.com. [En línea] 2012. [Citado el: 13 de Septiembre de 2013.] <http://langleruben.wordpress.com/%C2%BFque-es-un-sig/>.
- **Llamo, H.S. 2007.** *Sistemas Eléctricos II*. 2007.
- **Mar, Guillermo. 2011.** *DESCRIPCION Y FUNCION DEL*. 2011.
- **Miranda, V. 2005.** *A general methodology for distribution planning under incertainly, including genetic algorithm and fuzzy models in a multicriteria enviroment*. Porto : INESC, 2005.
- **OLADE. 1993.** *Manual Latinoamericano y del Caribe para el Control de Pérdidas Eléctricas*. 1993.

- **Peña, Gina y Ramirez, J. 2012.** <http://dspace.ucuenca.edu.ec/>. *http://dspace.ucuenca.edu.ec/*. [En línea] 2012. [Citado el: 19 de Noviembre de 2013.] <http://dspace.ucuenca.edu.ec:8080/bitstream/123456789/693/1/te325.pdf>.
- **Pérez, Díaz Alonso Javier. 2013.** AjpdSoft. *AjpdSoft*. [En línea] 22 de Enero de 2013. [Citado el: 12 de Octubre de 2013.] <http://www.ajpdsoft.com/modules.php?name=News&file=article&sid=513>.
- **Prysmian. 2008.** Prysmian. [En línea] 2008. http://www.prysmian.com.ar/export/sites/prysmian-esAR/attach/pdf/Catalogo_Lineas_Aereas.pdf.
- **Santamaría, Germán. 2009.** *Electrotecnia*. s.l. : EDITEX S.A, 2009. ISBN 9788497715362.
- **Sjogren, Christian y Quevedo, David. 2011.** ESTUDIO , DISEÑO Y APLICACIÓN DEL P.B.D. EN UNA SUBESTACIÓN ELÉCTRICA. *TESIS*. Madrid : Univerdad Pontifica Comillas, 8 de Septiembre de 2011.
- **Villa, Hurtado Santiago. 2010.** *Diseño de Malla de Puesta a Tierra*. Guayaquil : s.n., 2010.
- **Villa, Hurtado Santiago. 2010.** *Diseño de Malla de Puesta a Tierra*. Guayaquil : s.n., 2010.
- **Villacís, Freire Byron Vladimir. 2012.** ANÁLISIS TÉCNICO DE LA OPERACIÓN DEL ALIMENTADOR. *TESIS*. Quito : Escuela Politécnica Nacional, 2012.
- **—. 2012.** ANÁLISIS TÉCNICO DE LA OPERACIÓN DEL ALIMENTADOR. Quito : Escuela Politécnica Nacional, 2012.

k. ANEXOS

k.1 ANEXO 1. BASE DE DATOS PROPORCIONADA POR EL SISTEMA SCADA DE LA EERSSA.

Tabla 11. Muestra de los datos proporcionados por la EERSSA del sistema SCADA sin tabular.

timestamp	SCAYESCOGE NEVCA_VALO	SCAYESC1CE NTIT_VALO	SCAYESC1CE NTPP_VALO	SCAYESC1CE NTPQ_VALO	SCAYESC1JS ALFP_VALO	SCAYESC1JSA LIR_VALO	SCAYESC1JSA LIS_VALO	SCAYESC1JSA LIT_VALO	SCAYESC1JSAL PP_VALO	SCAYESC1JSAL PQ_VALO
23/10/2011 0:15	122,22663	31,4951018	616,483657	269,48088	0,88592181	35,3038118	31,7880795	34,4248787	697,697073	372,84341
23/10/2011 0:30	122,714927	31,4951018	612,264779	269,48088	0,87347026	35,3038118	32,0810572	35,0108341	695,587634	386,554765
23/10/2011 0:45	122,714927	29,1512803	596,443983	275,809198	0,86614582	33,2529679	30,0302133	32,6670125	669,219642	386,554765
23/10/2011 1:00	122,714927	29,4442579	596,443983	280,028077	0,86309397	32,9599902	30,0302133	32,6670125	670,274361	390,773644
23/10/2011 1:15	123,142186	30,0302133	595,389264	274,754479	0,85937071	34,4248787	31,2021241	32,6670125	644,961089	390,773644
23/10/2011 1:30	123,142186	30,0302133	578,513749	265,262001	0,85729545	34,4248787	28,8583026	32,0810572	657,617725	391,828364
23/10/2011 1:45	123,142186	30,0302133	569,021271	276,863918	0,85314493	32,0810572	30,0302133	32,0810572	634,413892	388,664205
23/10/2011 2:00	121,250038	27,6863918	539,48912	225,182653	0,8774987	32,0810572	27,6863918	30,0302133	620,702536	333,818781
23/10/2011 2:15	121,250038	27,6863918	544,762719	241,003449	0,87011322	32,9599902	27,6863918	30,0302133	596,443983	343,311258
23/10/2011 2:30	121,250038	27,6863918	522,613605	225,182653	0,85924863	30,6161687	27,6863918	30,0302133	588,006226	351,749016
23/10/2011 2:45	121,250038	27,6863918	529,996643	235,72985	0,86565752	28,5653249	25,635548	27,6863918	560,583514	325,381024
23/10/2011 3:00	121,677297	27,6863918	515,230567	234,67513	0,85949278	30,9091464	25,635548	29,7372356	588,006226	354,913175
23/10/2011 3:15	121,677297	25,635548	508,902249	220,963775	0,85106967	30,9091464	25,635548	27,3934141	554,255196	334,873501
23/10/2011 3:30	121,677297	25,9285257	502,573931	227,292093	0,85021516	30,9091464	25,635548	28,2723472	577,459029	345,420698
23/10/2011 3:45	121,677297	26,2215033	513,121128	234,67513	0,84862819	28,5653249	25,635548	28,2723472	555,309915	344,365978
23/10/2011 4:00	121,677297	26,2215033	505,73809	230,456252	0,84313486	30,323191	23,2917264	28,2723472	542,653279	347,530137
23/10/2011 4:15	121,677297	26,2215033	505,73809	229,401532	0,84710227	29,4442579	24,4636372	28,2723472	545,817438	348,584857
23/10/2011 4:30	121,677297	26,2215033	489,917295	213,580737	0,85198523	29,4442579	24,4636372	28,2723472	539,48912	336,98294
23/10/2011 4:45	121,677297	26,2215033	508,902249	227,292093	0,85399945	29,4442579	24,4636372	27,9793695	548,981597	338,03766
23/10/2011 5:00	121,677297	26,2215033	500,464492	223,073214	0,84636982	30,9091464	24,4636372	27,9793695	541,59856	334,873501
23/10/2011 5:15	121,677297	25,635548	507,84753	226,237373	0,84777367	28,2723472	26,2215033	27,9793695	542,653279	342,256539

23/10/2011 5:30	121,677297	25,635548	521,558885	218,854335	0,85052034	31,2021241	26,2215033	27,9793695	571,130711	349,639576
23/10/2011 5:45	122,470779	25,635548	521,558885	226,237373	0,85576952	29,1512803	25,0495926	28,2723472	555,309915	335,92822
23/10/2011 6:00	123,447371	25,635548	521,558885	231,510971	0,8276925	25,0495926	22,7057711	26,2215033	488,862575	334,873501
23/10/2011 6:15	124,362926	23,5847041	477,260659	231,510971	0,82329783	27,1004364	24,4636372	26,2215033	528,941923	358,077334
23/10/2011 6:30	124,362926	26,2215033	497,300333	241,003449	0,82714316	27,3934141	23,5847041	26,514481	512,066408	342,256539
23/10/2011 6:45	124,362926	25,9285257	487,807855	242,058168	0,8398999	27,9793695	25,3425703	27,1004364	528,941923	341,201819
23/10/2011 7:00	124,362926	26,514481	507,84753	243,112888	0,83861812	29,1512803	25,9285257	27,1004364	551,091037	360,186773
23/10/2011 7:15	124,362926	27,1004364	536,324961	251,550645	0,8570513	29,4442579	26,8074587	28,8583026	567,966552	344,365978
23/10/2011 7:30	124,240852	27,9793695	551,091037	245,222327	0,85351115	29,4442579	24,4636372	28,8583026	596,443983	360,186773
23/10/2011 7:45	123,87463	28,2723472	579,568468	251,550645	0,85637989	30,323191	27,3934141	30,323191	591,170385	362,296213
23/10/2011 8:00	123,87463	31,2021241	605,93646	256,824244	0,86675619	30,323191	26,2215033	30,323191	610,155339	345,420698
23/10/2011 8:15	123,325297	29,7372356	601,717582	243,112888	0,86748863	31,7880795	26,8074587	30,323191	608,0459	348,584857
23/10/2011 8:30	123,325297	30,0302133	630,195013	250,495926	0,87823115	32,6670125	29,1512803	33,2529679	647,070528	348,584857
23/10/2011 8:45	122,898038	31,4951018	673,43852	280,028077	0,88232063	32,9599902	29,4442579	34,131901	660,781884	349,639576
23/10/2011 9:00	122,898038	33,2529679	651,289407	261,043123	0,88311411	34,4248787	29,4442579	36,7687002	697,697073	368,624531
23/10/2011 9:15	122,470779	32,6670125	681,876278	263,152562	0,88250374	33,8389233	31,2021241	34,7178564	693,478195	369,67925
23/10/2011 9:30	123,020112	35,0108341	723,010346	281,082797	0,88158818	35,8897671	30,323191	37,6476333	730,393384	399,211402
23/10/2011 9:45	123,020112	39,4054994	774,69161	296,903592	0,87444685	35,8897671	30,6161687	37,3546556	721,955626	393,937803
23/10/2011 10:00	122,65389	38,8195441	798,950163	286,356395	0,87853633	37,0616779	30,9091464	36,7687002	724,065065	393,937803
23/10/2011 10:15	122,65389	40,2844325	815,825678	295,848872	0,89385662	36,1827448	29,4442579	37,6476333	750,433058	373,898129
23/10/2011 10:30	122,65389	41,749321	846,412549	310,614948	0,884579	37,0616779	31,7880795	40,5774102	773,636891	392,883084
23/10/2011 10:45	122,65389	43,2142094	854,850307	304,28663	0,89373455	39,4054994	33,5459456	40,5774102	802,114322	396,047243
23/10/2011 11:00	122,531816	41,1633656	854,850307	314,833827	0,89281899	37,0616779	33,2529679	40,5774102	789,457686	392,883084
23/10/2011 11:15	122,531816	40,8703879	852,740867	328,545183	0,89538255	37,0616779	33,8389233	40,5774102	798,950163	400,266121
23/10/2011 11:30	122,531816	44,0931425	872,780541	317,997986	0,89611499	39,4054994	36,4757225	41,1633656	826,372875	405,53972
23/10/2011 11:45	122,165593	42,0422987	841,138951	331,709342	0,8951384	42,0422987	34,4248787	40,2844325	827,427595	400,266121
23/10/2011 12:00	122,165593	44,0931425	848,521989	322,216865	0,88726463	40,8703879	35,8897671	39,6984771	813,716239	406,59444
23/10/2011 12:15	122,165593	42,9212317	835,865352	340,147099	0,88378552	38,2335887	33,8389233	37,0616779	737,776421	387,609485

23/10/2011 12:30	121,677297	42,3352763	870,671102	326,435743	0,88695944	39,6984771	32,6670125	37,6476333	769,418012	401,320841
23/10/2011 12:45	122,104556	39,4054994	800,004883	325,381024	0,8857387	39,6984771	32,6670125	37,6476333	778,910489	397,101962
23/10/2011 13:00	122,043519	38,8195441	763,089694	315,888546	0,88604389	40,2844325	32,9599902	37,6476333	774,69161	394,992523
23/10/2011 13:15	121,677297	38,5265664	763,089694	303,23191	0,88384655	39,4054994	32,9599902	37,0616779	765,199133	394,992523
23/10/2011 13:30	122,165593	36,4757225	744,10474	299,013031	0,88427381	37,6476333	31,4951018	35,0108341	729,338664	379,171728
23/10/2011 13:45	121,738334	35,3038118	724,065065	300,067751	0,88372448	39,9914548	34,131901	35,5967895	753,597217	391,828364
23/10/2011 14:00	122,22663	35,5967895	741,9953	304,28663	0,8906827	37,3546556	34,4248787	37,0616779	756,761376	388,664205
23/10/2011 14:15	121,738334	52,0035401	1030,98849	521,558885	0,87908567	37,0616779	32,0810572	37,3546556	738,831141	398,156682
23/10/2011 14:30	122,409742	24,4636372	555,309915	207,252419	0,88616596	38,8195441	30,0302133	39,4054994	759,925535	384,445326
23/10/2011 14:45	121,982482	24,1706595	550,036317	201,97882	0,88885159	36,1827448	29,7372356	38,2335887	729,338664	378,117008
23/10/2011 15:00	121,982482	25,0495926	562,692953	208,307138	0,88311411	36,1827448	32,3740349	35,8897671	730,393384	386,554765
23/10/2011 15:15	121,982482	22,9987487	521,558885	199,869381	0,89294107	38,2335887	31,4951018	35,8897671	767,308573	377,062288
23/10/2011 15:30	121,982482	25,0495926	542,653279	204,08826	0,90044862	39,6984771	31,7880795	37,3546556	772,582171	366,515091
23/10/2011 15:45	122,348704	25,0495926	569,021271	191,431623	0,89165929	38,8195441	30,6161687	37,940611	750,433058	380,226447
23/10/2011 16:00	122,348704	24,7566149	528,941923	189,322184	0,89086581	36,4757225	30,9091464	38,2335887	741,9953	376,007569
23/10/2011 16:15	122,348704	22,7057711	519,449446	188,267464	0,89904477	37,0616779	30,6161687	38,5265664	756,761376	369,67925
23/10/2011 16:30	122,837001	25,0495926	541,59856	208,307138	0,89141514	40,2844325	32,0810572	37,0616779	764,144414	386,554765
23/10/2011 16:45	122,348704	25,3425703	544,762719	181,939146	0,90264595	35,8897671	33,5459456	37,0616779	763,089694	357,022614
23/10/2011 17:00	122,348704	23,2917264	546,872158	188,267464	0,89666433	37,6476333	31,2021241	36,7687002	753,597217	365,460372
23/10/2011 17:15	122,837001	23,5847041	538,4344	198,814661	0,89953307	38,5265664	31,2021241	39,1125217	751,487777	353,858455
23/10/2011 17:30	122,348704	23,5847041	542,653279	180,884426	0,91003143	40,5774102	33,5459456	39,1125217	826,372875	367,569811
23/10/2011 17:45	121,982482	25,9285257	566,911832	177,720267	0,91302225	39,6984771	33,5459456	39,6984771	805,278481	354,913175
23/10/2011 18:00	121,00589	30,0302133	620,702536	175,610828	0,92083499	41,4563433	33,8389233	40,8703879	836,920072	346,475417
23/10/2011 18:15	119,78515	27,6863918	657,617725	172,446669	0,92834254	44,0931425	37,6476333	42,3352763	898,093814	348,584857
23/10/2011 18:30	118,869594	59,9139378	1271,46458	448,783227	0,93762017	49,3667409	37,6476333	45,5580309	972,978912	348,584857
23/10/2011 18:45	119,907224	44,6790979	923,407086	259,988403	0,94067202	49,6597186	39,6984771	47,0229194	1008,83938	353,858455
23/10/2011 19:00	119,907224	44,9720756	909,69573	261,043123	0,93633839	47,3158971	38,5265664	47,6088748	978,25251	345,420698
23/10/2011 19:15	119,907224	47,3158971	932,899564	265,262001	0,93420209	51,7105625	38,5265664	48,4878079	1025,7149	358,077334

23/10/2011 19:30	119,907224	43,8001648	905,476852	248,386486	0,94494461	49,9526963	38,2335887	46,436964	998,292184	330,654622
23/10/2011 19:45	119,418928	43,8001648	901,257973	246,277047	0,9381695	49,9526963	40,2844325	49,0737632	1013,05826	359,132054
23/10/2011 20:00	119,968261	44,6790979	922,352367	258,933683	0,94616535	52,0035401	40,8703879	49,9526963	1043,64513	348,584857
23/10/2011 20:15	119,357891	44,6790979	898,093814	245,222327	0,94573809	51,4175848	40,2844325	49,0737632	1037,31681	342,256539
23/10/2011 20:30	118,869594	42,3352763	862,233345	229,401532	0,94537187	53,7614063	40,5774102	48,7807855	1036,26209	334,873501
23/10/2011 20:45	118,869594	42,3352763	864,342784	235,72985	0,94286935	52,2965178	38,5265664	50,8316294	1052,08289	344,365978
23/10/2011 21:00	119,418928	39,9914548	830,591754	233,620411	0,93639943	50,245674	39,4054994	46,7299417	993,018586	347,530137
23/10/2011 21:15	119,907224	39,9914548	807,387921	239,948729	0,93316446	49,6597186	37,6476333	47,0229194	972,978912	347,530137
23/10/2011 21:30	120,334483	37,940611	791,567125	235,72985	0,92724387	47,3158971	35,5967895	44,6790979	946,61092	354,913175
23/10/2011 21:45	120,822779	38,5265664	782,074648	253,660085	0,92413099	47,0229194	36,1827448	44,6790979	945,5562	371,78869
23/10/2011 22:00	120,944853	38,5265664	773,636891	244,167608	0,9243141	44,9720756	36,4757225	42,3352763	899,148534	371,78869
23/10/2011 22:15	120,944853	36,1827448	748,323618	259,988403	0,91564684	41,4563433	34,7178564	42,3352763	850,631428	361,241493
23/10/2011 22:30	121,372112	36,1827448	725,119785	256,824244	0,91515854	41,1633656	34,131901	39,6984771	822,153996	361,241493
23/10/2011 22:45	121,372112	34,4248787	683,985717	261,043123	0,90234077	37,6476333	31,2021241	37,6476333	765,199133	361,241493
23/10/2011 23:00	121,494186	32,0810572	630,195013	238,894009	0,89190344	38,8195441	32,0810572	36,4757225	757,816095	370,73397
23/10/2011 23:15	120,456557	32,0810572	605,93646	227,292093	0,89544359	36,7687002	30,0302133	34,4248787	706,134831	348,584857
23/10/2011 23:30	119,968261	30,0302133	599,608142	229,401532	0,89623707	34,4248787	30,0302133	34,4248787	689,259316	333,818781
23/10/2011 23:45	120,029298	30,0302133	577,459029	216,744896	0,88793603	32,0810572	27,6863918	32,0810572	644,961089	330,654622
24/10/2011 0:00	120,517594	27,6863918	558,474075	230,456252	0,88091678	31,7880795	30,323191	32,0810572	638,632771	343,311258
24/10/2011 0:15	120,517594	28,2723472	572,18543	238,894009	0,87981811	32,6670125	27,9793695	32,0810572	621,757256	334,873501
24/10/2011 0:30	120,517594	26,2215033	544,762719	219,909055	0,87084567	32,6670125	26,8074587	31,7880795	606,99118	342,256539
24/10/2011 0:45	120,090335	26,514481	521,558885	223,073214	0,87432478	30,323191	26,8074587	29,7372356	575,34959	323,271584
24/10/2011 1:00	120,700705	26,514481	523,668325	228,346812	0,86339915	32,0810572	26,514481	29,7372356	600,662862	344,365978
24/10/2011 1:15	120,212409	26,514481	518,394726	216,744896	0,86175115	29,7372356	26,514481	29,7372356	567,966552	333,818781
24/10/2011 1:30	120,639668	26,514481	522,613605	231,510971	0,86089663	30,323191	26,514481	29,7372356	584,842067	334,873501
24/10/2011 1:45	120,639668	26,514481	515,230567	231,510971	0,85534227	30,323191	26,514481	27,6863918	569,021271	343,311258
24/10/2011 2:00	120,639668	26,514481	516,285287	232,565691	0,85650197	30,323191	26,514481	27,6863918	567,966552	335,92822
24/10/2011 2:15	121,066927	26,514481	511,011689	230,456252	0,8471633	30,323191	26,514481	27,6863918	551,091037	349,639576

24/10/2011 2:30	121,066927	26,514481	501,519211	229,401532	0,85290078	30,323191	26,514481	27,6863918	560,583514	352,803735
24/10/2011 2:45	121,066927	27,1004364	505,73809	231,510971	0,84344005	30,323191	26,514481	27,6863918	566,911832	360,186773
24/10/2011 3:00	121,066927	27,1004364	513,121128	234,67513	0,85229041	30,323191	24,4636372	27,6863918	556,364635	338,03766
24/10/2011 3:15	121,066927	27,1004364	493,081454	231,510971	0,85070345	30,6161687	25,9285257	27,6863918	552,145756	346,475417
24/10/2011 3:30	121,127964	25,0495926	490,972015	220,963775	0,8488113	30,6161687	25,9285257	27,6863918	544,762719	336,98294
24/10/2011 3:45	121,127964	27,1004364	493,081454	232,565691	0,84087649	30,0302133	25,635548	28,5653249	556,364635	359,132054
24/10/2011 4:00	121,127964	25,0495926	496,245613	222,018494	0,85314493	28,8583026	25,635548	26,2215033	535,270241	331,709342
24/10/2011 4:15	120,761742	25,0495926	502,573931	227,292093	0,84954375	28,8583026	25,635548	26,2215033	558,474075	345,420698
24/10/2011 4:30	120,761742	25,635548	497,300333	223,073214	0,84942167	28,8583026	25,635548	28,8583026	558,474075	348,584857
24/10/2011 4:45	120,761742	25,635548	509,956969	222,018494	0,8514359	28,8583026	25,635548	28,8583026	555,309915	334,873501
24/10/2011 5:00	120,761742	25,635548	503,628651	220,963775	0,86370434	30,9091464	25,3425703	29,7372356	566,911832	334,873501
24/10/2011 5:15	120,761742	25,635548	519,449446	226,237373	0,86053041	30,9091464	25,9285257	29,7372356	581,677908	338,03766
24/10/2011 5:30	121,921445	26,2215033	523,668325	233,620411	0,86449782	30,0302133	26,514481	29,7372356	604,881741	354,913175
24/10/2011 5:45	121,921445	29,1512803	565,857112	222,018494	0,89226966	31,7880795	27,3934141	30,9091464	651,289407	324,326304
24/10/2011 6:00	123,813593	28,8583026	552,145756	234,67513	0,88000122	34,4248787	28,2723472	33,2529679	697,697073	371,78869
24/10/2011 6:15	122,409742	28,8583026	578,513749	217,799615	0,89855647	35,5967895	27,9793695	36,1827448	696,642354	328,545183
24/10/2011 6:30	122,409742	30,6161687	668,164922	230,456252	0,90765099	37,940611	31,4951018	37,0616779	751,487777	342,256539
24/10/2011 6:45	122,409742	34,7178564	657,617725	234,67513	0,90569781	37,940611	28,8583026	33,8389233	730,393384	343,311258
24/10/2011 7:00	121,921445	32,9599902	699,806513	246,277047	0,90417188	42,3352763	30,6161687	38,2335887	800,004883	355,967895
24/10/2011 7:15	121,921445	36,4757225	745,159459	259,988403	0,92187262	39,9914548	30,9091464	37,3546556	792,621845	329,599902
24/10/2011 7:30	121,494186	40,5774102	881,218299	266,316721	0,92034669	44,9720756	35,0108341	40,5774102	888,601337	360,186773
24/10/2011 7:45	121,127964	40,5774102	881,218299	270,5356	0,91863765	42,9212317	35,5967895	40,2844325	868,561663	364,405652
24/10/2011 8:00	120,700705	50,8316294	1070,01312	270,5356	0,92327647	43,8001648	37,0616779	45,2650533	898,093814	365,460372
24/10/2011 8:15	119,78515	56,1052278	1239,82299	278,973357	0,93523972	47,3158971	39,1125217	48,7807855	961,376995	349,639576
24/10/2011 8:30	119,846187	66,359447	1393,81207	335,92822	0,93774224	49,0737632	41,4563433	50,5386517	1056,30177	366,515091
24/10/2011 8:45	119,968261	70,168157	1483,46324	343,311258	0,93896298	51,7105625	43,5071871	52,8824732	1075,28672	390,773644
24/10/2011 9:00	121,00589	75,4417554	1607,92016	376,007569	0,93224891	52,2965178	43,8001648	53,4684286	1095,3264	410,813318
24/10/2011 9:15	120,944853	79,2504654	1706,00909	398,156682	0,93670461	56,3982055	46,1439863	58,1560717	1199,74364	426,634114

24/10/2011 9:30	119,968261	84,2310862	1793,55083	408,703879	0,94024476	57,5701163	47,6088748	59,3279824	1213,455	417,141636
24/10/2011 9:45	120,029298	88,0397961	1852,61513	421,360515	0,93755913	59,3279824	48,4878079	65,7734916	1296,77786	451,947386
24/10/2011 10:00	120,029298	88,6257515	1850,50569	415,032197	0,94048891	59,6209601	49,6597186	62,2577593	1255,64379	435,071871
24/10/2011 10:15	119,541002	93,6063723	1912,73415	421,360515	0,94006165	59,6209601	49,6597186	62,550737	1268,30042	439,29075
24/10/2011 10:30	120,151372	90,969573	1952,8135	481,479537	0,93829157	65,4805139	52,8824732	66,9454024	1354,78744	470,93234
24/10/2011 10:45	120,151372	94,1923276	1964,41542	454,056825	0,94006165	64,6015809	50,8316294	62,2577593	1307,32505	453,002106
24/10/2011 11:00	120,151372	93,6063723	1958,0871	438,23603	0,9393292	65,4805139	51,1246071	64,8945585	1322,09113	447,728507
24/10/2011 11:15	119,602039	93,6063723	1955,97766	453,002106	0,93682669	67,5313578	50,8316294	66,0664693	1350,56856	459,330424
24/10/2011 11:30	119,602039	93,6063723	1966,52486	446,673788	0,9409772	67,5313578	53,4684286	66,0664693	1362,17048	468,822901
24/10/2011 11:45	119,602039	93,6063723	1946,48518	445,619068	0,9403058	63,4296701	52,2965178	66,6524247	1337,91192	445,619068
24/10/2011 12:00	120,090335	91,5555284	1933,82855	440,34547	0,93829157	63,1366924	52,0035401	66,9454024	1330,52889	463,549303
24/10/2011 12:15	120,090335	88,9187292	1903,24168	440,34547	0,9381695	63,7226478	51,4175848	64,3086032	1306,27033	457,220985
24/10/2011 12:30	120,578631	86,28193	1856,83401	444,564348	0,93530076	61,3788263	52,0035401	65,7734916	1298,8873	475,151219
24/10/2011 12:45	121,00589	87,7468184	1893,7492	440,34547	0,93670461	57,5701163	50,8316294	61,9647816	1245,09659	449,837947
24/10/2011 13:00	120,517594	83,3521531	1751,36204	439,29075	0,93682669	55,8122501	48,7807855	59,3279824	1186,03229	431,907712
24/10/2011 13:15	120,029298	75,7347331	1563,62194	405,53972	0,93462935	54,3473617	45,2650533	54,6403394	1130,13215	423,469955
24/10/2011 13:30	120,029298	73,976867	1494,01044	373,898129	0,93316446	54,054384	45,2650533	52,5894955	1116,42079	422,415235
24/10/2011 13:45	119,663076	68,9962462	1436,00085	366,515091	0,93108921	52,5894955	43,8001648	52,8824732	1078,45088	415,032197
24/10/2011 14:00	119,663076	73,6838893	1452,87637	355,967895	0,93359172	53,7614063	45,5580309	53,1754509	1114,31135	419,251076
24/10/2011 14:15	119,17478	71,9260231	1459,20469	358,077334	0,93469039	54,3473617	45,5580309	53,4684286	1120,63967	411,868038
24/10/2011 14:30	120,029298	73,3909116	1531,98035	387,609485	0,93224891	54,9333171	44,6790979	53,1754509	1126,96799	418,196356
24/10/2011 14:45	120,39552	76,6136662	1577,33329	404,485	0,93572802	54,6403394	46,436964	57,863094	1167,04733	419,251076
24/10/2011 15:00	120,39552	79,5434431	1673,31278	400,266121	0,93279824	59,6209601	47,9018525	58,1560717	1206,07196	441,400189
24/10/2011 15:15	120,39552	86,8678854	1798,82443	426,634114	0,93896298	59,0350047	47,9018525	60,2069155	1233,49467	431,907712
24/10/2011 15:30	120,39552	90,969573	1872,65481	407,649159	0,93597217	61,3788263	47,6088748	64,6015809	1279,90234	443,509629
24/10/2011 15:45	120,39552	91,2625507	1906,40584	432,962432	0,94122135	64,6015809	49,3667409	63,7226478	1300,99673	437,18131
24/10/2011 16:00	120,39552	91,2625507	1924,33607	439,29075	0,94347972	64,3086032	49,0737632	64,6015809	1316,81753	439,29075
24/10/2011 16:15	120,39552	95,0712607	1968,6343	432,962432	0,9386578	64,0156255	51,7105625	68,1173132	1354,78744	466,713462

24/10/2011 16:30	120,39552	93,6063723	1920,11719	429,798273	0,94195379	63,1366924	50,5386517	64,3086032	1337,91192	451,947386
24/10/2011 16:45	120,883816	92,4344615	1933,82855	458,275704	0,94421216	61,9647816	51,7105625	64,3086032	1355,84216	449,837947
24/10/2011 17:00	120,883816	90,09064	1914,84359	439,29075	0,93987854	62,8437147	52,0035401	64,6015809	1318,92697	446,673788
24/10/2011 17:15	120,883816	88,3327738	1847,34153	423,469955	0,94036683	61,3788263	52,2965178	64,3086032	1318,92697	460,385144
24/10/2011 17:30	121,372112	85,4029969	1824,1377	421,360515	0,93804743	63,4296701	53,1754509	62,2577593	1303,10617	464,604022
24/10/2011 17:45	121,372112	85,6959746	1798,82443	427,688833	0,93920713	61,6718039	48,7807855	61,6718039	1284,12122	443,509629
24/10/2011 18:00	121,372112	87,4538408	1818,8641	420,305795	0,94134342	63,7226478	52,8824732	65,4805139	1338,96664	453,002106
24/10/2011 18:15	120,456557	88,0397961	1807,26218	430,852992	0,94677572	63,7226478	54,9333171	66,359447	1391,70263	450,892666
24/10/2011 18:30	118,991668	88,9187292	1856,83401	405,53972	0,95574816	69,5822016	57,5701163	69,8751793	1480,29908	432,962432
24/10/2011 18:45	118,564409	83,9381085	1718,66573	362,296213	0,95764031	69,2892239	56,3982055	68,4102908	1452,87637	418,196356
24/10/2011 19:00	119,541002	80,4223762	1655,38255	382,335887	0,95422224	69,2892239	56,3982055	68,4102908	1459,20469	436,126591
24/10/2011 19:15	120,029298	75,4417554	1544,63698	368,624531	0,95013276	66,9454024	54,3473617	66,0664693	1395,92151	439,29075
24/10/2011 19:30	120,517594	70,4611347	1475,02548	367,569811	0,94915616	64,0156255	52,5894955	62,8437147	1341,07608	424,524674
24/10/2011 19:45	120,517594	64,0156255	1322,09113	342,256539	0,94634846	61,9647816	51,4175848	61,9647816	1299,94201	428,743553
24/10/2011 20:00	120,090335	61,0858486	1247,20603	335,92822	0,94323557	60,4998932	46,7299417	59,3279824	1238,76827	409,758599
24/10/2011 20:15	120,700705	56,6911832	1186,03229	342,256539	0,93896298	58,4490493	46,7299417	58,1560717	1203,96252	428,743553
24/10/2011 20:30	120,029298	54,3473617	1128,02271	320,107425	0,94219794	59,9139378	47,0229194	53,7614063	1205,01724	416,086917
24/10/2011 20:45	120,944853	55,8122501	1114,31135	326,435743	0,93737602	57,5701163	45,2650533	54,9333171	1163,88318	410,813318
24/10/2011 21:00	121,433149	52,2965178	1074,232	326,435743	0,93591113	56,6911832	43,5071871	54,054384	1171,26621	406,59444
24/10/2011 21:15	120,761742	47,9018525	1013,05826	311,669668	0,93426313	54,9333171	43,8001648	51,7105625	1120,63967	410,813318
24/10/2011 21:30	121,250038	47,3158971	964,541154	304,28663	0,92724387	52,8824732	42,0422987	49,9526963	1057,35649	402,375561
24/10/2011 21:45	120,822779	44,9720756	935,009003	299,013031	0,93090609	52,5894955	39,4054994	49,3667409	1042,59041	392,883084
24/10/2011 22:00	120,517594	44,3861202	885,437178	277,918638	0,92907498	50,245674	39,4054994	47,3158971	1005,67522	383,390606
24/10/2011 22:15	120,944853	40,2844325	834,810633	280,028077	0,92120121	47,6088748	37,3546556	44,3861202	953,993957	391,828364
24/10/2011 22:30	121,433149	39,4054994	793,676565	270,5356	0,91308329	42,9212317	35,0108341	42,3352763	886,491897	381,281167
24/10/2011 22:45	121,860408	37,0616779	762,034974	273,699759	0,91088595	42,0422987	35,3038118	39,9914548	859,069185	373,898129
24/10/2011 23:00	121,372112	37,3546556	745,159459	274,754479	0,90435499	42,0422987	32,9599902	40,5774102	822,153996	376,007569
24/10/2011 23:15	120,029298	33,2529679	673,43852	238,894009	0,90527055	37,940611	32,9599902	36,1827448	753,597217	344,365978

24/10/2011 23:30	120,517594	33,2529679	659,727165	255,769524	0,8995941	38,8195441	30,9091464	36,1827448	736,721702	355,967895
24/10/2011 23:45	120,944853	30,9091464	643,906369	255,769524	0,89202551	36,4757225	30,9091464	33,2529679	691,368755	348,584857
25/10/2011 0:00	120,944853	29,4442579	605,93646	253,660085	0,88134404	36,4757225	28,8583026	33,2529679	676,60268	364,405652
25/10/2011 0:15	121,433149	30,6161687	590,115665	249,441206	0,87829218	33,5459456	28,8583026	33,2529679	658,672445	363,350932
25/10/2011 0:30	121,433149	28,8583026	566,911832	247,331767	0,86608478	33,5459456	28,8583026	30,9091464	630,195013	363,350932
25/10/2011 0:45	121,921445	28,8583026	560,583514	248,386486	0,8570513	33,5459456	26,8074587	30,9091464	608,0459	361,241493
25/10/2011 1:00	121,921445	28,8583026	552,145756	252,605365	0,85393841	31,4951018	27,1004364	30,9091464	592,225105	367,569811
25/10/2011 1:15	121,982482	28,8583026	555,309915	257,878964	0,84795679	31,4951018	27,1004364	30,9091464	593,279824	370,73397
25/10/2011 1:30	122,470779	29,7372356	559,528794	261,043123	0,84588153	32,3740349	27,1004364	30,9091464	591,170385	371,78869
25/10/2011 1:45	122,898038	29,7372356	548,981597	267,371441	0,8276925	31,4951018	27,1004364	30,9091464	580,623188	390,773644
25/10/2011 2:00	122,898038	27,3934141	531,051363	284,246956	0,83324686	31,4951018	27,1004364	28,8583026	574,29487	386,554765
25/10/2011 2:15	123,386334	27,3934141	527,887204	259,988403	0,83397931	31,4951018	27,1004364	28,8583026	578,513749	377,062288
25/10/2011 2:30	122,714927	27,3934141	537,379681	271,59032	0,82580035	29,4442579	27,1004364	28,8583026	562,692953	383,390606
25/10/2011 2:45	123,203223	27,3934141	522,613605	272,645039	0,8255562	31,7880795	24,7566149	28,8583026	570,075991	388,664205
25/10/2011 3:00	123,203223	27,3934141	525,777764	265,262001	0,82518998	31,7880795	25,3425703	27,9793695	565,857112	382,335887
25/10/2011 3:15	123,203223	27,3934141	516,285287	269,48088	0,82702109	32,0810572	25,3425703	30,323191	563,747673	380,226447
25/10/2011 3:30	123,203223	27,3934141	511,011689	271,59032	0,82946257	32,0810572	26,514481	28,2723472	582,732627	394,992523
25/10/2011 3:45	123,203223	27,3934141	524,723045	277,918638	0,82580035	29,7372356	26,514481	27,9793695	558,474075	383,390606
25/10/2011 4:00	123,325297	27,3934141	524,723045	273,699759	0,82445753	30,9091464	26,514481	27,9793695	565,857112	388,664205
25/10/2011 4:15	122,898038	27,3934141	504,68337	255,769524	0,82927946	30,9091464	24,4636372	28,5653249	567,966552	374,952849
25/10/2011 4:30	122,959075	25,0495926	511,011689	249,441206	0,83361309	28,5653249	27,1004364	30,6161687	567,966552	371,78869
25/10/2011 4:45	122,959075	25,9285257	516,285287	249,441206	0,83245338	29,7372356	27,1004364	28,5653249	559,528794	373,898129
25/10/2011 5:00	122,959075	25,9285257	531,051363	255,769524	0,82537309	31,4951018	24,7566149	28,5653249	566,911832	380,226447
25/10/2011 5:15	122,470779	26,514481	531,051363	248,386486	0,83935057	31,4951018	26,2215033	30,0302133	569,021271	372,84341
25/10/2011 5:30	122,714927	26,514481	536,324961	251,550645	0,85015412	31,4951018	26,2215033	30,0302133	602,772301	371,78869
25/10/2011 5:45	123,325297	28,5653249	566,911832	255,769524	0,84478286	31,4951018	24,7566149	30,323191	574,29487	359,132054
25/10/2011 6:00	123,87463	28,5653249	559,528794	246,277047	0,85814997	31,7880795	27,6863918	30,9091464	613,319498	364,405652
25/10/2011 6:15	123,87463	32,0810572	660,781884	266,316721	0,88207648	36,1827448	27,3934141	32,9599902	677,657399	355,967895
25/10/2011 6:30	123,325297	31,4951018	638,632771	253,660085	0,88109989	33,8389233	29,4442579	33,2529679	695,587634	365,460372

25/10/2011 6:45	123,325297	32,0810572	638,632771	250,495926	0,89458907	37,3546556	30,6161687	33,2529679	728,283944	353,858455
25/10/2011 7:00	123,325297	36,1827448	694,532914	262,097842	0,89324625	35,3038118	30,323191	35,3038118	713,517869	358,077334
25/10/2011 7:15	122,837001	36,4757225	771,527451	261,043123	0,91045869	40,5774102	31,7880795	39,4054994	803,169042	357,022614
25/10/2011 7:30	122,348704	39,6984771	803,169042	269,48088	0,91424299	38,8195441	32,3740349	40,2844325	834,810633	363,350932
25/10/2011 7:45	121,860408	43,2142094	897,039094	271,59032	0,90813929	39,1125217	32,6670125	41,749321	823,208716	360,186773
25/10/2011 8:00	121,372112	50,245674	1044,69985	287,411115	0,92718284	43,8001648	37,0616779	45,5580309	907,586291	357,022614
25/10/2011 8:15	120,883816	60,4998932	1260,91739	309,560228	0,93145543	47,6088748	39,4054994	52,2965178	1018,33186	368,624531
25/10/2011 8:30	120,883816	62,8437147	1340,02136	333,818781	0,93713187	49,9526963	39,9914548	49,0737632	1026,76962	378,117008
25/10/2011 8:45	120,39552	70,4611347	1491,901	345,420698	0,94280831	52,8824732	44,3861202	55,2262947	1138,5699	394,992523
25/10/2011 9:00	119,907224	75,4417554	1593,15409	373,898129	0,94091617	55,5192724	45,2650533	58,1560717	1169,15677	391,828364
25/10/2011 9:15	119,418928	80,4223762	1680,69582	374,952849	0,94085513	57,2771386	45,8510086	59,3279824	1186,03229	403,43028
25/10/2011 9:30	119,907224	83,9381085	1801,98859	386,554765	0,9431135	59,3279824	49,3667409	59,3279824	1230,33052	411,868038
25/10/2011 9:45	119,418928	88,0397961	1817,80938	407,649159	0,94244209	57,2771386	47,9018525	61,3788263	1239,82299	412,922758
25/10/2011 10:00	120,456557	89,2117069	1901,13224	441,400189	0,93762017	59,3279824	52,0035401	61,9647816	1270,40986	456,166265
25/10/2011 10:15	120,456557	89,5046846	1870,54537	409,758599	0,93804743	59,0350047	49,0737632	61,3788263	1260,91739	439,29075
25/10/2011 10:30	120,456557	90,3836177	1887,42088	431,907712	0,93731498	61,0858486	51,1246071	64,3086032	1332,63833	471,98706
25/10/2011 10:45	119,907224	89,7976623	1903,24168	469,877621	0,94091617	62,550737	50,245674	62,8437147	1300,99673	445,619068
25/10/2011 11:00	119,479965	92,1414838	1920,11719	431,907712	0,94354076	61,0858486	52,2965178	65,4805139	1303,10617	444,564348
25/10/2011 11:15	119,968261	93,6063723	1961,25126	462,494583	0,94152654	60,2069155	50,245674	61,9647816	1284,12122	449,837947
25/10/2011 11:30	119,968261	91,8485061	1894,80392	439,29075	0,93633839	64,8945585	49,9526963	66,359447	1325,25529	457,220985
25/10/2011 11:45	119,907224	91,5555284	1905,35112	443,509629	0,9403058	63,1366924	52,5894955	63,4296701	1310,48921	440,34547
25/10/2011 12:00	119,907224	92,7274392	1927,50023	468,822901	0,93682669	62,2577593	49,9526963	63,7226478	1289,39482	460,385144
25/10/2011 12:15	119,907224	89,7976623	1884,25672	423,469955	0,93725394	59,6209601	51,4175848	63,4296701	1270,40986	444,564348
25/10/2011 12:30	119,907224	87,4538408	1857,88873	443,509629	0,93597217	60,4998932	50,245674	61,9647816	1254,58907	449,837947
25/10/2011 12:45	120,39552	84,2310862	1788,27723	405,53972	0,93414106	57,2771386	51,7105625	61,0858486	1229,2758	458,275704
25/10/2011 13:00	120,39552	81,8872646	1747,14316	430,852992	0,9376812	58,4490493	51,7105625	58,4490493	1219,78332	448,783227
25/10/2011 13:15	120,39552	74,8558	1535,14451	392,883084	0,9292581	55,2262947	46,436964	54,9333171	1140,67934	440,34547
25/10/2011 13:30	119,907224	74,8558	1486,6274	383,390606	0,92938017	53,1754509	45,8510086	54,3473617	1119,58495	432,962432
25/10/2011 13:45	119,907224	71,3400678	1469,75188	393,937803	0,92608417	56,3982055	45,2650533	53,1754509	1115,36607	428,743553

25/10/2011 14:00	119,357891	71,0470901	1436,00085	370,73397	0,93127232	54,3473617	44,9720756	53,1754509	1119,58495	411,868038
25/10/2011 14:15	119,357891	72,2190008	1478,18964	374,952849	0,93578906	54,3473617	44,6790979	56,1052278	1122,74911	403,43028
25/10/2011 14:30	118,869594	73,976867	1520,37843	366,515091	0,93670461	53,7614063	44,6790979	57,5701163	1118,53023	397,101962
25/10/2011 14:45	119,052705	73,976867	1568,89554	368,624531	0,93969543	56,3982055	48,7807855	56,9841609	1173,37565	419,251076
25/10/2011 15:00	119,052705	80,4223762	1717,61101	392,883084	0,93908506	56,6911832	47,3158971	58,4490493	1180,75869	411,868038
25/10/2011 15:15	119,78515	84,8170415	1783,00363	417,141636	0,94061098	59,3279824	49,9526963	61,3788263	1257,75323	431,907712
25/10/2011 15:30	119,78515	90,09064	1888,4756	435,071871	0,94012268	60,7928709	51,7105625	63,1366924	1285,17594	444,564348
25/10/2011 15:45	119,78515	94,1923276	1963,3607	467,768181	0,94463942	61,6718039	53,1754509	64,3086032	1311,54393	443,509629
25/10/2011 16:00	120,273446	93,89935	1924,33607	428,743553	0,94067202	62,2577593	53,7614063	64,6015809	1344,24024	455,111545
25/10/2011 16:15	120,273446	92,7274392	1927,50023	432,962432	0,94250313	62,2577593	52,5894955	65,7734916	1330,52889	450,892666
25/10/2011 16:30	120,273446	92,1414838	1915,89831	434,017151	0,94134342	63,1366924	52,2965178	65,4805139	1325,25529	445,619068
25/10/2011 16:45	120,822779	90,6765954	1896,91336	439,29075	0,94219794	61,9647816	52,8824732	65,1875362	1334,74776	454,056825
25/10/2011 17:00	120,212409	90,6765954	1889,53032	431,907712	0,94219794	63,1366924	52,0035401	62,550737	1316,81753	454,056825
25/10/2011 17:15	120,761742	88,3327738	1855,77929	444,564348	0,94409009	61,9647816	54,054384	61,3788263	1305,21561	444,564348
25/10/2011 17:30	121,311075	89,2117069	1838,90378	432,962432	0,94695883	61,9647816	53,1754509	62,550737	1317,87225	424,524674
25/10/2011 17:45	120,822779	90,3836177	1876,87368	432,962432	0,94775231	64,6015809	53,4684286	65,4805139	1360,06104	436,126591
25/10/2011 18:00	120,273446	90,6765954	1872,65481	423,469955	0,94763024	67,8243355	52,5894955	66,6524247	1382,21015	441,400189
25/10/2011 18:15	118,869594	89,2117069	1808,3169	381,281167	0,95110935	68,7032685	55,5192724	68,9962462	1440,21973	429,798273
25/10/2011 18:30	118,869594	88,3327738	1848,39625	408,703879	0,95410016	71,0470901	58,4490493	72,2190008	1515,10483	446,673788
25/10/2011 18:45	118,869594	86,5749077	1741,86956	381,281167	0,95623646	70,7541124	59,0350047	71,0470901	1476,0802	420,305795
25/10/2011 19:00	118,869594	82,7661977	1670,14863	367,569811	0,95556505	66,359447	56,6911832	68,9962462	1424,39894	416,086917
25/10/2011 19:15	118,869594	76,9066439	1549,91058	373,898129	0,95458846	66,6524247	55,2262947	65,4805139	1382,21015	407,649159
25/10/2011 19:30	119,296854	70,7541124	1441,27445	348,584857	0,95220801	65,4805139	52,8824732	66,0664693	1365,33464	411,868038
25/10/2011 19:45	119,78515	64,0156255	1329,47417	327,490463	0,94781335	62,8437147	52,2965178	64,0156255	1314,70809	419,251076
25/10/2011 20:00	119,357891	63,7226478	1282,01178	319,052705	0,9525132	62,2577593	50,5386517	59,3279824	1274,62874	390,773644
25/10/2011 20:15	119,357891	59,9139378	1181,81341	323,271584	0,94946135	61,9647816	50,5386517	59,6209601	1253,53435	398,156682
25/10/2011 20:30	119,846187	55,5192724	1125,91327	310,614948	0,94579913	59,9139378	48,4878079	57,2771386	1221,89276	393,937803
25/10/2011 20:45	119,846187	55,5192724	1112,20191	307,450789	0,94598224	55,2262947	47,6088748	54,6403394	1182,86813	401,320841
25/10/2011 21:00	120,822779	51,7105625	1087,94336	322,216865	0,93908506	57,5701163	47,6088748	56,1052278	1174,43037	418,196356

25/10/2011 21:15	121,311075	50,245674	1041,53569	329,599902	0,93676565	52,8824732	45,2650533	52,5894955	1132,24158	415,032197
25/10/2011 21:30	120,822779	47,9018525	976,143071	313,779107	0,93725394	52,2965178	46,436964	50,245674	1091,10752	407,649159
25/10/2011 21:45	121,311075	45,8510086	942,392041	305,34135	0,93432417	51,7105625	43,2142094	50,5386517	1071,06784	406,59444
25/10/2011 22:00	121,311075	43,8001648	902,312693	292,684713	0,92779321	49,6597186	40,8703879	47,9018525	1025,7149	399,211402
25/10/2011 22:15	121,372112	44,6790979	879,10886	305,34135	0,92449721	47,9018525	41,749321	45,5580309	964,541154	388,664205
25/10/2011 22:30	121,372112	40,2844325	813,716239	283,192236	0,91381573	46,436964	38,5265664	43,5071871	927,625965	401,320841
25/10/2011 22:45	121,799371	39,1125217	774,69161	277,918638	0,91039766	42,0422987	38,5265664	41,4563433	882,273019	397,101962
25/10/2011 23:00	121,189001	36,7687002	724,065065	271,59032	0,90545366	40,8703879	36,1827448	39,4054994	818,989837	377,062288
25/10/2011 23:15	121,61626	34,4248787	699,806513	282,137516	0,89428388	39,4054994	33,8389233	38,2335887	793,676565	393,937803
25/10/2011 23:30	121,677297	34,131901	661,836604	264,207282	0,88702048	37,0616779	33,8389233	36,1827448	765,199133	389,718925
25/10/2011 23:45	121,189001	34,4248787	643,906369	258,933683	0,8885464	38,2335887	31,4951018	34,4248787	736,721702	371,78869
26/10/2011 0:00	121,189001	32,3740349	624,921415	257,878964	0,877987	35,8897671	31,4951018	34,4248787	693,478195	369,67925
26/10/2011 0:15	121,677297	30,6161687	593,279824	257,878964	0,871395	33,8389233	29,4442579	32,3740349	670,274361	377,062288
26/10/2011 0:30	121,677297	28,5653249	571,130711	258,933683	0,87029633	34,4248787	29,4442579	32,3740349	652,344127	370,73397
26/10/2011 0:45	121,677297	28,5653249	556,364635	256,824244	0,85345012	32,3740349	29,4442579	32,3740349	633,359172	381,281167
26/10/2011 1:00	121,738334	29,7372356	540,54384	247,331767	0,85369427	32,0810572	27,1004364	30,0302133	623,866695	378,117008
26/10/2011 1:15	122,165593	27,9793695	557,419355	271,59032	0,84789575	32,9599902	27,6863918	30,323191	614,374218	381,281167
26/10/2011 1:30	122,165593	28,2723472	552,145756	266,316721	0,84606464	32,3740349	27,6863918	30,323191	609,10062	388,664205
26/10/2011 1:45	122,470779	26,514481	531,051363	257,878964	0,84228034	32,3740349	27,6863918	30,323191	589,060945	379,171728
26/10/2011 2:00	122,470779	28,8583026	534,215522	272,645039	0,83996094	32,3740349	27,6863918	30,323191	585,896786	384,445326
26/10/2011 2:15	121,982482	26,8074587	531,051363	259,988403	0,84044923	31,2021241	27,6863918	30,323191	592,225105	373,898129
26/10/2011 2:30	121,982482	27,3934141	533,160802	254,714805	0,84588153	31,7880795	27,6863918	30,323191	584,842067	374,952849
26/10/2011 2:45	122,409742	26,8074587	509,956969	245,222327	0,8394116	31,7880795	27,6863918	30,323191	576,404309	368,624531
26/10/2011 3:00	122,409742	26,8074587	522,613605	258,933683	0,83733634	31,7880795	27,6863918	27,9793695	579,568468	371,78869
26/10/2011 3:15	122,409742	27,3934141	523,668325	256,824244	0,83745842	31,7880795	27,6863918	28,8583026	576,404309	378,117008
26/10/2011 3:30	122,409742	27,3934141	514,175848	262,097842	0,83233131	31,7880795	27,6863918	28,8583026	579,568468	388,664205
26/10/2011 3:45	122,409742	27,3934141	515,230567	261,043123	0,84295175	31,7880795	27,6863918	28,8583026	580,623188	380,226447
26/10/2011 4:00	122,165593	27,3934141	524,723045	264,207282	0,83965575	31,7880795	27,6863918	28,8583026	576,404309	382,335887
26/10/2011 4:15	122,165593	25,635548	518,394726	246,277047	0,84246345	30,323191	28,5653249	31,2021241	582,732627	370,73397

26/10/2011 4:30	122,165593	27,9793695	520,504166	249,441206	0,84148686	30,9091464	26,514481	30,0302133	576,404309	377,062288
26/10/2011 4:45	122,043519	27,9793695	523,668325	252,605365	0,83294168	29,1512803	26,514481	30,0302133	561,638234	368,624531
26/10/2011 5:00	122,043519	27,9793695	541,59856	238,894009	0,84441664	30,0302133	27,3934141	30,0302133	582,732627	371,78869
26/10/2011 5:15	121,921445	27,9793695	558,474075	247,331767	0,85436567	31,2021241	27,3934141	30,0302133	593,279824	373,898129
26/10/2011 5:30	122,470779	28,5653249	574,29487	264,207282	0,8542436	31,2021241	28,2723472	30,9091464	615,428938	382,335887
26/10/2011 5:45	122,898038	28,5653249	572,18543	249,441206	0,85473189	31,4951018	28,2723472	31,4951018	623,866695	379,171728
26/10/2011 6:00	123,447371	31,2021241	622,811975	243,112888	0,87994018	33,8389233	30,9091464	30,9091464	669,219642	357,022614
26/10/2011 6:15	123,020112	32,0810572	652,344127	254,714805	0,88372448	35,5967895	30,9091464	31,7880795	704,025391	371,78869
26/10/2011 6:30	123,020112	34,131901	698,751793	261,043123	0,88915677	35,5967895	32,9599902	35,3038118	727,229225	370,73397
26/10/2011 6:45	123,020112	34,131901	670,274361	255,769524	0,89379559	39,4054994	30,0302133	32,9599902	751,487777	358,077334
26/10/2011 7:00	123,020112	34,131901	696,642354	268,42616	0,89257485	40,2844325	30,6161687	38,2335887	775,74633	376,007569
26/10/2011 7:15	122,470779	39,4054994	789,457686	289,520554	0,91058077	40,2844325	34,4248787	40,2844325	844,30311	371,78869
26/10/2011 7:30	122,470779	40,2844325	803,169042	274,754479	0,92059084	42,628254	37,940611	41,1633656	898,093814	371,78869
26/10/2011 7:45	121,982482	45,5580309	916,024049	299,013031	0,91784417	40,5774102	33,8389233	42,628254	848,521989	347,530137
26/10/2011 8:00	121,677297	49,6597186	1053,13761	290,575274	0,92175054	45,5580309	37,6476333	43,5071871	919,188208	381,281167
26/10/2011 8:15	121,555223	61,0858486	1265,13627	323,271584	0,92571795	49,3667409	39,9914548	49,6597186	1015,1677	401,320841
26/10/2011 8:30	121,127964	69,2892239	1444,43861	379,171728	0,92199469	51,4175848	40,2844325	54,9333171	1062,63009	418,196356
26/10/2011 8:45	121,555223	71,0470901	1543,58226	383,390606	0,92284921	53,4684286	42,0422987	56,1052278	1132,24158	441,400189
26/10/2011 9:00	121,127964	76,0277108	1614,24848	394,992523	0,93212683	55,8122501	44,6790979	54,9333171	1151,22654	432,962432
26/10/2011 9:15	120,944853	80,1293985	1734,48653	421,360515	0,93304239	58,742027	44,6790979	62,550737	1228,22108	446,673788
26/10/2011 9:30	120,639668	86,8678854	1831,52074	443,509629	0,93859676	59,9139378	47,9018525	61,9647816	1237,71355	444,564348
26/10/2011 9:45	120,761742	87,4538408	1812,53578	421,360515	0,93408002	57,2771386	47,9018525	63,1366924	1251,42491	451,947386
26/10/2011 10:00	120,700705	91,2625507	1893,7492	460,385144	0,93646046	59,0350047	49,6597186	62,8437147	1265,13627	459,330424
26/10/2011 10:15	120,700705	92,4344615	1949,64934	441,400189	0,93493454	60,4998932	49,3667409	62,8437147	1268,30042	461,439863
26/10/2011 10:30	120,700705	88,3327738	1892,69448	450,892666	0,92974639	59,3279824	51,4175848	66,6524247	1291,50426	474,0965
26/10/2011 10:45	120,273446	95,0712607	1967,57958	470,93234	0,93230995	61,6718039	51,7105625	67,8243355	1321,03641	483,588977
26/10/2011 11:00	120,273446	94,4853053	1965,47014	461,439863	0,9386578	63,7226478	50,8316294	66,359447	1317,87225	467,768181
26/10/2011 11:15	119,724113	93,0204169	1951,75878	461,439863	0,93499557	63,1366924	53,1754509	66,0664693	1323,14585	481,479537
26/10/2011 11:30	119,78515	92,1414838	1923,28135	441,400189	0,93658254	63,1366924	50,8316294	66,0664693	1303,10617	462,494583

26/10/2011 11:45	119,78515	92,4344615	1960,19654	444,564348	0,93731498	60,7928709	50,5386517	65,1875362	1302,05145	462,494583
26/10/2011 12:00	120,212409	90,6765954	1919,06247	441,400189	0,93877987	61,6718039	51,1246071	64,8945585	1306,27033	455,111545
26/10/2011 12:15	120,212409	91,2625507	1915,89831	447,728507	0,93194372	61,0858486	50,8316294	64,8945585	1302,05145	483,588977
26/10/2011 12:30	120,212409	89,5046846	1886,36616	447,728507	0,93346965	59,6209601	49,9526963	63,1366924	1275,68346	473,04178
26/10/2011 12:45	120,700705	84,5240638	1828,35658	430,852992	0,92529069	59,6209601	49,3667409	63,1366924	1265,13627	488,862575
26/10/2011 13:00	120,700705	81,8872646	1713,39213	407,649159	0,92999054	57,5701163	46,7299417	59,9139378	1191,30589	457,220985
26/10/2011 13:15	120,700705	75,1487777	1561,5125	411,868038	0,92602313	55,5192724	46,7299417	56,6911832	1140,67934	451,947386
26/10/2011 13:30	120,212409	74,8558	1507,72179	402,375561	0,92516861	53,4684286	44,9720756	52,0035401	1098,49055	444,564348
26/10/2011 13:45	120,212409	72,5119785	1481,3538	382,335887	0,92724387	54,3473617	44,3861202	54,054384	1118,53023	435,071871
26/10/2011 14:00	119,846187	74,2698447	1497,1746	373,898129	0,9276101	54,3473617	45,5580309	58,742027	1136,46046	443,509629
26/10/2011 14:15	119,418928	75,4417554	1520,37843	388,664205	0,93346965	56,6911832	46,1439863	56,9841609	1183,92285	427,688833
26/10/2011 14:30	119,418928	76,0277108	1508,77651	378,117008	0,93798639	55,8122501	47,0229194	58,1560717	1170,21149	420,305795
26/10/2011 14:45	119,418928	76,3206885	1563,62194	371,78869	0,93871883	58,1560717	47,9018525	57,5701163	1202,9078	420,305795
26/10/2011 15:00	118,869594	80,4223762	1681,75054	400,266121	0,93908506	58,4490493	51,1246071	60,7928709	1250,37019	436,126591
26/10/2011 15:15	120,029298	86,8678854	1809,37162	416,086917	0,94054994	61,0858486	51,1246071	64,6015809	1302,05145	457,220985
26/10/2011 15:30	119,968261	91,5555284	1859,99817	440,34547	0,94024476	61,9647816	50,5386517	65,7734916	1312,59865	455,111545
26/10/2011 15:45	120,456557	89,7976623	1883,202	428,743553	0,93621632	60,7928709	51,7105625	64,0156255	1290,44954	461,439863
26/10/2011 16:00	119,968261	92,4344615	1884,25672	436,126591	0,93914609	62,8437147	52,2965178	68,4102908	1344,24024	460,385144
26/10/2011 16:15	120,39552	90,3836177	1905,35112	437,18131	0,94103824	62,2577593	54,054384	65,7734916	1350,56856	461,439863
26/10/2011 16:30	119,907224	92,1414838	1925,39079	460,385144	0,94232002	66,0664693	56,6911832	67,5313578	1385,37431	485,698416
26/10/2011 16:45	120,334483	91,5555284	1899,0228	434,017151	0,93920713	62,550737	52,2965178	66,6524247	1328,41945	463,549303
26/10/2011 17:00	120,761742	92,1414838	1919,06247	446,673788	0,93395795	63,7226478	53,1754509	66,0664693	1355,84216	480,424818
26/10/2011 17:15	121,311075	87,4538408	1830,46602	447,728507	0,94164861	64,6015809	56,1052278	65,1875362	1369,55351	471,98706
26/10/2011 17:30	121,311075	89,5046846	1841,01321	434,017151	0,94360179	62,2577593	55,5192724	66,9454024	1380,10071	466,713462
26/10/2011 17:45	120,883816	87,7468184	1852,61513	428,743553	0,94360179	64,6015809	55,8122501	67,8243355	1385,37431	476,205939
26/10/2011 18:00	120,944853	86,8678854	1825,19242	430,852992	0,94817957	64,3086032	56,3982055	66,6524247	1398,03095	463,549303
26/10/2011 18:15	120,456557	89,5046846	1838,90378	442,454909	0,94891202	68,4102908	57,863094	67,8243355	1468,69716	476,205939
26/10/2011 18:30	119,357891	88,6257515	1801,98859	419,251076	0,95098727	70,4611347	60,4998932	74,2698447	1534,08979	480,424818
26/10/2011 18:45	119,357891	87,1608631	1780,89419	411,868038	0,95233009	69,8751793	58,742027	70,4611347	1488,73684	458,275704

26/10/2011 19:00	119,357891	84,5240638	1709,17325	410,813318	0,94903409	71,9260231	56,3982055	69,2892239	1442,32917	441,400189
26/10/2011 19:15	119,357891	77,4925993	1567,84082	389,718925	0,95098727	66,359447	55,8122501	66,359447	1394,86679	434,017151
26/10/2011 19:30	119,357891	70,7541124	1432,8367	364,405652	0,94891202	66,359447	51,7105625	64,3086032	1345,29496	418,196356
26/10/2011 19:45	119,78515	66,359447	1351,62328	339,09238	0,94665365	62,550737	53,4684286	64,6015809	1353,73272	437,18131
26/10/2011 20:00	119,78515	62,2577593	1261,97211	329,599902	0,94824061	64,3086032	51,1246071	64,6015809	1332,63833	427,688833
26/10/2011 20:15	120,273446	57,5701163	1160,71902	322,216865	0,93792535	59,6209601	48,7807855	59,6209601	1246,15131	425,579394
26/10/2011 20:30	120,334483	55,8122501	1144,89822	341,201819	0,93835261	59,9139378	46,7299417	56,9841609	1213,455	431,907712
26/10/2011 20:45	120,334483	54,054384	1112,20191	339,09238	0,93401898	58,1560717	45,5580309	54,6403394	1184,97757	427,688833
26/10/2011 21:00	120,761742	52,5894955	1081,61504	338,03766	0,93859676	58,1560717	49,6597186	54,3473617	1192,36061	430,852992
26/10/2011 21:15	121,189001	48,1948302	1028,87906	341,201819	0,93182165	56,9841609	45,2650533	52,8824732	1154,3907	426,634114
26/10/2011 21:30	121,677297	46,7299417	975,088351	323,271584	0,93200476	54,6403394	44,9720756	51,7105625	1137,51518	428,743553
26/10/2011 21:45	121,738334	44,9720756	974,033631	319,052705	0,92516861	52,5894955	44,9720756	51,1246071	1077,39616	428,743553
26/10/2011 22:00	121,494186	45,2650533	905,476852	310,614948	0,92913602	51,4175848	42,9212317	49,3667409	1077,39616	411,868038
26/10/2011 22:15	121,00589	42,628254	861,178625	288,465835	0,92785424	50,245674	42,3352763	46,436964	1009,8941	405,53972
26/10/2011 22:30	121,00589	40,8703879	839,029511	290,575274	0,92522965	47,3158971	39,9914548	46,7299417	965,595874	388,664205
26/10/2011 22:45	121,494186	38,2335887	809,49736	285,301675	0,91399884	45,8510086	38,8195441	42,0422987	924,461806	401,320841
26/10/2011 23:00	121,982482	38,2335887	776,80105	287,411115	0,90704062	45,2650533	36,7687002	42,0422987	890,710776	405,53972
26/10/2011 23:15	122,409742	36,4757225	716,682028	292,684713	0,89532151	40,8703879	34,7178564	39,6984771	836,920072	404,485
26/10/2011 23:30	122,409742	34,131901	692,423475	287,411115	0,88732566	38,5265664	32,0810572	39,6984771	789,457686	399,211402
26/10/2011 23:45	122,409742	32,3740349	652,344127	286,356395	0,87450789	38,5265664	32,9599902	36,1827448	751,487777	408,703879

Fuente: El autor

k.2 ANEXO 2. INVENTARIO DE TODOS LOS COMPONENTES DEL CIRCUITO CON COORDENADAS GEOGRÁFICAS.

Tabla 12. Inventario con todos los componentes del circuito

Nodo	Fases Conectadas A B C	Nro. de Transformador	Tipo de Transformador	Coord. X /m	Coord. Y/m	Nro. de poste	Tipo de Estructura	Distancia /m	Potencia KVA	Tipo de poste	Nro. Cond. Fase	Nro. Cond. N	Nro. Fases	Neutro	Voltaje KV
2	A	12119	Transformador Monofásico en poste	700.237,22	9.558.599,92	129731	1ER,3CDT, 1CRT	98,6	25	PHR11_500	ACSR.4/0	ACSR.1/0	3	1	7,96
3	B	15458	Transformador Monofásico en poste	700.216,91	9.558.603,54	129732	1ER,1CRT	28,58	10	PHR14_750	ACSR.2	ACSR.4	1	1	7,96
4	C	7440	Transformador Monofásico en poste	700107	9558584,5	129737	4EP,3CPT	145,91	37.5	PHR11_500	ACSR.4/0	ACSR.1/0	3	1	7,96
5	B	6083P	Transformador Monofásico en poste	699958,58	9558601,2	129756	4OP,1CPT	208,06	15	PHC11_700	ACSR.2	ACSR.4	1	1	7,96
6	B	888	Transformador Monofásico en poste	699928,7	9558670,5	129759	4EP,1CRT	75,17	15	PHC11_700	ACSR.2	ACSR.4	1	1	7,96
7	C	9953	Transformador Monofásico en cabina	699900,8	9558537,7	129766	4EP,3CPT	79,37	37.5	PHR11_500	ACSR.4/0	ACSR.2/0	3	1	7,96
8	ABC	14162	Transformador Trifásico en cabina	699904,201	9.558.484.683	Pozo 22714		64,21	30	Cámara	15KV.Cu.2	Des.Cu.4	3	1	13,8
9	A	452	Transformador Monofásico en poste	699817,9	9558529,5	129768	4EP,3CDT, 3CPT	83,31	25	PHR11_500	ACSR.4/0	ACSR.2/0	1	1	7,96
10	ABC	15899	Transformador Trifásico en poste	699884.52	9.558.419.019	129784	3VDT,5EP	134,96	30	PHC11_700	ACSR.3/0	ACSR.1/0	3	1	13,8
11	B	342	Transformador Monofásico en poste	699910,86	9558411,8	129785	3VPT,5EP	41,3	37.5	PHR11_350	ACSR.3/0	ACSR.1/0	1	1	7,96
12	C	590	Transformador Monofásico en poste	699969,72	9558362,44	129787	5ER,3CRT	38,61	15	PHR11_500	ACSR.3/0	ACSR.1/0	1	1	7,96
13	C	7439	Transformador Monofásico en poste	699715,4	9558582,5	129810	3VDT,4EP	63	37.5	PHR11_500	ACSR.1/0	ACSR.2/0	1	1	7,96
14	C	10277	Transformador Monofásico en poste	699590,9	9558607,5	129817	3VPT,5EP	148.5	15	PHR14_400	ACSR.4/0	ACSR.2	1	1	7,96
15	ABC	12737-12738-12739	Banco de 3 transformadores en poste	699545,9	9558601,5	129818	3VPT,5ER, 5ER	45,98	75	PHR14_400	ACSR.4/0	ACSR.2	3	1	13,8
16	ABC	14818	Transformador Trifásico en cabina	699421.73	9558604,314	Pozo 21738		181,59	30	cámara	15KV.Cu.2	Des.Cu.4	3	1	13,8
17	ABC	9686-9687-	Banco de 3 transformadores en	698428.91	9558560,301	S/N		98,53	165	Cámara	15KV.Cu.1/0	15KV.Cu.2	3	1	13,8

		16610	cabina												
18	ABC	16947-9952-9954	Banco de 3 transformadores en poste	699361,82	9558583,06	129826	3VPT,5EP	91	112.5	PHR14_400	ACSR.4/0	ACSR.2/0	3	1	13,8
19	C	247	Transformador Monofásico en poste	699775,77	95558450	126799	5EP,1CRT	112.51	25	PHC11_500	ACSR.2	ACSR.2	1	1	7,96
20	ABC	7499	Transformador Trifásico en poste	699645,5	9558505,5	129803	6222,5	50	50	PHC11_700	ACSR.2/0	ACSR.2	3	1	13,8
21	C	11757	Transformador Monofásico en poste	699758,2	9558455,5	129835	3VAT,4ER,4ER	69,66	50	PHR11_500	ACSR.2/0	ACSR.2/0	3	1	
22	ABC	9155	Transformador Trifásico en cabina	699793,25	9558446,49	Pozo		66,51	100	cámara	15KV.Cu.2/0	15KV.Cu.2	3	1	13,8
23	ABC	587-2934	Banco de 2 transformadores en poste	699808,64	9558398,72	129837	3VAT,4EP	39	20	PHR11_500	ACSR.2/0	ACSR.2/0	3	1	13,8
24	ABC	11672P	Transformador Trifásico en cabina	699832,29	9558406,83	S/N		23,39	50	Cámara	15KV.Cu.2/0	15KV.Cu.2/0	3	1	13,8
25	B	13752	Transformador Monofásico en poste	699855,3	9558353,5	129838	3VPT,4ER	64,97	15	PHC11_700	ACSR.2/0	ACSR.2/0	3	1	7,96
26	C	591	Transformador Monofásico en poste	699855,3	9558353,5	129838	3VPT,4ER	0	15		ACSR.2/0	ACSR.2/0	3	1	
27	ABC	10768-10769-10770	Banco de 3 transformadores en poste	699881,9	9558328,5	129839	3VAT,5ER	36,5	45	PHR11_500	ACSR.2/0	ACSR.2/0	3	1	13,8
28	C	16895	Transformador Monofásico en cabina	700022,8	9558229,5	61225	4ER,1CRT,2ER	264,55	25	PHC12_600	ACSR.2/0	ACSR.4	3	1	7,96
29	AB	552-593	Banco de 2 transformadores en poste	700024	9558196,1	129863	5ER,3CPT,1ER	18,62	30	PHC11_700	ACSR.2/0	ACSR.2	3	1	
30	ABC	12952	Transformador Trifásico en cabina	699962,31	9558169,6	22759		83,28	50	Cámara	15KV.Cu.2/0	Des.Cu.4	3	1	13,8
31	C	10523	Transformador Monofásico en poste	699969,2	9558201,5	129865	4EP,1CAT,1ER	40,86	25	PHC11_700	ACSR.2	ACSR.4	1	1	
32	C	596	Transformador Monofásico en poste	699824,1	9558194,5	129869	4EP,1CRT,1ER	145,91	37.5	PHC11_350	ACSR.2	ACSR.4	1	1	7,96
33	B	9955	Transformador Monofásico en poste	700035,4	9558110,6	129916	4ER,3CDT,4ER	76,29	37.5	PHC11_700	ACSR.2	ACSR.4	3	1	
34	ABC	600-601-602	Banco de 3 transformadores en poste	700021,7	9558088,5	129961	3VPT,5ER,4ER	36,8	45	PHC11_700	ACSR.1/0	ACSR.2	3	1	13,8
35	A	6925	Transformador Monofásico en poste	700044,2	9558028,5	129918	4ER,1CRT	61,02	25	PHR11_500	ACSR.2	ACSR.4	1	1	7,96
36	B	16763	Transformador Monofásico en cabina	700072,7	9558067,5	129912	4EP,1CRT	55,71	10	PHR11_350	ACSR.2	ACSR.2	1	1	7,96
37	B	7201	Transformador Monofásico en poste	700104,5	9558096,5	129908	4EP,1CRT	38,63	15	PHC11_350	ACSR.2	ACSR.2	1	1	7,96

38	A	603	Transformador Monofásico en poste	699931,7	9558101,2	129956	3VRT,4EP	105,09	25	PHC11_700	ACSR.1/0	ACSR.2	3	1	13,8
39	C	13916	Transformador Monofásico en cabina	699922,48	9558147,61	22799		51,91	25	Cámara	15KV.Cu.2	COO0057	1	1	7,96
40	ABC	13300	Transformador Trifásico en cabina	699911,66	9558123,27	22806		130,36	150	Cámara	15KV.Cu.2	Des.Cu.2	3	1	13,8
41	ABC	8958	Transformador Trifásico en cabina	699860,45	9558100,36	S/N		83,88	50	Cámara	COO0031	COO0032	3	1	13,8
42	ABC	7240-7241-7242	Banco de 3 transformadores en poste	699832,3	9558076,5	129895	3VDT,5EP	37,5	75	PHC11_350	ACSR.2	ACSR.1/0	3	1	13,8
43	A	8999	Transformador Monofásico en poste	699820,5	9558134,5	129883	4EP,1VRT,1ER	65,21	50	PHR11_350	ACSR.2	ACSR.1/0	1	1	7,96
44	A	14127	Transformador Monofásico en cabina	699831,49	9558165,79	22852		42,64	25	Cámara	15KV.Cu.2	Des.Cu.2	1	1	7,96
45	ABC	607-608-609	Banco de 3 transformadores en poste	699781	9558057,72	S/N		58,73	300	Cámara	15KV.Cu.2	15KV.Cu.1/0	3	1	13,8
46	ABC	7612	Transformador Trifásico en Cabina	699764,71	9558091,44	S/N		50,3	75	Cámara	15KV.Cu.2	15KV.Cu.1/0	3	1	13,8
47	ABC	8883	Transformador Trifásico en poste	699827,8	9558055,5	129885	3VPT,5ER+5ER	27,03	50	PHC11_350	ACSR.2	ACSR.1/0	3	1	13,8
48	ABC	6327	Transformador Trifásico en cabina	699791,04	9558005,87	S/N		115,31	125	Cámara	15KV.Cu.3/0	15KV.Cu.1/0	3	1	13,8
49	ABC	6626	Transformador Trifásico en Cabina	699722,94	9558020,37	S/N		32,08	50	Cámara	15KV.Cu.2	15KV.Cu.1/0	3	1	13,8
50	ABC	610-9077-612	Banco de 3 transformadores en Cabina	699745,746	9557991,58	S/N		60	150	Cámara	15KV.Cu.3/0	15KV.Cu.1/0	3	1	13,8
51	ABC	7902-7903-7904	Banco de 3 transformadores en poste	699940,3	9557975,5	129953	3VPT,5ER,4ER	109,22	112.5	PHR11_500	ACSR.1/0	ACSR.2/0	3	1	13,8
52	A	10659	Transformador Monofásico en cabina	699923,93	9557920,3	S/N		72,3	37,5	Cámara	15KV.Cu.1/0	15KV.Cu.2/0	1	1	7,96
53	A	15685	Transformador Monofásico en poste	699975,7	699975,7	129988	3VPT,4EP	89,95	37.5	PHC11_700	ACSR.2	ACSR.2	3	1	13,8
54	A	9057P	Transformador Monofásico en poste	700015,1	9557877,5	129987	3VPT,5ER,4ER	40	15	PHC11_700	ACSR.2	ACSR.2	3	1	13,8
55	ABC	16087	Padmounted Trifásico exterior	700.002,31	9.557.912,03	Pozo 112026		67	75	Cámara	15KV.Cu.2	Des.Cu.2	3	1	13,8
56	ABC	S/N	Transformador trifásico	700.054,38	9.557.881,46	129986	3VPT,5EP	39,6	45	PHC11_700	ACSR.2	ACSR.2/0	3	1	13,8
57	A	621	Transformador Monofásico en poste	700098,2	9557885,5	129985	3VPT,5EP	43,85	37.5	PHC11_700	ACSR.2	ACSR.2/0	3	1	13,8
58	ABC	16624	Padmounted Trifásico exterior	700.130,41	9.557.866,76	Pozo 126912		73,45	50	Cámara	15KV.Cu.2	15KV.Cu.2	3	1	13,8

59	C	7248	Transformador Monofásico en poste	700006,8	9557770,5	130017	4EP,1VRT	160,25	37,5	PHC11_700	ACSR.2	ACSR.2	1	1	7,96
60	ABC	626-4458-S/N	Banco de 3 transformadores en poste	699956,8	9557737,5	129947	3VPT,5ER,4ER	27	45	PHC11_700	ACSR.1/0	ACSR.2	3	1	13,8
61	A	627	Transformador Monofásico en poste	699963,3	9557657,5	129945	3VPT,4EP	80	15	PHC11_700	ACSR.1/0	ACSR.2	3	1	13,8
62	A	11895	Transformador Monofásico en cabina	699.981,14	9.557.623,17	Pozo 22871		105,6	37,5	cámara	15KV.Cu.2	Des.Cu.2	1	1	7,96
63	A	628	Transformador Monofásico en poste	700033,1	700033,1	129996	3VPT,4ER+4ER	39,65	10	PHC11_700	ACSR.2	ACSR.4	1	1	7,96
64	C	629	Transformador Monofásico en cabina	700075,1	9557652,5	129995	3VRT,1VRT,4EP	42,8	25	PHC11_700	ACSR.2	ACSR.4	3	1	13,8
65	C	8654	Transformador Monofásico en poste	700.165,11	9.557.658,32	129993	4EP,1CPT	89	37,5	PHC11_700	ACSR.2	ACSR.4			
66	ABC	14398	Transformador Trifásico en cabina	700.094,89	9.557.662,06	Pozo 22915		43,43	30	cámara	15KV.Cu.2	Des.Cu.4	3	1	13,8
67	C	7121P	Transformador Monofásico en poste	700199,3	9557659,5	129992	4EP,1CPT	35,3	37,5	PHC11_700	ACSR.2	ACSR.4	1	1	7,96
68	ABC	14579	Transformador Trifásico en cabina	699.888,11	9.557.916,49	Pozo 22865	Estruc subt OID	120,28	150	Cámara	15KV.Cu.2	Des.Cu.4	3	1	13,8
69	ABC	14580	Transformador Trifásico en cabina	699.889,17	9.557.910,00	Pozo 22866	Estruc subt OID	0	300	cámara	15KV.Cu.2	Des.Cu.4	3	1	13,8
70	A	11441	Transformador Monofásico en poste	699.865,94	9.557.861,88	S/N		73,55	25	cámara	15KV.Cu.1/0	15KV.Cu.2	1	1	7,96
71	ABC	5522	Transformador Trifásico en poste	699.781,19	9.557.856,69	S/N		96,86	75	cámara	15KV.Cu.2	15KV.Cu.2	3	1	13,8
72	ABC	14107	Transformador Trifásico en poste	699743,6	9557861,5	129905	3VRT,3ER,3VRT	37,5	30	PHC11_700	ACSR.2	ACSR.2	3	1	13,8
73	A	6131	Transformador Monofásico en poste	699867,4	9557640,5	130000	3VPT,4ED	94	37,5	PHC11_700	ACSR.1/0	ACSR.2	3	1	13,8
74	A	16948	Transformador Monofásico en poste	699786,4	9557635,5	130002	3VPT,4EP	81,2	37,5	PHC11_700	ACSR.1/0	ACSR.2	3	1	13,8
75	ABC	7431	Transformador Trifásico en poste	699750,4	9557632,5	130004	3VDT,5ER	36,12	150	PHC11_700	ACSR.1/0	ACSR.2	3	1	13,8
76	ABC	634	Transformador Trifásico en poste	699668,5	9557629,5	130007	3VDT	82,06	112,5	PHR11_500	ACSR.1/0	ACSR.2	3	1	13,8
77	ABC	7146	Transformador Trifásico	699.730,25	9.557.914,59	S/N		118	75	Cámara	15KV.Cu.2	15KV.Cu.2	3	1	13,8
78	ABC	9515-9516-9517	Banco de 3 transformadores	699.735,33	9.557.930,94	S/N		30	75	Cámara	15KV.Cu.2	15KV.Cu.2	3	1	13,8
79	ABC	14497	Transformador Trifásico en cabina	699.707,83	9.557.934,66	Pozo 22510		35	45	Cámara	15KV.Cu.2	Des.Cu.4	3	1	13,8
80	ABC	7451	Padmounted Trifásico exterior	699.646,02	9.557.908,89	S/N		190,41	225	Cámara	15KV.Cu.2	Des.Cu.4	3	1	13,8

81	ABC	7627	Transformador Trifásico en cabina	699.648,93	9.557.906,64	S/N		0	112,5	Cámara	15KV.Cu.2	Des.Cu.4	3	1	13,8
82	ABC	11758	Transformador Trifásico en poste	699.600,04	9.557.878,13	S/N		46,5	50	Cámara	15KV.Cu.2	Des.Cu.4	3	1	13,8
83	ABC	15983	Padmounted Trifásico en cabina	699.600,51	9.557.893,48	Pozo 111730		35	75	Cámara	15KV.Cu.2	Des.Cu.4	3	1	13,8
84	A	11475	Transformador Monofásico en poste	699.640,29	9.557.798,63	S/N		63,32	25	Cámara	15KV.Cu.2	15KV.Cu.2	1	1	7,96
85	ABC	6400-6402-6704	Banco de 3 transformadores en Cabina	699.709,40	9.557.771,91	S/N		135,29	112,5	Cámara	15KV.Cu.1/0	15KV.Cu.2	3	1	13,8
86	ABC	13530	Transformador Trifásico	699.684,84	9.557.668,92	S/N		111,81	100	Cámara	15KV.Cu.2	Des.Cu.2	3	1	13,8
87	A	8786	Transformador Monofásico	699.619,10	9.557.672,07	S/N	Estruc subt OID	114,62	25	Cámara	15KV.Cu.1/0	15KV.Cu.2	1	1	7,96
88	ABC	12200	Transformador Trifásico	699.695,77	9.557.602,92	S/N	Estruc subt 3C3OT	54,22	30	Cámara	15KV.Cu.2	Des.Cu.4	3	1	13,8
89	ABC	635	Transformador Trifásico en poste	699.592,43	9.557.595,45	S/N	Estruc subt 3C100T	101,2	100	Cámara	15KV.Cu.2	15KV.Cu.2	3	1	13,8
90	ABC	14289-14288-14287	Banco de 3 transformadores en cabina	699.664,66	9.557.485,42	S/N	Estruc subt OID	314,1	300	Cámara	15KV.Cu.2	Des.Cu.2	3	1	13,8
91	ABC	7377	Transformador Trifásico en poste	699568,4	9557508,1	8184	3VPT,5EP	90,26	50	PHC11_500	ACSR.1/0	ACSR.1/0	3	1	13,8
92	ABC	11892	Transformador Monofásico en cabina	699.573,21	9.557.545,54	S/N	Estruc subt 1075T	161,53	75	Cámara	15KV.Cu.4	Des.Cu.4	3	1	13,8
93	ABC	6700	Transformador Trifásico en poste	699486,1	9557503,5	8181	3VPT,5EP, 3VPT	36	75	PHC11_500	ACSR.1/0	ACSR.1/0	3	1	13,8
94	C	12720	Transformador Monofásico	699.520,03	9.557.516,92	S/N	Estruc subt OID	40	25	Cámara	15KV.Cu.1/0	Des.Cu.2	1	1	7,96
95	C	12536	Transformador Monofásico en poste	699.459,99	9.557.511,24	S/N	Estruc subt 1025T	65,64	25	Cámara	15KV.Cu.4	Des.Cu.4	1	1	7,96
96	B	1453	Transformador Monofásico en poste	699443	9557434,6	8187	3VPT,4ER	39	25	PHC11_500	ACSR.1/0	ACSR.4	1	1	13,8
97	ABC	15412	Transformador Trifásico en cabina	699.449,04	9.557.466,15	Pozo 22617	Estruc subt OID	39	100	Cámara	15KV.Cu.2	Des.Cu.2	3	1	13,8
98	A	10524	Transformador Monofásico en cabina	699.417,83	9.557.410,42	S/N	Estruc subt OID	71,1	37,5	Cámara	15KV.Cu.2	Des.Cu.4	3	1	13,8
99	ABC	17108	Padmounted Trifásico exterior	699.424,44	9.557.415,05	S/N	Estruc subt OID	10	50	Cámara	15KV.Cu.2	Des.Cu.4	3	1	13,8
100	A	336	Transformador Monofásico en poste	699450,63	9557355,06	8193	3VPT,4EP	36,69	37,5	PHC11_500	ACSR.1/0	ACSR.2	3	1	13,8
101	AB	10239-10238	Banco de 2 transformadores en poste	699454,27	9557314,58	8194	3VPT,4EP	41	50	PHC11_500	ACSR.1/0	ACSR.2	3	1	13,8
102	ABC	6620	Transformador	699435,76	9557513,89	8177	3VPT,5EP,	80	75	PHC11_500	ACSR.1/0	ACSR.2/0	3	1	13,8

			Trifásico en poste				5EP,3VPT								
103	A	10462	Transformador Monofásico en poste	699409,1	9557500,5	8179	3VRT,5ER,5ER	55,13	25	PHC11_500	ACSR.2/0	ACSR.2/0	3	1	13,8
104	C	11920	Transformador Monofásico en poste	699.392,29	9.557.512,03	S/N	Estruc subt 1025T	27,82	25	Cámara	15KV.Cu.2	Des.Cu.2	1	1	7,96
105	ABC	14536	Transformador Trifásico en cabina	699.495,95	9.557.606,13	S/N	Estruc subt OID	202	100	Cámara	15KV.Cu.2	15KV.Cu.2	3	1	13,8
106	C	7608	Transformador Monofásico	699.410,11	9.557.609,00	S/N	Estruc subt OID	90,87	37,5	Cámara	15KV.Cu.2	Des.Cu.4	1	1	7,96
107	ABC	6701	Transformador Trifásico en cabina	699.442,69	9.557.639,88	S/N	Estruc subt OID	48	75	Cámara	15KV.Cu.2	Des.Cu.2	3	1	13,8
108	ABC	13128	Transformador Trifásico en cabina	699.442,61	9.557.654,69	S/N	Estruc subt OID	10	75	Cámara	15KV.Cu.4	Des.Cu.2	3	1	13,8
109	ABC	15471	Padmounted Trifásico exterior	699.428,82	9.557.663,13	Pozo 11984	Estruc subt OID	25	150	Cámara	15KV.Cu.2	Des.Cu.2	3	1	13,8
110	ABC	15743	Transformador Trifásico en cabina	699.461,76	9.557.620,40	S/N	Estruc subt OID	91,3	75	Cámara	15KV.Cu.2	Des.Cu.4	3	1	13,8
111	ABC	8592	Transformador Trifásico en cabina	699.498,22	9.557.641,02	S/N	Estruc subt OID	10	75	Cámara	15KV.Cu.2	Des.Cu.4	3	1	13,8
112	ABC	8217	Transformador Trifásico en cabina	699.508,07	9.557.677,15	S/N	Estruc subt OID	107	150	Cámara	15KV.Cu.2	Des.Cu.2	3	1	13,8
113	ABC	8074	Transformador Trifásico en cabina	699.507,88	9.557.677,36	S/N	Estruc subt OID	10	100	Cámara	15KV.Cu.2	Des.Cu.2	3	1	13,8
114	A	8077	Transformador Monofásico en cabina	699.516,94	9.557.680,10	S/N	Estruc subt OID	12	50	Cámara	15KV.Cu.2	Des.Cu.2	1	1	7,96

Fuente: El autor

k.3 ANEXO 3. MUESTRA DE DATOS TABULADOS DURANTE EL PERIODO DE EVALUACIÓN

Tabla 13. Muestra de datos tabulados

JUNIO 01/06/2012		JUNIO 30/06/2012		
Timestamp	SCAYESC1JSALPP_VAL0	SCAYESC1JSALPQ_VAL0	SCAYESC1_S	SCAYESC1FP
01/06/2012 0:00	743,0500198	361,241493	826,2074487	0,899350425
01/06/2012 0:14	698,751793	347,530137	780,4045517	0,895371242
01/06/2012 0:15	698,751793	347,530137	780,4045517	0,895371242
01/06/2012 0:30	696,6423536	340,1470992	775,2487458	0,898604941
01/06/2012 0:44	670,2743614	351,7490158	756,9643913	0,88547674
01/06/2012 0:45	670,2743614	351,7490158	756,9643913	0,88547674
01/06/2012 1:00	690,3140355	358,0773339	777,6585656	0,887682675
01/06/2012 1:14	648,125248	347,530137	735,4206505	0,881298679
01/06/2012 1:15	648,125248	347,530137	735,4206505	0,881298679
01/06/2012 1:30	647,0705283	365,4603717	743,1430225	0,870721394
01/06/2012 1:45	620,7025361	340,1470992	707,7935345	0,876954233
01/06/2012 1:59	624,9214148	345,4206977	714,0323754	0,875200392
01/06/2012 2:00	624,9214148	345,4206977	714,0323754	0,875200392
01/06/2012 2:15	624,9214148	353,8584552	718,1521991	0,87017963
01/06/2012 2:29	588,0062258	340,1470992	679,3021203	0,865603401
01/06/2012 2:30	588,0062258	340,1470992	679,3021203	0,865603401
01/06/2012 2:45	601,7175817	352,8037355	697,5202677	0,86265247
01/06/2012 3:00	580,623188	324,3263039	665,0645366	0,87303285
01/06/2012 3:14	600,662862	333,8187811	687,1905503	0,874084869
01/06/2012 3:15	600,662862	333,8187811	687,1905503	0,874084869
01/06/2012 3:30	576,4043092	323,2715842	660,8679481	0,872192865
01/06/2012 3:44	594,3345439	327,490463	678,589385	0,875838257
01/06/2012 3:45	594,3345439	327,490463	678,589385	0,875838257
01/06/2012 4:00	583,787347	320,1074252	665,7900797	0,876833952
01/06/2012 4:15	579,5684683	327,490463	665,6948346	0,87062185
01/06/2012 4:29	558,4740745	317,9979858	642,6632173	0,868999593
01/06/2012 4:30	558,4740745	317,9979858	642,6632173	0,868999593
01/06/2012 4:45	598,5534227	334,8735008	685,8618383	0,872702619
01/06/2012 4:59	567,9665517	315,8885464	649,901206	0,873927524

01/06/2012 5:00	567,9665517	315,8885464	649,901206	0,873927524
01/06/2012 5:15	608,0458998	319,0527055	686,6690944	0,885500607
01/06/2012 5:29	610,1553392	310,614948	684,6686672	0,891168778
01/06/2012 5:30	595,3892636	310,614948	671,5430151	0,886598848
01/06/2012 5:45	628,0855739	320,1074252	704,9540778	0,890959558
01/06/2012 6:00	636,5233314	314,8338267	710,1283615	0,896349683
01/06/2012 6:14	679,7668386	301,1224708	743,4767631	0,914308116
01/06/2012 6:15	679,7668386	301,1224708	743,4767631	0,914308116
01/06/2012 6:30	712,4631489	299,0130314	772,6658602	0,922084417
01/06/2012 6:44	753,5972167	316,9432661	817,5339742	0,921793149
01/06/2012 6:45	753,5972167	316,9432661	817,5339742	0,921793149
01/06/2012 7:00	756,7613758	286,3563952	809,1277803	0,935280427
01/06/2012 7:14	831,6464736	320,1074252	891,1254798	0,933254062
01/06/2012 7:15	831,6464736	320,1074252	891,1254798	0,933254062
01/06/2012 7:30	855,9050264	307,4507889	909,4500546	0,941123729
01/06/2012 7:45	917,0787683	325,3810236	973,0910943	0,942438764
01/06/2012 7:59	916,0240486	311,6696677	967,5939434	0,946702958
01/06/2012 8:00	916,0240486	311,6696677	967,5939434	0,946702958
01/06/2012 8:14	1019,386578	362,2962127	1081,853752	0,942259132
01/06/2012 8:15	1019,386578	362,2962127	1081,853752	0,942259132
01/06/2012 8:30	1071,067843	360,1867733	1130,009219	0,947839915
01/06/2012 8:45	1139,624622	353,8584552	1193,297987	0,955020988
01/06/2012 8:59	1148,06238	365,4603717	1204,827171	0,952885532
01/06/2012 9:00	1143,843501	365,4603717	1200,807744	0,952561729
01/06/2012 9:15	1181,81341	366,5150914	1237,342413	0,955122363
01/06/2012 9:29	1258,807947	379,1717277	1314,67435	0,95750552
01/06/2012 9:30	1258,807947	379,1717277	1314,67435	0,95750552
01/06/2012 9:45	1289,394818	380,2264473	1344,288343	0,959165364
01/06/2012 10:00	1315,76281	402,3755608	1375,913465	0,956283112
01/06/2012 10:14	1304,160894	398,156682	1363,58512	0,956420596
01/06/2012 10:15	1304,160894	398,156682	1363,58512	0,956420596
01/06/2012 10:29	1308,379772	417,1416364	1373,267918	0,9527491
01/06/2012 10:30	1308,379772	417,1416364	1373,267918	0,9527491
01/06/2012 10:45	1282,01178	408,7038789	1345,582798	0,952755774
01/06/2012 10:59	1334,747765	413,9774773	1397,472342	0,955115693

01/06/2012 11:00	1334,747765	413,9774773	1397,472342	0,955115693
01/06/2012 11:45	1401,195105	411,868038	1460,473554	0,959411487
01/06/2012 11:59	1386,429029	424,5246742	1449,967811	0,956179178
01/06/2012 12:00	1386,429029	424,5246742	1449,967811	0,956179178
01/06/2012 12:14	1314,70809	392,8830836	1372,156872	0,958132498
01/06/2012 12:15	1314,70809	392,8830836	1372,156872	0,958132498
01/06/2012 12:30	1372,717673	422,4152348	1436,24108	0,955771069
01/06/2012 12:44	1294,668416	394,992523	1353,582433	0,956475487
01/06/2012 12:45	1294,668416	394,992523	1353,582433	0,956475487
01/06/2012 13:00	1240,877712	403,4302805	1304,811668	0,951001392
01/06/2012 13:14	1162,828455	388,6642048	1226,062756	0,948424907
01/06/2012 13:15	1162,828455	388,6642048	1226,062756	0,948424907
01/06/2012 13:30	1137,515183	389,7189245	1202,423233	0,946018965
01/06/2012 13:44	1121,694388	387,6094852	1186,776901	0,94516028
01/06/2012 13:45	1121,694388	387,6094852	1186,776901	0,94516028
01/06/2012 14:00	1129,077425	383,3906064	1192,39431	0,946899374
01/06/2012 14:14	1191,305887	404,4850002	1258,100883	0,946908076
01/06/2012 14:15	1191,305887	404,4850002	1258,100883	0,946908076
01/06/2012 14:30	1203,962523	390,7736442	1265,792162	0,951153403
01/06/2012 14:44	1200,798364	390,7736442	1262,78294	0,950914307
01/06/2012 14:45	1200,798364	390,7736442	1262,78294	0,950914307
01/06/2012 15:00	1292,558977	412,9227577	1356,913377	0,952572949
01/06/2012 15:14	1284,12122	380,2264473	1339,23092	0,95884974
01/06/2012 15:15	1284,12122	380,2264473	1339,23092	0,95884974
01/06/2012 15:29	1304,160894	376,0075686	1357,283068	0,960861388
01/06/2012 15:30	1304,160894	376,0075686	1357,283068	0,960861388
01/06/2012 15:45	1314,70809	396,0472427	1373,066197	0,957497966
01/06/2012 15:59	1351,62328	386,5547655	1405,812959	0,961453137
01/06/2012 16:00	1351,62328	386,5547655	1405,812959	0,961453137
01/06/2012 16:15	1365,334635	392,8830836	1420,737761	0,961003975
01/06/2012 16:29	1364,279916	401,3208411	1422,082313	0,959353691
01/06/2012 16:30	1373,772393	401,3208411	1431,191463	0,959880231
01/06/2012 16:45	1372,717673	396,0472427	1428,708238	0,960810358
01/06/2012 16:59	1342,130802	408,7038789	1402,980382	0,956628346
01/06/2012 17:00	1342,130802	408,7038789	1402,980382	0,956628346

01/06/2012 17:15	1350,56856	403,4302805	1409,53589	0,958165428
01/06/2012 17:29	1329,474166	370,7339702	1380,197535	0,963249196
01/06/2012 17:30	1329,474166	370,7339702	1380,197535	0,963249196
01/06/2012 17:45	1313,653371	370,7339702	1364,964782	0,962408253
01/06/2012 17:59	1384,31959	396,0472427	1439,859071	0,961427141
01/06/2012 18:00	1379,045991	396,0472427	1434,789624	0,961148567
01/06/2012 18:15	1417,0159	397,1019623	1471,605936	0,962904447
01/06/2012 18:29	1479,244362	411,868038	1535,512671	0,96335536
01/06/2012 18:30	1479,244362	411,868038	1535,512671	0,96335536
01/06/2012 18:45	1433,891415	383,3906064	1484,261752	0,96606371
01/06/2012 18:59	1423,344218	371,7886898	1471,10013	0,96753728
01/06/2012 19:00	1423,344218	371,7886898	1471,10013	0,96753728
01/06/2012 19:15	1354,787439	370,7339702	1404,596981	0,964538196
01/06/2012 19:29	1340,021363	367,5698111	1389,519636	0,964377421
01/06/2012 19:30	1340,021363	367,5698111	1389,519636	0,964377421
01/06/2012 19:45	1306,270333	374,9528489	1359,018698	0,961186432
01/06/2012 19:59	1255,643788	359,1320536	1305,992785	0,961447722
01/06/2012 20:00	1248,26075	359,1320536	1298,895967	0,961016727
01/06/2012 20:15	1193,415326	347,530137	1242,987264	0,960118709
01/06/2012 20:29	1202,907804	367,5698111	1257,81348	0,956348316
01/06/2012 20:30	1202,907804	367,5698111	1257,81348	0,956348316
01/06/2012 20:45	1182,86813	353,8584552	1234,663038	0,958049357
01/06/2012 20:59	1150,171819	374,9528489	1209,74578	0,950754975
01/06/2012 21:00	1150,171819	374,9528489	1209,74578	0,950754975
01/06/2012 21:15	1118,530229	362,2962127	1175,741646	0,951340146
01/06/2012 21:30	1088,998077	371,7886898	1150,714405	0,946366946
01/06/2012 21:44	1051,028169	387,6094852	1120,223783	0,938230543
01/06/2012 21:45	1051,028169	387,6094852	1120,223783	0,938230543
01/06/2012 22:00	1019,386578	345,4206977	1076,319866	0,947103747
01/06/2012 22:14	980,3619495	354,9131748	1042,627888	0,940279807
01/06/2012 22:15	980,3619495	354,9131748	1042,627888	0,940279807
01/06/2012 22:30	930,7901242	352,8037355	995,4098307	0,93508231
01/06/2012 22:44	898,0938139	351,7490158	964,5205382	0,931129798
01/06/2012 22:45	909,6957305	351,7490158	975,3326059	0,932703085
01/06/2012 23:00	850,631428	344,365978	917,6937142	0,926923019

01/06/2012 23:15	820,044557	360,1867733	895,6604196	0,9155753
01/06/2012 23:29	783,129368	344,365978	855,4995814	0,915405904
01/06/2012 23:30	783,129368	344,365978	855,4995814	0,915405904
01/06/2012 23:45	781,0199286	372,8434095	865,4503665	0,902443351
01/06/2012 23:59	774,6916105	387,6094852	866,2495046	0,894305401
02/06/2012 0:00	774,6916105	387,6094852	866,2495046	0,894305401
02/06/2012 0:15	764,1444136	380,2264473	853,5155746	0,895290533
02/06/2012 0:30	698,751793	350,6942961	781,8187498	0,893751644
02/06/2012 0:44	690,3140355	341,2018189	770,0338621	0,89647231
02/06/2012 0:45	678,7121189	341,2018189	759,6504601	0,893453179
02/06/2012 1:00	672,3838008	321,1621448	745,1477027	0,902349693
02/06/2012 1:14	672,3838008	339,0923795	753,0495451	0,892881226
02/06/2012 1:15	672,3838008	339,0923795	753,0495451	0,892881226
02/06/2012 1:30	663,9460433	342,2565386	746,969803	0,888852589
02/06/2012 1:44	652,3441267	336,9829402	734,2413511	0,888460076
02/06/2012 1:45	652,3441267	336,9829402	734,2413511	0,888460076
02/06/2012 2:00	621,7572558	325,3810236	701,7513061	0,886007978
02/06/2012 2:14	613,3194983	326,4357433	694,7813336	0,882751837
02/06/2012 2:15	613,3194983	326,4357433	694,7813336	0,882751837
02/06/2012 2:30	600,662862	319,0527055	680,1400611	0,883145835
02/06/2012 2:44	598,5534227	320,1074252	678,7746043	0,881814698
02/06/2012 2:45	598,5534227	320,1074252	678,7746043	0,881814698
02/06/2012 3:00	574,2948698	316,9432661	655,9478877	0,875519047
02/06/2012 3:14	589,0609455	328,5451827	674,4884984	0,873344685
02/06/2012 3:15	589,0609455	328,5451827	674,4884984	0,873344685
02/06/2012 3:30	550,036317	296,903592	625,0533521	0,879982989
02/06/2012 3:44	561,6382336	309,5602283	641,2994935	0,875781502
02/06/2012 3:45	561,6382336	309,5602283	641,2994935	0,875781502
02/06/2012 4:00	602,7723014	328,5451827	686,4957279	0,87804232
02/06/2012 4:15	560,5835139	308,5055086	639,8668025	0,876094074
02/06/2012 4:29	582,7326273	316,9432661	663,347834	0,878472194
02/06/2012 4:30	582,7326273	316,9432661	663,347834	0,878472194
02/06/2012 4:45	567,9665517	306,3960692	645,3406504	0,880103479
02/06/2012 4:59	590,1156652	324,3263039	673,3676928	0,876364684
02/06/2012 5:00	590,1156652	324,3263039	673,3676928	0,876364684

02/06/2012 5:15	563,747673	302,1771905	639,626839	0,881369634
02/06/2012 5:29	563,747673	301,1224708	639,1292367	0,882055836
02/06/2012 5:30	563,747673	301,1224708	639,1292367	0,882055836
02/06/2012 5:45	605,9364605	316,9432661	683,8216347	0,886103086
02/06/2012 6:00	603,8270211	317,9979858	682,4439833	0,884800857
02/06/2012 6:14	855,9050264	518,3947264	1000,65304	0,855346451
02/06/2012 6:15	855,9050264	518,3947264	1000,65304	0,855346451
02/06/2012 6:30	1098,490555	597,498703	1250,474389	0,878459058
02/06/2012 6:44	1131,186865	615,4289377	1287,764148	0,878411522
02/06/2012 6:45	1131,186865	615,4289377	1287,764148	0,878411522
02/06/2012 7:00	1195,524766	581,6779077	1329,521964	0,899214002
02/06/2012 7:15	1274,628742	574,2948698	1398,031841	0,911730838
02/06/2012 7:29	1268,300424	594,3345439	1400,649676	0,905508669
02/06/2012 7:30	1268,300424	594,3345439	1400,649676	0,905508669
02/06/2012 7:45	1356,896878	615,4289377	1489,940239	0,910705572
02/06/2012 7:59	1357,951598	590,1156652	1480,631298	0,917143653
02/06/2012 8:00	1357,951598	590,1156652	1480,631298	0,917143653
02/06/2012 8:15	1509,831233	685,040437	1657,971879	0,910649482
02/06/2012 8:29	1520,37843	695,5876339	1671,9428	0,909348352
02/06/2012 8:30	1520,37843	695,5876339	1671,9428	0,909348352
02/06/2012 8:44	1657,491989	731,4481033	1811,710799	0,914876695
02/06/2012 8:45	1657,491989	731,4481033	1811,710799	0,914876695
02/06/2012 9:00	1719,72045	711,4084292	1861,058941	0,924054802
02/06/2012 9:14	1822,02826	713,5178686	1956,756175	0,931147316
02/06/2012 9:15	1822,02826	713,5178686	1956,756175	0,931147316
02/06/2012 9:30	1881,092563	729,3386639	2017,534167	0,932372097
02/06/2012 9:45	1869,490646	752,542497	2015,270574	0,927662355
02/06/2012 9:59	1450,76693	615,4289377	1575,905284	0,920592719
02/06/2012 10:00	1450,76693	615,4289377	1575,905284	0,920592719
02/06/2012 10:15	1113,25663	383,3906064	1177,424597	0,945501421
02/06/2012 10:29	1153,335978	408,7038789	1223,610534	0,942567873
02/06/2012 10:30	1153,335978	408,7038789	1223,610534	0,942567873
02/06/2012 10:45	1099,545274	388,6642048	1166,215964	0,94283161
02/06/2012 10:59	1150,171819	416,0869167	1223,120409	0,940358619
02/06/2012 11:00	1150,171819	416,0869167	1223,120409	0,940358619

02/06/2012 11:15	1158,609577	415,032197	1230,702188	0,941421562
02/06/2012 11:29	1165,992615	415,032197	1237,655243	0,942098069
02/06/2012 11:30	1165,992615	422,4152348	1240,150558	0,940202467
02/06/2012 11:45	1121,694388	416,0869167	1196,380634	0,937573173
02/06/2012 11:59	1162,828455	424,5246742	1237,897902	0,93935732
02/06/2012 12:00	1162,828455	424,5246742	1237,897902	0,93935732
02/06/2012 12:15	1147,00766	400,2661214	1214,841364	0,9441625
02/06/2012 12:29	1117,475509	416,0869167	1192,426029	0,937144512
02/06/2012 12:30	1117,475509	416,0869167	1192,426029	0,937144512
02/06/2012 12:45	1137,515183	400,2661214	1205,882979	0,943304784
02/06/2012 12:59	1129,077425	423,4699545	1205,878367	0,936311204
02/06/2012 13:00	1129,077425	423,4699545	1205,878367	0,936311204
02/06/2012 13:15	1018,331858	405,5397198	1096,112329	0,92903969
02/06/2012 13:29	1046,80929	416,0869167	1126,471487	0,929281657
02/06/2012 13:30	1046,80929	406,5944395	1122,999879	0,93215441
02/06/2012 13:45	996,1827448	415,032197	1079,181072	0,92309138
02/06/2012 13:59	989,8544267	419,2510758	1074,980582	0,920811449
02/06/2012 14:00	989,8544267	419,2510758	1074,980582	0,920811449
02/06/2012 14:15	971,924192	406,5944395	1053,544339	0,922528038
02/06/2012 14:30	1015,167699	407,6491592	1093,957629	0,927977165
02/06/2012 14:44	968,760033	386,5547655	1043,034318	0,928790181
02/06/2012 14:45	963,4864345	386,5547655	1038,138091	0,928090822
02/06/2012 14:59	996,1827448	406,5944395	1075,964265	0,925851143
02/06/2012 15:00	996,1827448	406,5944395	1075,964265	0,925851143
02/06/2012 15:15	956,1033967	381,281167	1029,324552	0,928864851
02/06/2012 15:29	960,3222755	396,0472427	1038,784045	0,92446768
02/06/2012 15:30	960,3222755	396,0472427	1038,784045	0,92446768
02/06/2012 15:45	1018,331858	410,8133183	1098,074385	0,927379667
02/06/2012 15:59	1021,496017	413,9774773	1102,193933	0,926784286
02/06/2012 16:00	1021,496017	413,9774773	1102,193933	0,926784286
02/06/2012 16:15	997,2374645	412,9227577	1079,345989	0,923927521
02/06/2012 16:30	971,924192	373,8981292	1041,362783	0,9333195
02/06/2012 16:44	961,3769951	399,2114017	1040,968525	0,923540887
02/06/2012 16:45	961,3769951	399,2114017	1040,968525	0,923540887
02/06/2012 17:00	982,4713889	384,4453261	1055,011014	0,93124278

02/06/2012 17:14	983,5261086	366,5150914	1049,598456	0,937049881
02/06/2012 17:15	983,5261086	366,5150914	1049,598456	0,937049881
02/06/2012 17:30	1000,401624	364,405652	1064,704132	0,93960528
02/06/2012 17:44	1007,784661	362,2962127	1070,928788	0,941037978
02/06/2012 17:45	1007,784661	362,2962127	1070,928788	0,941037978
02/06/2012 18:00	1036,262093	372,8434095	1101,295298	0,94094844
02/06/2012 18:15	1044,69985	354,9131748	1103,340899	0,946851378
02/06/2012 18:29	1148,06238	382,3358867	1210,052874	0,948770425
02/06/2012 18:30	1157,554857	376,0075686	1217,092823	0,95108182

Fuente: El autor

k.4 ANEXO 4. TABLA DE DEMANDA MÁXIMA DEL MES DE OCTUBRE 2011

Tabla 14. Demanda máxima del mes de octubre 2011

HORA	P	Q	S	Fp
0	689	359	777	0,887
1	613	363	713	0,860
2	586	386	701	0,835
3	573	381	688	0,833
4	569	362	675	0,844
5	643	359	736	0,873
6	755	360	836	0,902
7	892	374	967	0,922
8	1144	425	1220	0,938
9	1267	453	1346	0,942
10	1308	462	1388	0,943
11	1336	483	1420	0,941
12	1304	478	1389	0,939
13	1222	481	1313	0,930
14	1238	473	1325	0,934
15	1367	484	1450	0,943
16	1339	464	1417	0,945
17	1402	465	1477	0,949
18	1531	514	1615	0,948
19	1482	473	1556	0,953
20	1294	456	1372	0,943
21	1133	413	1206	0,940
22	1020	418	1103	0,925
23	865	416	960	0,901

Fuente: El autor

Base de datos tomada de la EERSSA

k.5 ANEXO 5. CURVA DE CARGA DE DEMANDA MÁXIMA Y FACTOR DE POTENCIA DEL MES DE OCTUBRE 2011

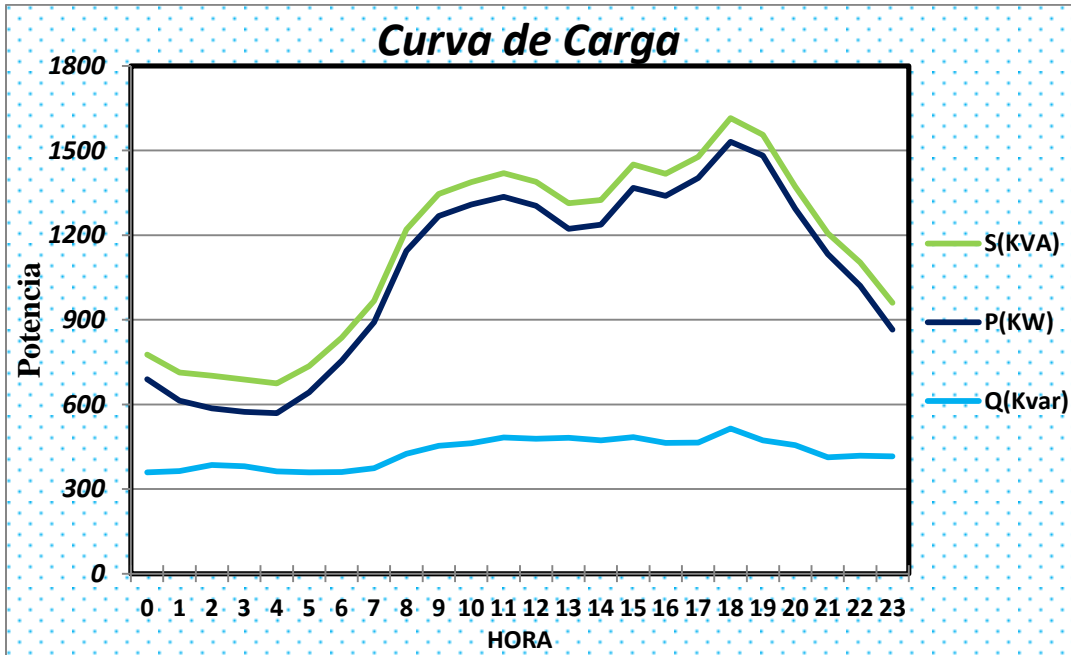


Figura 26. Gráfica de la curva de demanda máxima P, Q, S

Fuente: El autor

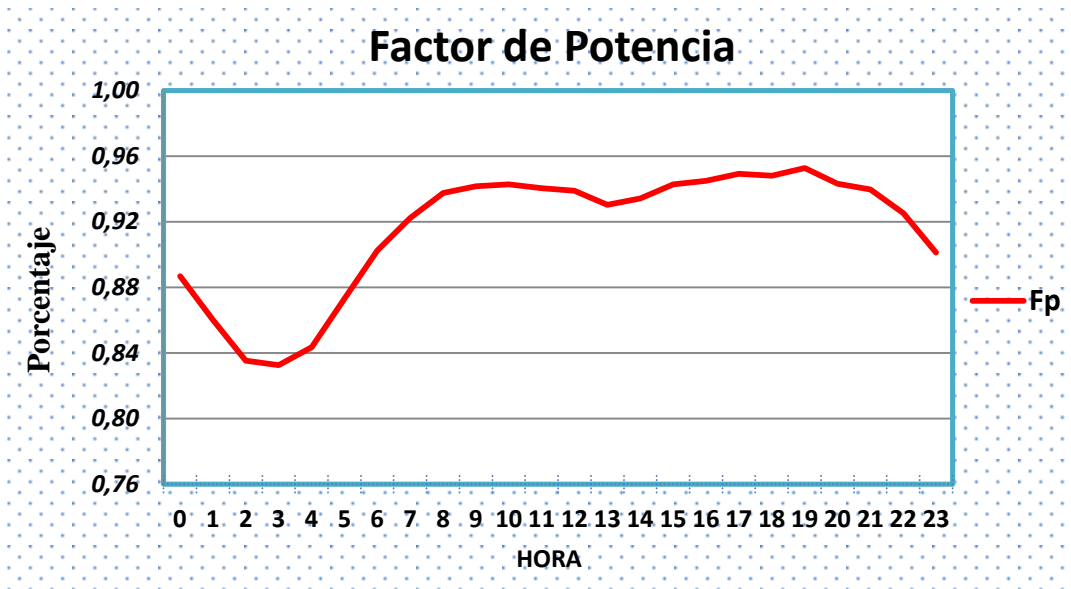


Figura 27. Gráfica del Factor de Potencia.

Fuente: El autor

k.6 ANEXO 6. TABLA DE DEMANDA MÁXIMA DEL MES DE NOVIEMBRE 2011

Tabla 15. Demanda máxima del mes de noviembre 2011

HORA	P	Q	S	Fp
0	706	401	812	0,869
1	610	360	709	0,861
2	589	364	693	0,850
3	576	354	676	0,852
4	585	352	682	0,857
5	608	371	711	0,853
6	725	361	810	0,895
7	892	360	962	0,927
8	1104	411	1178	0,937
9	1267	457	1347	0,941
10	1316	476	1399	0,940
11	1325	476	1408	0,941
12	1323	493	1412	0,937
13	1208	459	1293	0,935
14	1254	451	1332	0,941
15	1354	455	1428	0,948
16	1367	454	1441	0,949
17	1367	457	1442	0,948
18	1545	448	1608	0,960
19	1479	439	1543	0,959
20	1307	420	1373	0,952
21	1207	434	1283	0,941
22	1061	412	1138	0,932
23	876	386	957	0,915

Fuente: El autor

Base de datos tomada de la EERSSA

k.7 ANEXO 7. CURVA DE CARGA DE DEMANDA MÁXIMA Y FACTOR DE POTENCIA DEL MES DE NOVIEMBRE 2011

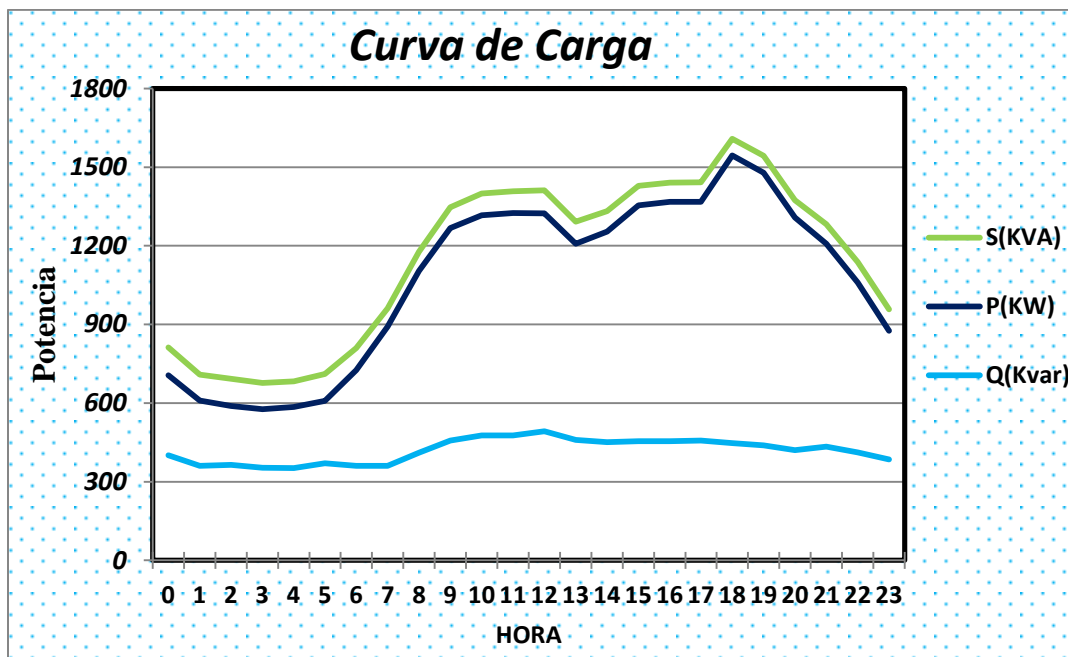


Figura 28. Gráfica de la curva de demanda máxima P, Q, S

Fuente: El autor

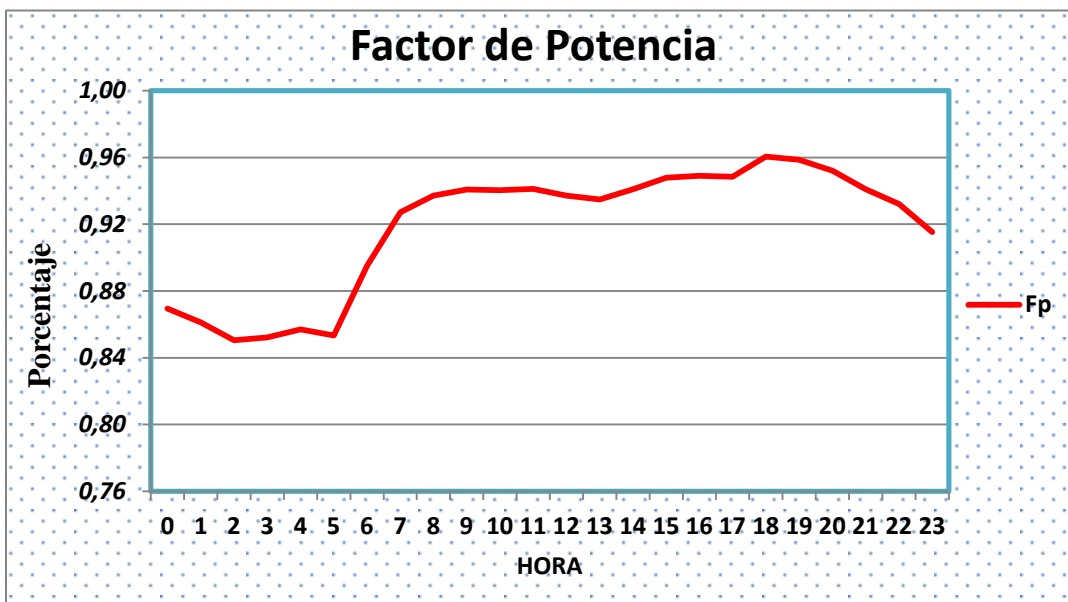


Figura 29. Gráfica del Factor de Potencia.

Fuente: El autor

k.8 ANEXO 8. TABLA DE DEMANDA MÁXIMA DEL MES DE DICIEMBRE 2011

Tabla 16. Demanda máxima del mes de diciembre 2011

HORA	P	Q	S	Fp
0	714	388	812	0,879
1	683	387	785	0,870
2	649	382	753	0,862
3	582	378	694	0,838
4	584	368	690	0,846
5	593	362	695	0,853
6	563	357	666	0,844
7	622	330	704	0,884
8	1725	895	1943	0,888
9	1829	872	2026	0,903
10	1931	914	2136	0,904
11	1907	932	2123	0,899
12	1934	933	2147	0,901
13	779	389	870	0,895
14	779	410	880	0,885
15	767	384	858	0,894
16	768	387	860	0,893
17	819	379	903	0,907
18	1061	381	1127	0,941
19	1070	363	1130	0,947
20	1071	368	1132	0,946
21	1030	364	1092	0,943
22	933	382	1008	0,925
23	779	375	864	0,901

Fuente: El autor

Base de datos tomada de la EERSSA

k.9 ANEXO 9. CURVA DE CARGA DE DEMANDA MÁXIMA Y FACTOR DE POTENCIA DEL MES DE DICIEMBRE 2011

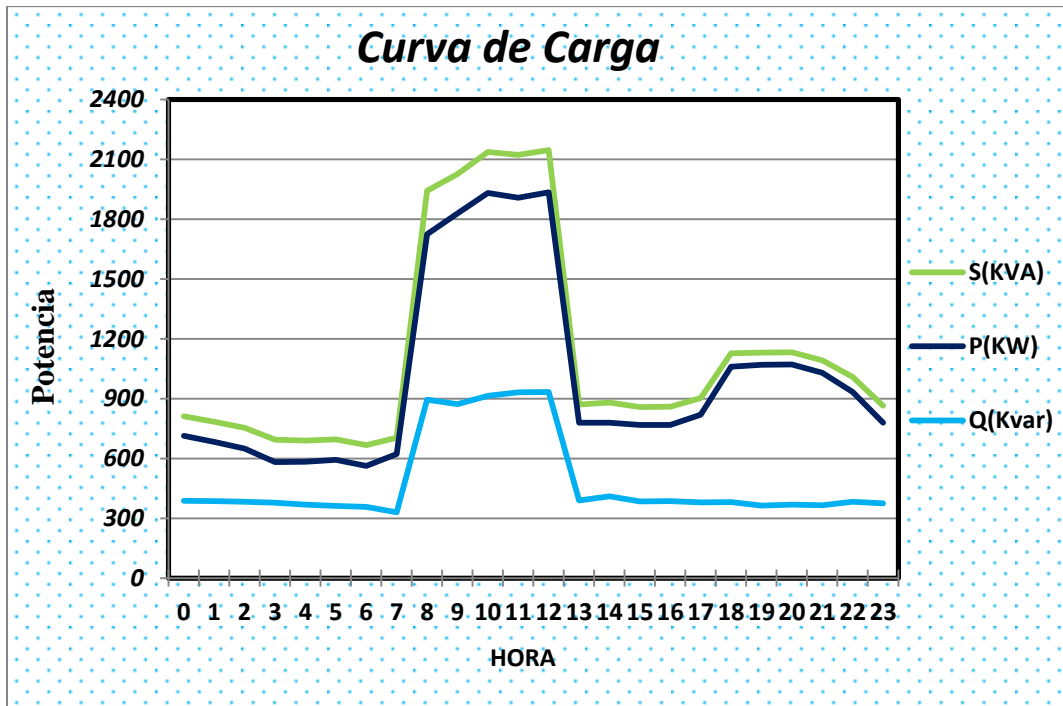


Figura 30. Gráfica de la curva de demanda máxima P, Q, S

Fuente: El autor

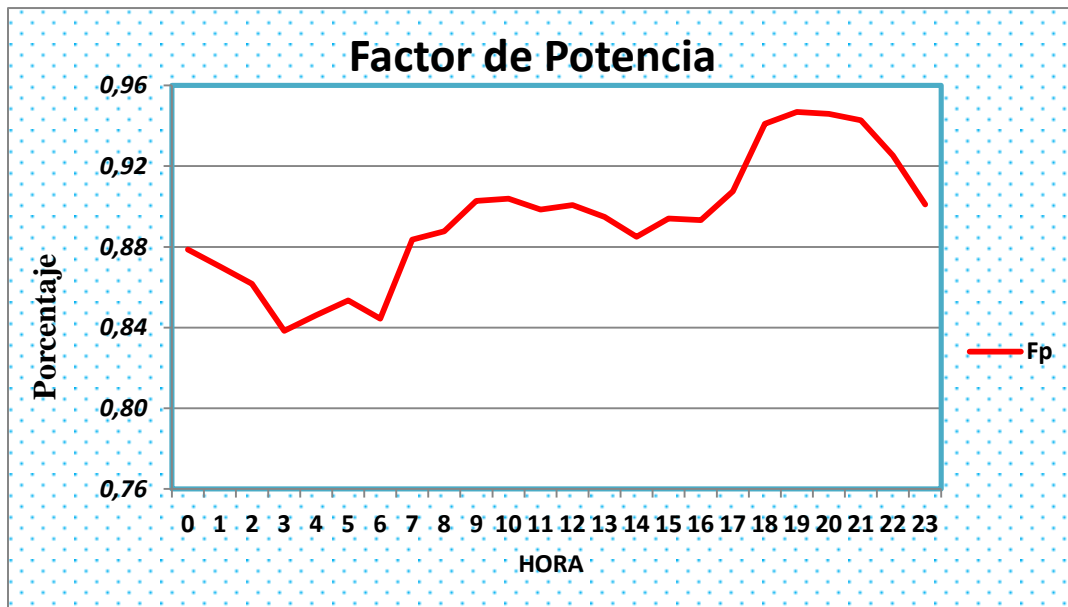


Figura 31. Grafica del Factor de Potencia.

Fuente: El autor

k.10 ANEXO 10. TABLA DE DEMANDA MÁXIMA DEL MES DE ENERO 2012*Tabla 17. Demanda máxima del mes de enero 2012*

HORA	P	Q	S	Fp
0	645	350	734	0,879
1	616	354	711	0,867
2	592	374	700	0,846
3	584	351	681	0,857
4	573	355	674	0,850
5	597	340	688	0,869
6	721	342	798	0,903
7	860	325	920	0,935
8	1138	390	1202	0,946
9	1258	425	1327	0,947
10	1281	421	1348	0,950
11	1331	434	1400	0,951
12	1320	462	1399	0,944
13	1187	435	1264	0,939
14	1139	412	1211	0,940
15	1329	442	1401	0,949
16	1373	437	1441	0,953
17	1377	421	1440	0,956
18	1474	490	1553	0,949
19	1432	436	1497	0,957
20	1258	379	1314	0,957
21	1143	386	1206	0,948
22	1010	354	1070	0,944
23	844	380	926	0,912

Fuente: El autor

Base de datos tomada de la EERSSA

k.11 ANEXO 11. CURVA DE CARGA DE DEMANDA MÁXIMA Y FACTOR DE POTENCIA DEL MES DE ENERO 2012

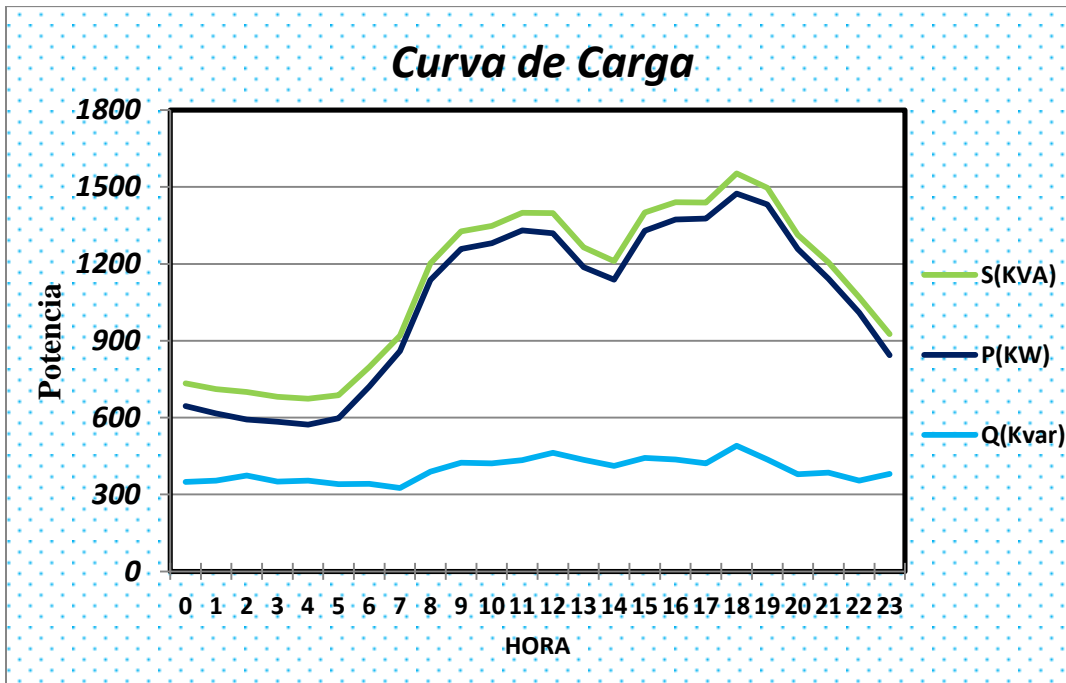


Figura 32. Gráfica de la curva de demanda máxima P, Q, S

Fuente: El autor

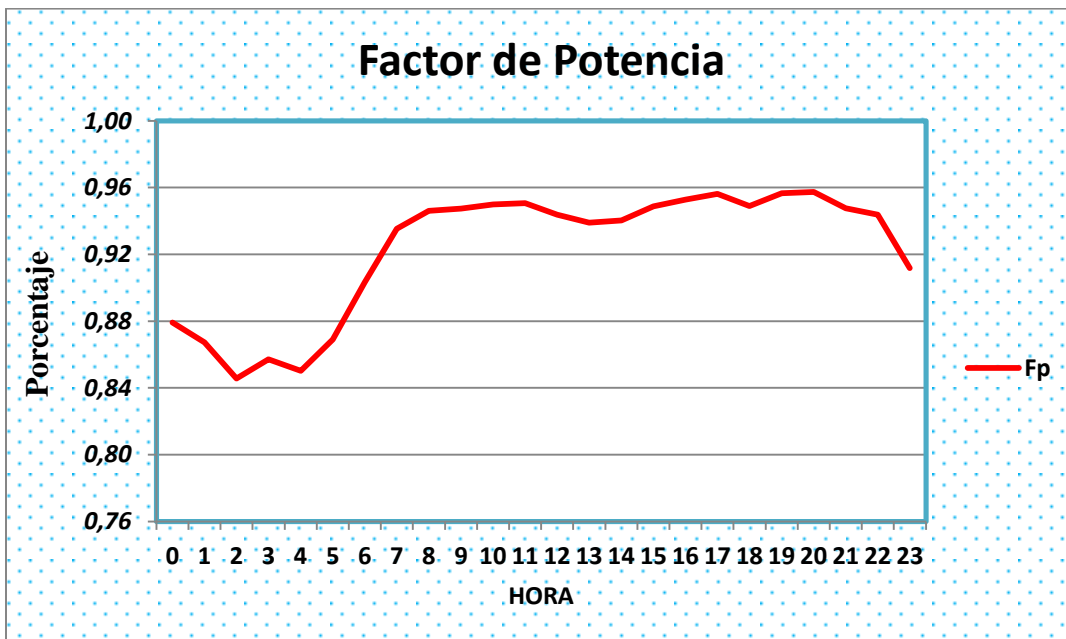


Figura 33. Gráfica del Factor de Potencia.

Fuente: El autor

k.12 ANEXO 12. TABLA DE DEMANDA MÁXIMA DEL MES DE FEBRERO 2012

Tabla 18. Demanda máxima del mes de febrero 2012

HORA	P	Q	S	Fp
0	767	377	855	0,897
1	689	376	785	0,878
2	629	370	730	0,862
3	595	354	693	0,860
4	582	353	680	0,855
5	601	340	690	0,870
6	696	313	763	0,912
7	933	318	986	0,947
8	1161	416	1233	0,941
9	1265	434	1338	0,946
10	1352	455	1426	0,948
11	1386	495	1472	0,942
12	1362	495	1449	0,940
13	1247	486	1338	0,932
14	1259	464	1341	0,938
15	1363	490	1449	0,941
16	1403	470	1480	0,948
17	1404	469	1481	0,949
18	1555	498	1633	0,952
19	1536	462	1604	0,958
20	1269	401	1331	0,953
21	1168	393	1232	0,948
22	1031	393	1103	0,934
23	849	369	925	0,917

Fuente: El autor

Base de datos tomada de la EERSSA

k.13 ANEXO 13. CURVA DE CARGA DE DEMANDA MÁXIMA Y FACTOR DE POTENCIA DEL MES DE FEBRERO 2012

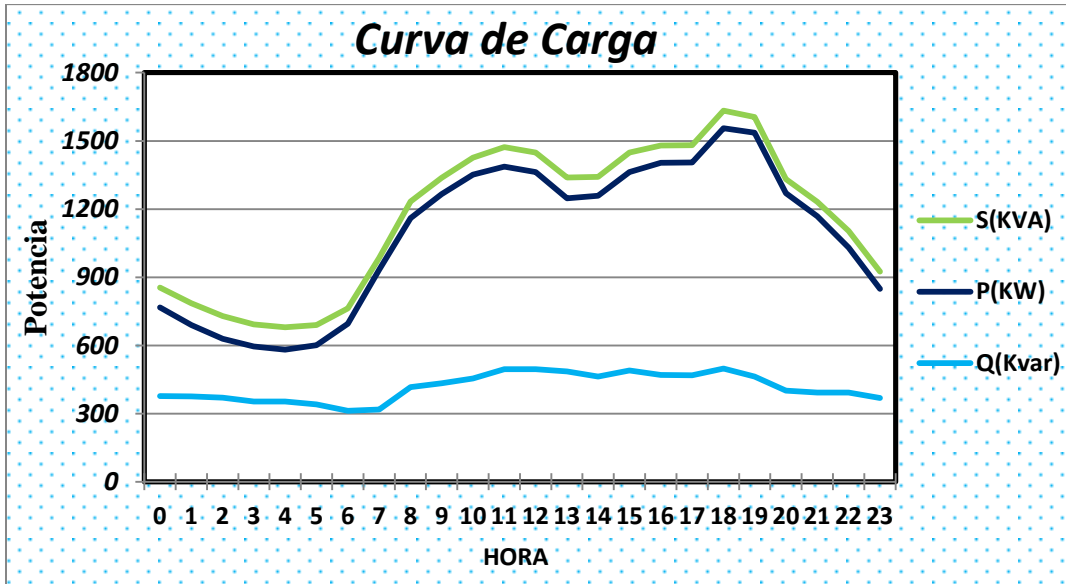


Figura 34. Gráfica de la curva de demanda máxima P, Q, S

Fuente: El autor

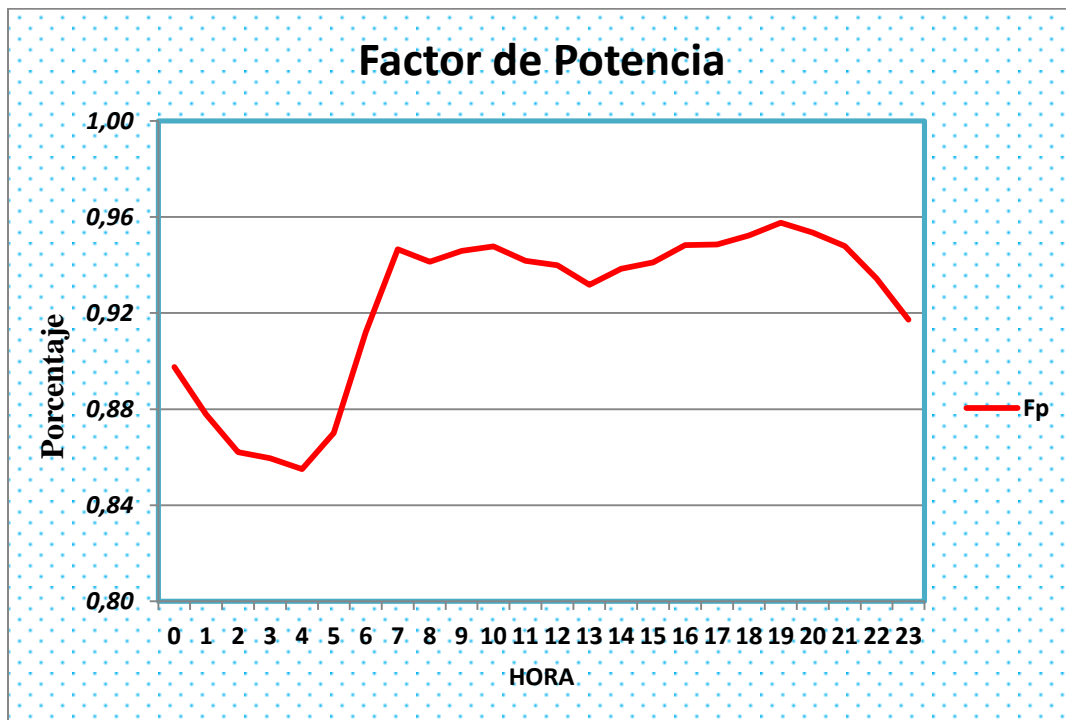


Figura 35. Gráfica del Factor de Potencia.

Fuente: El autor

k.14 ANEXO 14. TABLA DE DEMANDA MÁXIMA DEL MES DE MARZO 2012

Tabla 19. Demanda máxima del mes de marzo 2012

HORA	P	Q	S	Fp
0	714	383	810	0,881
1	622	373	725	0,858
2	584	364	688	0,848
3	593	367	697	0,851
4	588	369	694	0,847
5	621	326	701	0,885
6	775	359	854	0,907
7	892	349	957	0,931
8	1141	417	1215	0,939
9	1283	423	1351	0,950
10	1359	460	1435	0,947
11	1413	467	1488	0,950
12	1364	461	1440	0,947
13	1243	451	1322	0,940
14	1261	437	1335	0,945
15	1359	465	1436	0,946
16	1397	441	1465	0,954
17	1384	440	1453	0,953
18	1516	442	1579	0,960
19	1568	506	1647	0,952
20	1387	441	1456	0,953
21	1194	436	1272	0,939
22	1056	392	1127	0,938
23	882	387	963	0,916

Fuente: El autor

Base de datos tomada de la EERSSA

k.15 ANEXO 15. CURVA DE CARGA DE DEMANDA MÁXIMA Y FACTOR DE POTENCIA DEL MES DE MARZO 2012

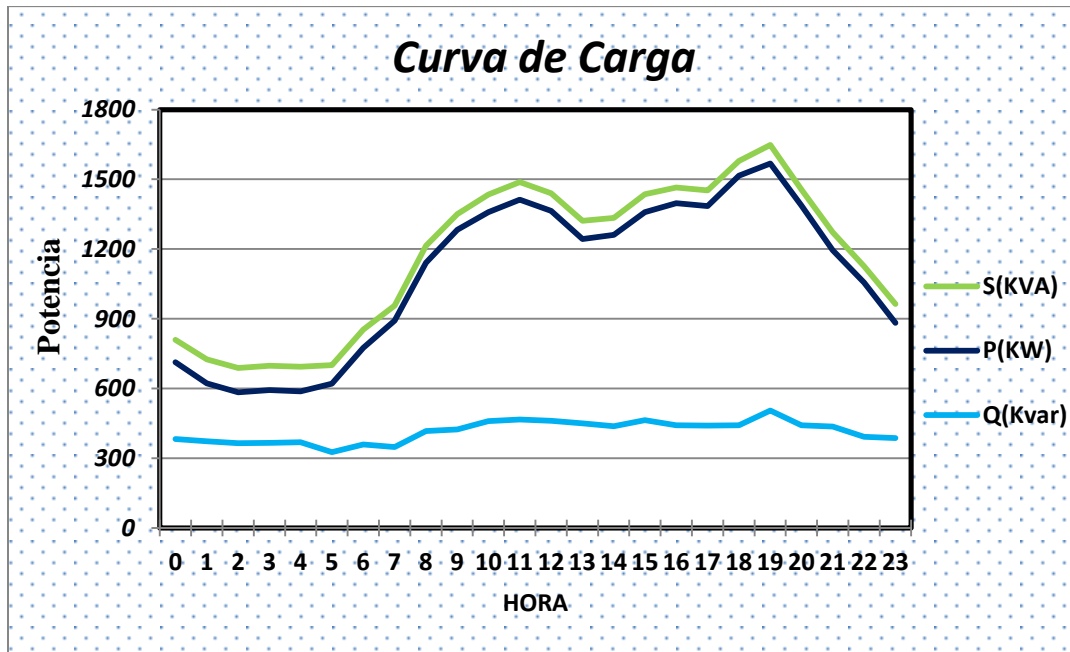


Figura 36. Gráfica de la curva de demanda máxima P, Q, S

Fuente: El autor

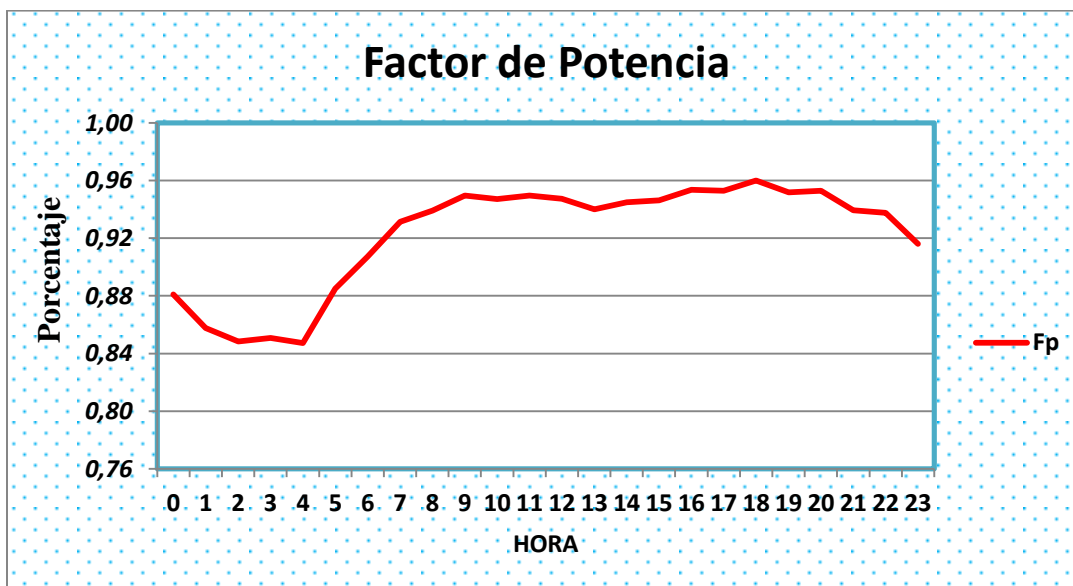


Figura 37. Gráfica del Factor de Potencia.

Fuente: El autor

k.16 ANEXO 16. TABLA DE DEMANDA MÁXIMA DEL MES DE ABRIL 2012

Tabla 20. Demanda máxima del mes de abril 2012

HORA	P	Q	S	Fp
0	714	365	802	0,890
1	628	359	724	0,868
2	602	344	693	0,868
3	577	332	666	0,867
4	573	327	660	0,868
5	629	336	713	0,882
6	762	317	825	0,923
7	913	362	982	0,929
8	1141	420	1216	0,938
9	1276	404	1338	0,953
10	1352	433	1419	0,952
11	1425	451	1495	0,953
12	1375	454	1448	0,950
13	1263	467	1346	0,938
14	1242	469	1327	0,936
15	1355	490	1441	0,940
16	1399	470	1476	0,948
17	1416	489	1498	0,945
18	1591	474	1660	0,958
19	1531	484	1605	0,954
20	1371	439	1439	0,952
21	1175	396	1240	0,948
22	1051	390	1121	0,938
23	872	382	952	0,916

Fuente: El autor

Base de datos tomada de la EERSSA

k.17 ANEXO 17. CURVA DE CARGA DE DEMANDA MÁXIMA Y FACTOR DE POTENCIA DEL MES DE ABRIL 2012

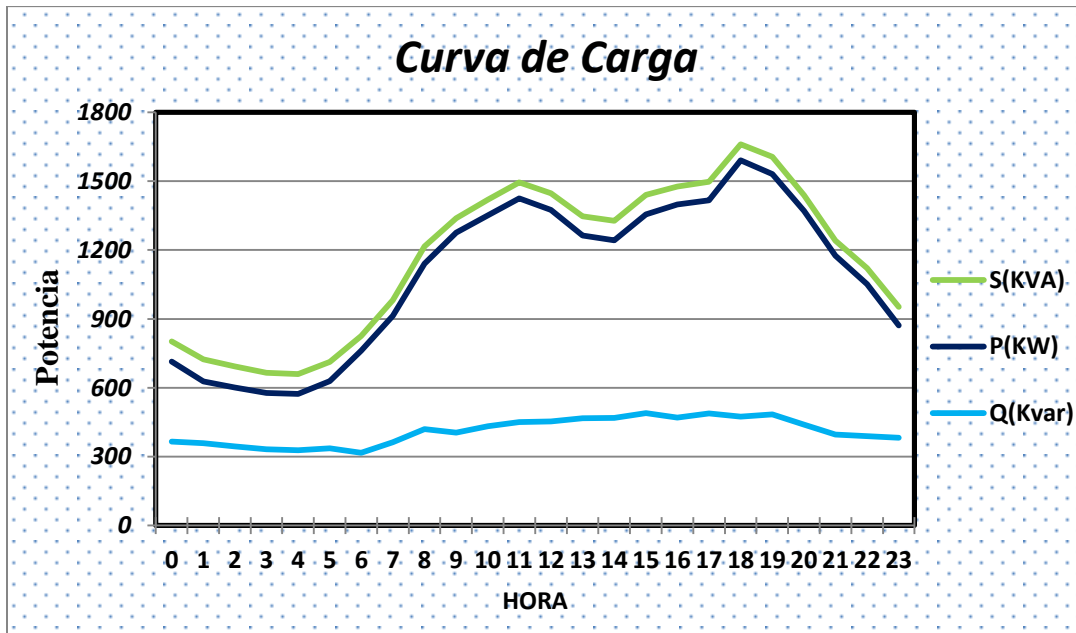


Figura 38. Gráfica de la curva de demanda máxima P, Q, S

Fuente: El autor

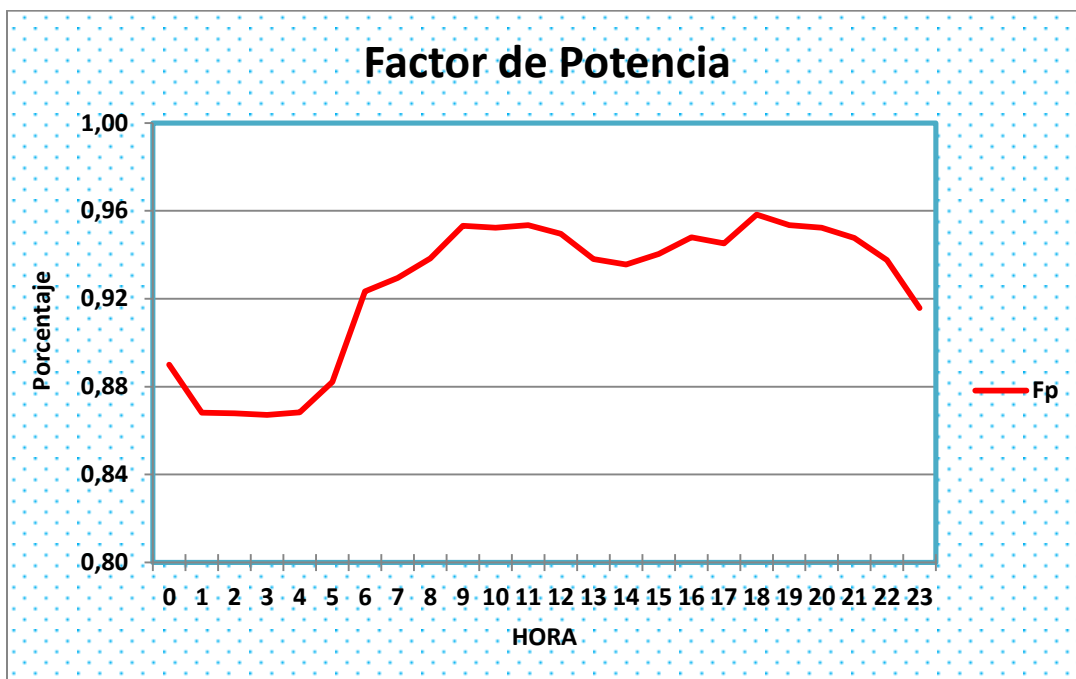


Figura 39. Gráfica del Factor de Potencia.

Fuente: El autor

k.18 ANEXO 18. TABLA DE DEMANDA MÁXIMA DEL MES DE MAYO 2012

Tabla 21. Demanda máxima del mes de mayo 2012

HORA	P	Q	S	Fp
0	724	359	808	0,896
1	661	355	750	0,881
2	601	338	689	0,871
3	592	340	683	0,867
4	593	341	684	0,867
5	604	338	692	0,873
6	748	333	819	0,914
7	929	335	987	0,941
8	1186	412	1256	0,945
9	1301	428	1369	0,950
10	1355	458	1430	0,947
11	1395	445	1464	0,953
12	1371	466	1448	0,947
13	1273	456	1352	0,941
14	1312	464	1391	0,943
15	1400	477	1479	0,947
16	1409	487	1490	0,945
17	1397	496	1482	0,942
18	1583	442	1643	0,963
19	1521	446	1585	0,960
20	1332	382	1385	0,961
21	1238	392	1298	0,953
22	1125	398	1193	0,943
23	945	402	1027	0,920

Fuente: El autor

Base de datos tomada de la EERSSA

k.19 ANEXO 19. CURVA DE CARGA DE DEMANDA MÁXIMA Y FACTOR DE POTENCIA DEL MES DE MAYO 2012

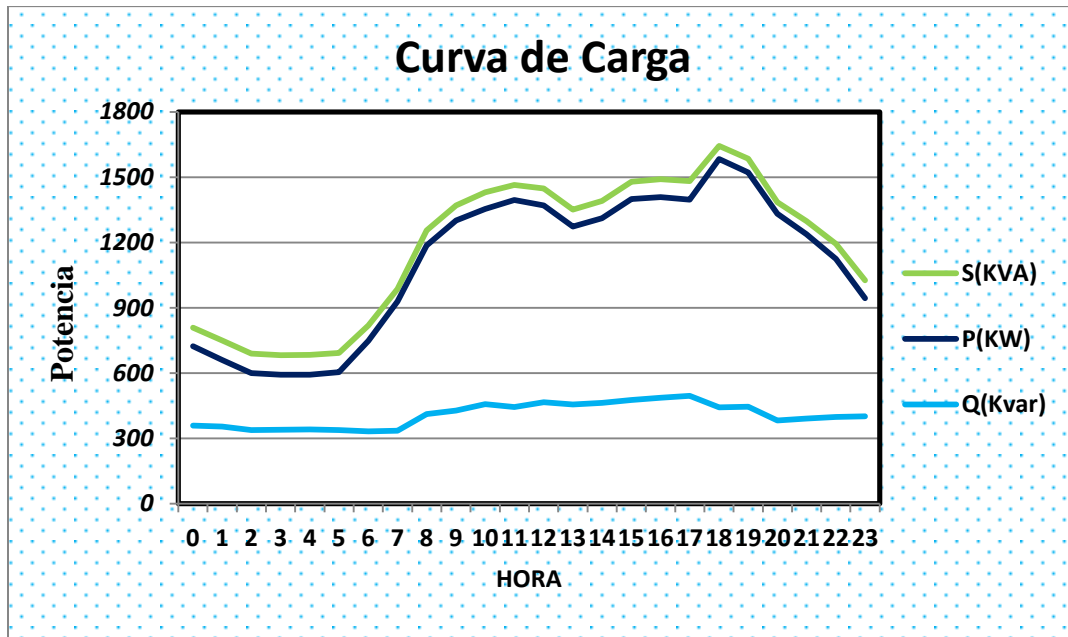


Figura 40. Gráfica de la curva de demanda máxima P, Q, S

Fuente: El autor

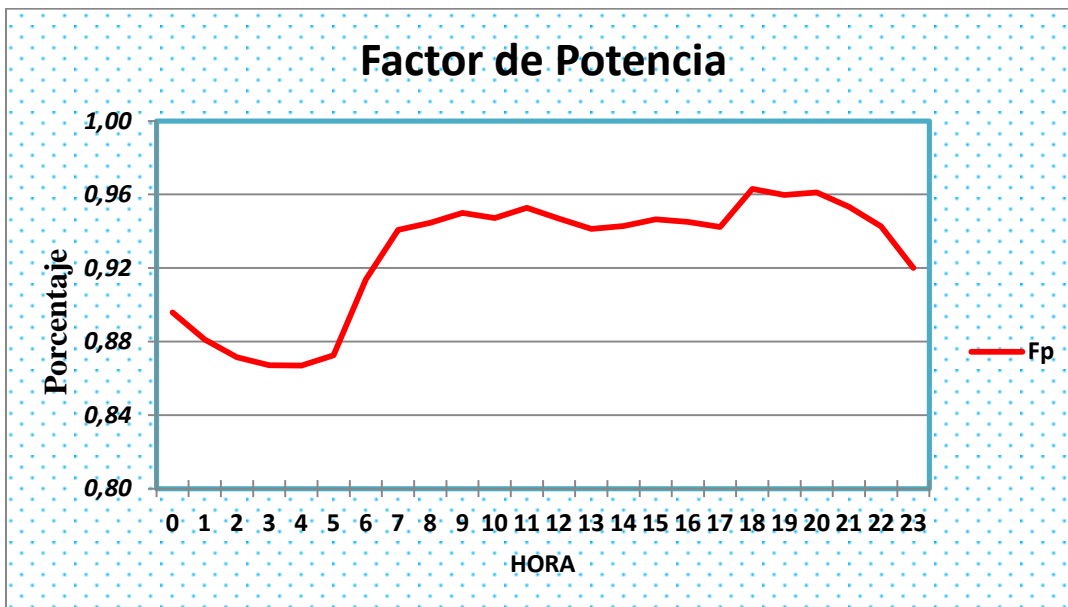


Figura 41. Gráfica del Factor de Potencia.

Fuente: El autor

k.20 ANEXO 20. TABLA DE DEMANDA MÁXIMA DEL MES DE JUNIO 2012

Tabla 22. Demanda máxima del mes de junio 2012

HORA	P	Q	S	Fp
0	726	343	803	0,904
1	658	368	753	0,873
2	625	358	720	0,868
3	593	359	694	0,855
4	602	356	699	0,861
5	612	318	690	0,887
6	740	327	809	0,914
7	902	329	960	0,940
8	2415	686	2510	0,962
9	2613	723	2711	0,964
10	1354	438	1423	0,951
11	1392	491	1476	0,943
12	1391	486	1473	0,944
13	1237	449	1316	0,940
14	1256	450	1334	0,941
15	1344	455	1419	0,947
16	1424	488	1506	0,946
17	1357	498	1446	0,939
18	1494	417	1551	0,963
19	1490	428	1550	0,961
20	1259	377	1314	0,958
21	1172	392	1236	0,948
22	1028	382	1097	0,937
23	879	361	950	0,925

Fuente: El autor

Base de datos tomada de la EERSSA

k.21 ANEXO 21. CURVA DE CARGA DE DEMANDA MÁXIMA Y FACTOR DE POTENCIA DEL MES DE JUNIO 2012

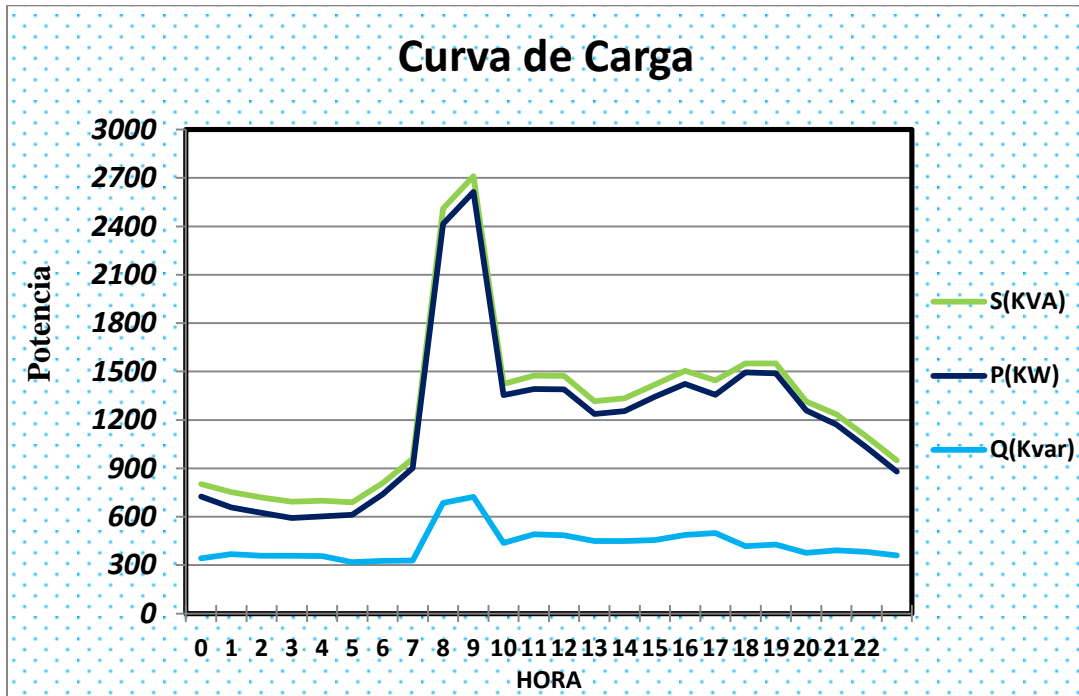


Figura 42. Gráfica de la curva de demanda máxima P, Q, S

Fuente: El autor

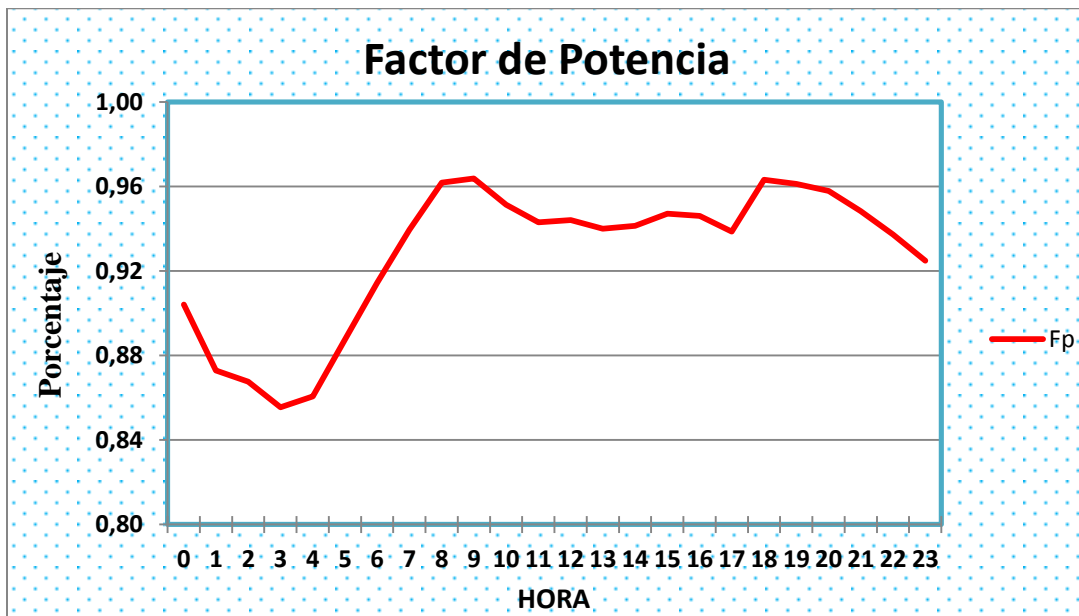


Figura 43. Gráfica del Factor de Potencia.

Fuente: El autor

k.22 ANEXO 22. TABLA DE TRAMOS Y NODOS DEL ALIMENTADOR JUAN DE SALINAS

Tabla 23. Tramos y nodos del alimentador Juan de Salinas

Nodo E	Nodo #	X (m)	Y (m)	KvAFA	KvAFB	KvAFC	KvATot	Calib A	Calib B	Calib C	Calib N	Tipo Tram	KvAdem	KvAdem	KwaRinst	HrsCap	Long
-	0	700.305,836	9.558.647,564	-	-	-	-	-	-	-	-	-			-	24	-
0	1	700.306,238	9.558.647,943	25	-	-	25	AC4/0	AC4/0	AC4/0	AC1/0	Trifásico	9.63	9.28	-	24	99
1	2	700.237,182	9.558.599,207	-	10	-	10	-	AC2	-	AC4	Monofneu	3.85	3.71	-	24	28
1	3	700.107,276	9.558.584,196	-	-	37.5	37.5	AC4/0	AC4/0	AC4/0	AC1/0	Trifásico	14.45	13.92	-	24	146
3	4	699.980,884	9.558.547,375	-	-	-	-	AC4/0	AC4/0	AC4/0	AC1/0	Trifásico	0.00	0.00	-	24	150
4	5	699.958,791	9.558.600,953	-	15	-	15	-	AC2	-	AC4	Monofneu	5.78	5.57	-	24	57
5	6	699.928,457	9.558.670,882	-	15	-	15	-	AC4	-	AC2	Monofneu	5.78	5.57	-	24	75
4	7	699.901,099	9.558.537,26	-	-	37.5	37.5	AC4/0	AC4/0	AC4/0	AC2/0	Trifásico	14.45	13.92	-	24	79
7	8	699.903,393	9.558.484,385	10	10	10	30	XL2/0	XL2/0	XL2/0	CU4	Trifásico	11.56	11.14	-	24	62
7	9	699.814,040	9.558.532,140	25	-	-	25	AC4/0	AC4/0	AC4/0	AC2	Trifásico	9.63	9.28	-	24	83
9	10	699.890,742	9.558.428,378	10	10	10	30	AC3/0	AC3/0	AC3/0	AC1/0	Trifásico	11.56	11.14	-	24	135
10	11	699.911,824	9.558.411,630	-	-	15	15	AC3/0	AC3/0	AC3/0	AC1/0	Trifásico	5.78	5.57	-	24	41
11	12	699.970,368	9.558.362,302	-	-	-	-	AC3/0	AC3/0	AC3/0	AC1/0	Trifásico	0.00	0.00	-	24	38
9	13	699.732,242	9.558.521,264	-	-	-	-	AC4/0	AC4/0	AC4/0	AC1/0	Trifásico	0.00	0.00	-	24	85
13	14	699.715,944	9.558.581,907	-	-	37.5	37.5	AC1/0	AC1/0	AC1/0	AC2/0	Trifásico	14.45	13.92	-	24	63
14	15	699.590,955	9.558.607,413	-	-	15	15	AC4/0	AC4/0	AC4/0	AC2	Trifásico	5.78	5.57	-	24	148
15	16	699.546,187	9.558.601,698	25	25	25	75	AC4/0	AC4/0	AC4/0	AC2	Trifásico	28.89	27.85	-	24	46
16	17	699.454,747	9.558.593,000	-	-	-	-	AC4/0	AC4/0	AC4/0	AC2	Trifásico	0.00	0.00	-	24	93
17	18	699.421,515	9.558.602,756	100	10	10	120	XL2/0	XL2/0	XL2/0	CU4	Trifásico	46.23	44.56	-	24	44
17	19	699.408,921	9.558.587,939	-	-	-	-	AC4/0	AC4/0	AC4/0	AC2	Trifásico	0.00	0.00	-	24	46
19	20	699.427,971	9.558.559,470	100	50	15	165	XL2/0	XL2/0	XL2/0	CU2	Trifásico	63.56	61.26	-	24	49
19	21	699.361,719	9.558.583,283	37.5	37.5	37.5	112.5	AC4/0	AC4/0	AC4/0	AC2	Trifásico	43.34	41.77	-	24	47
13	22	699.696,621	9.558.514,262	-	-	-	-	AC2/0	AC2/0	AC2/0	AC2	Trifásico	0.00	0.00	-	24	150

22	23	699.645,821	9.558.505,372	25	15	10	50	AC2/0	AC2/0	AC2/0	AC2	Trifásico	19.26	18.56	-	24	50
22	24	699.719,057	9.558.449,491	-	-	25	25	-	-	AC2	AC2	Monofneu	9.63	9.28	-	24	69
13	25	699.758,427	9.558.455,206	-	-	50	50	AC2/0	AC2/0	AC2/0	AC2/0	Trifásico	19.26	18.56	-	24	70
25	26	699.782,134	9.558.424,515	-	-	-	-	AC2/0	AC2/0	AC2/0	AC2/0	Trifásico	0.00	0.00	-	24	39
26	27	699.807,534	9.558.398,691	25	50	25	100	XL2/0	XL2/0	XL2/0	XL2/0	Trifásico	38.52	37.13	-	24	27
26	28	699.831,664	9.558.406,311	10	5	5	20	AC2/0	AC2/0	AC2/0	AC2/0	Trifásico	7.70	7.43	-	24	38
28	29	699.831,664	9.558.406,523	25	15	10	50	XL2/0	XL2/0	XL2/0	XL2/0	Trifásico	19.26	18.56	-	24	24
28	30	699.855,583	9.558.353,606	-	15	15	30	AC2/0	AC2/0	AC2/0	AC2/0	Trifásico	11.56	11.14	-	24	65
30	31	699.882,253	9.558.328,629	15	15	15	45	AC2/0	AC2/0	AC2/0	AC2/0	Trifásico	17.33	16.71	-	24	37
31	32	700.034,812	9.558.211,683	-	-	-	-	AC2/0	AC2/0	AC2/0	AC2/0	Trifásico	0.00	0.00	-	24	194
32	33	700.022,958	9.558.229,516	-	-	25	25	-	-	AC2	AC2	Monofneu	9.63	9.28	-	24	33
32	34	700.024,546	9.558.196,496	15	15	-	30	AC2/0	AC2/0	AC2/0	AC2	Trifásico	11.56	11.14	-	24	18
34	35	700.000,575	9.558.174,589	-	-	-	-	AC2	AC2	AC2	ACA	Trifásico	0.00	0.00	-	24	31
35	36	699.960,887	9.558.170,461	10	15	25	50	XL2	XL2	XL2	CU4	Trifásico	19.26	18.56	-	24	52
35	37	699.969,460	9.558.201,576	-	-	25	25	-	-	AC2	ACA	Monofneu	9.63	9.28	-	24	41
37	38	699.824,203	9.558.193,798	-	-	37.5	37.5	-	-	AC2	AC2/0	Monofneu	14.45	13.92	-	24	146
35	39	700.036,449	9.558.109,670	-	37.5	-	37.5	AC2/0	AC2/0	AC2/0	AC2	Trifásico	14.45	13.92	-	24	76
39	40	700.037,706	9.558.091,175	-	-	-	-	AC2/0	AC2/0	AC2/0	AC2	Trifásico	0.00	0.00	-	24	20
40	41	700.043,791	9.558.027,940	-	25	-	25	-	AC2	-	AC4	Monofneu	9.63	9.28	-	24	60
40	42	700.066,281	9.558.093,821	-	-	-	-	-	AC2/0	-	AC2	Monofneu	0.00	0.00	-	24	28
42	43	700.072,895	9.558.066,834	-	10	-	10	-	AC2	-	AC2	Monofneu	3.85	3.71	-	24	28
42	44	700.104,381	9.558.095,938	-	15	-	15	-	AC2	-	AC2	Monofneu	5.78	5.57	-	24	38
40	45	700.021,831	9.558.088,265	15	15	15	45	AC1/0	AC1/0	AC1/0	AC2	Trifásico	17.33	16.71	-	24	18
45	46	699.933,195	9.558.084,825	-	-	-	-	AC1/0	AC1/0	AC1/0	AC2	Trifásico	0.00	0.00	-	24	88
46	47	699.932,137	9.558.100,965	-	25	-	25	AC1/0	AC1/0	AC1/0	AC2	Trifásico	9.63	9.28	-	24	17
47	48	699.922,876	9.558.147,267	-	-	25	25	-	-	XL2	CU2	Monofneu	9.63	9.28	-	24	52
46	49	699.933,195	9.558.084,561	-	-	-	-	AC2	AC2	AC2	AC1/0	Trifásico	0.00	0.00	-	24	22
49	50	699.911,235	9.558.123,190	50	50	50	150	XL2	XL2	XL2	CU2	Trifásico	57.78	55.69	-	24	108
49	51	699.869,695	9.558.080,063	-	-	-	-	AC2	AC2	AC2	AC1/0	Trifásico	0.00	0.00	-	24	41
51	52	699.861,228	9.558.099,377	10	15	25	50	XL2	XL2	XL2	CU2	Trifásico	19.26	18.56	-	24	21

51	53	699.832,389	9.558.076,888	25	25	25	75	AC2	AC2	AC2	AC1/0	Trifásico	28.89	27.85	-	24	38
53	54	699.824,451	9.558.075,830	-	-	-	-	AC2	AC2	AC2	AC1/0	Trifásico	0.00	0.00	-	24	8
54	55	699.823,657	9.558.076,359	15	25	10	50	AC2	-	-	AC1/0	Monofneú	19.26	18.56	-	24	58
55	56	699.820,482	9.558.134,567	25	-	-	25	XL2	-	-	CU2	Monofneú	9.63	9.28	-	24	43
54	57	699.795,082	9.558.074,507	-	-	-	-	AC2	AC2	AC2	AC1/0	Trifásico	0.00	0.00	-	24	29
57	58	699.781,059	9.558.057,573	100	100	100	300	XL2	XL2	XL2	CU1/0	Trifásico	115.57	111.39	-	24	29
57	59	699.764,391	9.558.092,498	25	25	25	75	XL2	XL2	XL2	CU1/0	Trifásico	28.89	27.85	-	24	50
54	60	699.827,891	9.558.054,927	15	25	10	50	AC2	AC2	AC2	AC1/0	Trifásico	19.26	18.56	-	24	50
60	61	699.791,643	9.557.989,575	-	-	-	-	XL3/0	XL3/0	XL3/0	XL1/0	Trifásico	0.00	0.00	-	24	98
61	62	699.791,378	9.558.005,979	50	25	50	125	XL3/0	XL3/0	XL3/0	XL1/0	Trifásico	48.15	46.41	-	24	17
62	63	699.772,857	9.558.021,061	10	25	15	50	XL2	XL2	XL2	XL1/0	Trifásico	19.26	18.56	-	24	32
61	64	699.746,134	9.557.991,692	50	50	50	150	XL3/0	XL3/0	XL3/0	XL1/0	Trifásico	57.78	55.69	-	24	46
46	65	699.942,455	9.557.975,199	37.5	37.5	37.5	112.5	AC2/0	AC2/0	AC2/0	AC1/0	Trifásico	43.34	41.77	-	24	108
65	66	699.942,059	9.557.937,033	-	-	-	-	AC2/0	AC2	AC2	AC1/0	Trifásico	0.00	0.00	-	24	38
66	67	699.922,876	9.557.920,827	37.5	-	-	37.5	XL1/0	-	-	XL2/0	Monofneú	14.45	13.92	-	24	34
66	68	699.947,166	9.557.874,911	-	-	-	-	AC1/0	AC1/0	AC1/0	AC2	Trifásico	0.0	0.00	-	24	62
68	69	700.016,719	9.557.876,896	37.5	-	-	37.5	AC2	AC2	AC2	AC2	Trifásico	14.45	13.92	-	24	28
69	70	700.015,283	9.557.876,852	15	-	-	15	AC2	AC2	AC2	AC2	Trifásico	5.78	5.57	-	24	40
70	71	699.993,058	9.557.931,144	25	25	25	75	XL2	XL2	XL2	CU2	Trifásico	28.89	27.85	-	24	67
70	72	700.054,441	9.557.881,773	15	15	15	45	AC2	AC2	AC2	AC2/0	Trifásico	17.33	16.71	-	24	40
72	73	700.098,097	9.557.885,742	37.5	-	-	37.5	AC2	AC2	AC2	AC2/0	Trifásico	14.45	13.92	-	24	44
73	74	700.132,493	9.557.843,673	25	15	10	50	XL2	XL2	XL2	XL2	Trifásico	19.26	18.56	-	24	73
68	75	699.956,810	9.557.764,033	-	-	-	-	AC1/0	AC1/0	AC1/0	AC1/0	Trifásico	0.00	0.00	-	24	110
75	76	700.006,419	9.557.770,383	-	-	37.5	37.5	-	-	AC2	AC2	Monofneú	14.45	13.92	-	24	50
75	77	699.957,207	9.557.738,236	15	15	15	45	AC1/0	AC1/0	AC1/0	AC2	Trifásico	17.33	16.71	-	24	27
77	78	699.964,350	9.557.657,274	15	-	-	15	AC1/0	AC1/0	AC1/0	AC2	Trifásico	5.78	5.57	-	24	80
78	79	699.963,953	9.557.646,161	-	-	-	-	AC1/0	AC1/0	AC1/0	AC2	Trifásico	0.00	0.00	-	24	12
79	80	699.994,116	9.557.649,733	-	-	-	-	AC1/0	AC1/0	AC1/0	AC2	Trifásico	0.00	0.00	-	24	29
80	81	699.993,322	9.557.610,046	37.5	-	-	37.5	XL2	-	-	CU2	Monofneú	14.45	13.92	-	24	65
80	82	700.033,618	9.557.650,275	10	-	-	10	AC2	AC2	AC2	AC4	Trifásico	3.85	3.71	-	24	39

82	83	700.075,423	9.557.652,260	-	-	25	25	AC2	AC2	AC2	AC4	Trifásico	9.63	9.28	-	24	42
83	84	700.100,426	9.557.670,913	10	10	10	30	XL2	XL2	XL2	CU2	Trifásico	11.56	11.14	-	24	43
83	85	700.164,975	9.557.658,319	-	-	37.5	37.5	-	-	AC2	AC4	Monofneu	14.45	13.92	-	24	89
85	86	700.199,265	9.557.659,377	-	-	37.5	37.5	-	-	AC2	AC4	Monofneu	14.45	13.92	-	24	35
68	87	699.947,951	9.557.874,788	-	-	-	-	AC2	AC2	AC2	AC2/0	Trifásico	0.00	0.00	-	24	49
87	88	699.889,927	9.557.909,594	150	150	150	450	XL2	AC2	XL2	CU2	Trifásico	173.35	167.08	-	24	90
87	89	699.857,415	9.557.869,039	-	-	-	-	AC2	XL2	AC2	AC2/0	Trifásico	0.00	0.00	-	24	39
89	90	699.882,815	9.557.849,354	25	-	-	25	XL1/0	-	-	XL2	Monofneu	9.63	9.28	-	24	32
89	91	699.780,326	9.557.864,128	-	-	-	-	AC2	AC2	AC2	AC2/0	Trifásico	0.00	0.00	-	24	75
91	92	699.783,237	9.557.841,374	25	25	25	75	XL2	XL2	XL2	XL2	Trifásico	28.89	27.85	-	24	22
91	93	699.743,955	9.557.861,985	10	10	10	30	AC2	AC2	AC2	AC2	Trifásico	11.56	11.14	-	24	36
93	94	699.720,756	9.557.915,862	-	-	-	-	XL2	XL2	XL2	XL2	Trifásico	0.00	0.00	-	24	26
94	95	699.729,858	9.557.915,227	25	25	25	75	XL2	XL2	XL2	XL2	Trifásico	28.89	27.85	-	24	8
94	96	699.731,340	9.557.930,890	25	25	25	75	XL2	XL2	XL2	XL2	Trifásico	28.89	27.85	-	24	26
94	97	699.714,618	9.557.915,650	-	-	-	-	XL2	XL2	XL2	XL2	Trifásico	0.00	0.00	-	24	7
97	98	699.707,633	9.557.934,912	15	15	15	45	XL2	XL2	XL2	CU2	Trifásico	17.33	16.71	-	24	21
97	99	699.629,951	9.557.860,405	-	-	-	-	XL2	XL2	XL2	XL2	Trifásico	0.00	0.00	-	24	133
99	100	699.647,943	9.557.906,972	150	150	37.5	337.5	XL2	XL2	XL2	XL2	Trifásico	130.01	125.31	-	24	55
99	101	699.619,368	9.557.877,76	-	-	-	-	XL2	XL2	XL2	XL2	Trifásico	0.00	0.00	-	24	26
101	102	699.599,683	9.557.877,762	10	15	25	50	XL2	XL2	XL2	XL2	Trifásico	19.26	18.56	-	24	20
101	103	699.600,106	9.557.893,848	25	25	25	75	XL2	XL2	XL2	XL2	Trifásico	28.89	27.85	-	24	35
99	104	699.634,396	9.557.797,540	-	-	-	-	XL2	-	-	XL2	Monofneu	0.00	0.00	-	24	62
93	105	699.710,673	9.557.771,539	37.5	37.5	37.5	112.5	XL1/0	XL1/0	XL1/0	XL2	Trifásico	43.34	41.77	-	24	135
79	106	699.866,909	9.557.641,522	37.5	-	-	37.5	AC1/0	AC1/0	AC1/0	AC2	Trifásico	14.45	13.92	-	24	90
106	107	699.786,608	9.557.635,040	37.5	-	-	37.5	AC1/0	AC1/0	AC1/0	AC2	Trifásico	14.45	13.92	-	24	81
107	108	699.750,889	9.557.632,129	50	50	50	150	AC1/0	AC1/0	AC1/0	AC2	Trifásico	57.78	55.69	-	24	36
108	109	699.673,140	9.557.629,235	37.5	37.5	37.5	112.5	AC1/0	AC1/0	AC1/0	AC2	Trifásico	43.34	41.77	-	24	82
109	110	699.695,362	9.557.602,659	10	10	10	30	XL2	XL2	XL2	CU4	Trifásico	11.56	11.14	-	24	54
109	111	699.685,744	9.557.667,392	37.5	37.5	25	100	XL2	XL2	XL2	CU2	Trifásico	38.52	37.13	-	24	112
109	112	699.627,467	9.557.627,228	-	-	-	-	AC1/0	AC1/0	AC1/0	AC2	Trifásico	0.00	0.00	-	24	41

112	113	699.618,502	9.557.672,276	25	-	-	25	XL1/0	-	-	XL2	Monofneú	9.63	9.28	-	24	63
112	114	699.593,314	9.557.601,156	25	25	50	100	AC1/0	AC1/0	AC1/0	AC2	Trifásico	38.52	37.13	-	24	57
112	115	699.657,680	9.557.507	-	-	-	-	XL1/0	XL1/0	XL1/0	XL2	Trifásico	0.00	0.00	-	24	291
115	116	699.677,656	9.557.525,744	100	100	100	300	XL2	XL2	XL2	CU2	Trifásico	115.57	111.39	-	24	23
115	117	699.568,390	9.557.507,948	10	15	25	50	AC1/0	AC1/0	AC1/0	AC1/0	Trifásico	19.26	18.56	-	24	90
117	118	699.522,193	9.557.505,487	-	-	-	-	AC1/0	AC1/0	AC1/0	AC1/0	Trifásico	0.00	0.00	-	24	46
118	119	699.574,085	9.557.546,643	25	25	25	75	XL4	XL4	XL4	CU4	Trifásico	28.89	27.85	-	24	116
118	120	699.486,072	9.557.503,038	25	25	25	75	AC1/0	AC1/0	AC1/0	AC1/0	Trifásico	28.89	27.85	-	24	36
120	121	699.520,203	9.557.517,458	-	-	25	25	-	-	XL1/0	CU2	Monofneú	9.63	9.28	-	24	40
120	122	699.447,443	9.557.501,715	-	-	-	-	AC1/0	AC1/0	AC1/0	AC1/0	Trifásico	0.00	0.00	-	24	39
122	123	699.459,084	9.557.516,929	-	-	25	25	-	-	XL4	CU4	Monofneú	9.63	9.28	-	24	25
122	124	699.436,727	9.557.501,583	-	-	-	-	AC2/0	AC2/0	AC2/0	AC2/0	Trifásico	0.00	0.00	-	24	11
124	125	699.436,330	9.557.513,754	25	25	25	75	AC1/0	AC1/0	AC1/0	AC1/0	Trifásico	9.63	9.28	-	24	28
125	126	699.409,598	9.557.500,666	-	-	-	-	-	-	XL2	CU2	Monofneú	9.63	9.28	-	24	28
124	127	699.391,924	9.557.512,202	-	25	-	25	AC1/0	AC1/0	AC1/0	AC2/0	Trifásico	9.63	9.28	-	24	68
127	128	699.443,254	9.557.434,626	25	50	25	100	XL2	XL2	XL2	CU2	Trifásico	38.52	37.13	-	24	39
127	129	699.445,931	9.557.391,509	-	-	-	25	AC1/0	AC1/0	AC1/0	AC4	Trifásico	0.00	0.00	-	24	43
129	130	699.417,674	9.557.410,718	-	-	-	-	XL2	-	-	CU4	Monofneú	0.00	0.00	-	24	50
129	131	699.447,704	9.557.370,184	37.5	-	-	37.5	AC2/0	AC2/0	AC2/0	AC2	Trifásico	14.45	13.92	-	24	37
131	132	699.454,770	9.557.314,983	25	25	-	50	AC1/0	AC1/0	AC1/0	AC2	Trifásico	19.26	18.56	-	24	41
124	133	699.436,996	9.557.512,889	25	25	25	75	AC1/0	AC1/0	AC1/0	AC2	Trifásico	28.89	27.85	-	24	12
133	134	699.429,799	9.557.595,016	-	-	-	-	AC1/0	AC1/0	AC1/0	AC2	Trifásico	0.00	0.00	-	24	80
134	135	699.496,263	9.557.606,022	25	25	50	100	XL2	XL2	XL2	XL2	Trifásico	38.52	37.13	-	24	121
134	136	699.427,519	9.557.616,523	-	-	-	-	AC1/0	AC1/0	AC1/0	AC2	Trifásico	0.00	0.00	-	24	22
136	137	699.384,392	9.557.589,271	-	-	37.5	37.5	-	-	XL2	CU4	Monofneú	14.45	13.92	-	24	67
136	138	699.423,815	9.557.663,090	50	50	50	150	XL2	XL2	XL2	CU4	Trifásico	57.78	55.69	-	24	91
138	149	699.443,129	9.557.653,300	100	100	100	300	XL2	XL2	XL2	CU2	Trifásico	115.57	111.39	-	24	101
136	140	699.444,452	9.557.648,273	-	-	-	-	AC2/0	AC2/0	AC2/0	AC2/0	Trifásico	0.00	0.00	-	24	27
140	141	699.447,363	9.557.637,954	75	50	75	200	XL4	XL4	XL4	CU2	Trifásico	77.04	74.26	-	24	20
140	142	699.494,723	9.557.641,923	50	50	50	150	XL2	XL2	XL2	CU2	Trifásico	57.78	55.69	-	24	27

Fuente: El autor

k.23 ANEXO 23.

**DIAGRAMA UNIFILAR DE LA SUBESTACIÓN SAN
CAYETANO CIRCUITO JUAN DE SALINAS DE LA
EERSSA**

k.24 ANEXO 24.

ANTEPROYECTO